

МИНИСТЕРСТВО ГЕОЛОГИИ СССР
ВТОРОЕ ГИДРОГЕОЛОГИЧЕСКОЕ УПРАВЛЕНИЕ

ЭКЗ. № _____

ГЕОЛОГИЧЕСКАЯ

КАРТА СССР

масштаба 1:200 000

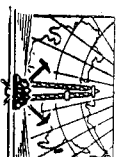
Серия Сихотэ-Алинская

Лист М-54-ХХХII-ХХХIII

Объяснительная записка

Составители: *М. А. Ахметьев, Л. П. Ботырева, И. С. Столицров*
Редактор *Л. Б. Криючкий*

Утверждено Научно-редакционным советом ВСЕГЕИ
20 апреля 1963 г.



ИЗДАТЕЛЬСТВО «НЕДРА»
МОСКВА 1968

ВВЕДЕНИЕ

Описываемая территория расположена на восточных отрогах хр. Сихотэ-Алинь и входит в состав Советского района Хабаровского края. Её координаты $48^{\circ}00'$ с. ш., $139^{\circ}00'$ и $140^{\circ}15'$ в. д., восточная граница района — побережье Тагарского пролива.

Рельеф территории представляет собой систему извилистых, низких, реже средневысотных хребтов и плато, в совокупности составляющих восточные отроги Северного Сихотэ-Алиня. Максимальные абсолютные отметки 1300—1400 м и относительные превышения до 500—600 м приурочены к между-речью Копли—Боготчи (центральная часть района). Высокие водоразделы и отдельные вершины (безымянная высота с отметкой 1408 м, гора Инида 1228 м, гора Сочук 1149 м, гора Кальма 1135 м) носят отчетливо выраженный гористый характер. Водоразделы асимметричны. Склоны, обращенные к крупным долинам, более крутые, покрыты осьями, интенсивно расщеплены. Вершины имеют уплощенную конусовидную форму. Поверхность водоразделов пологово-волнистая. Превышения вершин над седловинами обычно не более 50—150 м.

Рельеф пологий, прилегающей к побережью, низкогорный с максимальными абсолютными отметками 601—987 м и относительными превышениями 200—400 м.

Базальтовое плато занимает незначительную площадь и расположено главным образом в бассейне нижнего течения р. Копли. В между-речье Копли и Бол. Хадя. Поверхность плато слабо наклонена к побережью. Его высота изменяется от 800—1000 м у западной границы района до 20—40 м у пос. Иннокентьевка.

Морской берег характеризуется слабой изрезанностью. От северной рамки пляжного до м. Песчаного берег обрывистый, за исключением бухты Иннокентия и Андрея, где он пологий. Максимальная высота береговых обрывов на этом участке 80 м, обычно же она колеблется от 30 до 50 м. Продвижение вдоль берега затруднено из-за обилия непропусков, а скопления надводных и подводных камней близ берега, развитие волноприбойных ниш, кекуры создают опасность для причаливания к берегу судов и лодок. В южной части района, от м. Ича до бухты Пуна и у. м. Успения высота береговых обрывов снижается до 20—30 м, а местами даже до 5—7 м.

Сразу же от обрывов вглубь террасы простирается ровная поверхность морских террас, переходящая затем в низкогорье.

Низменный берег с пляжем и 1-й морской террасой установлен на трех участках: между м. Песчаным и устьем р. Аку, между м. Успения и м. Ича и к югу от м. Пуна.

В бухте Иннокентия оборудованы два причала для приема рыболовецких судов и почтовых катеров. Суда с мелкой осадкой могут заходить в бухту Андрея и в устье р. Копли.

Речная сеть района густая, пеликом принадлежит бассейну Тагарского пролива. Главные реки являются в северной части района — р. Копли с ее правыми притоками Дякома, Балоли, Топты, Май, Копка, в южной — р. Боготчи с ее левым притоком Муйла. Реки Копли и Боготчи заходят на территорию своим нижним и средним течением. Реки бурные, мелководные,

имеют глубоковрезанные долины. В верховых долины узкие, имеют V-образный пологий и крутой профиль с крутыми ($30\text{--}45^\circ$), часто обрывистыми склонами; днища завалены глыбами скальных городов, среди которых текут бурные водотоки. Ниже по течению долины постепенно расширяются и в устьевых частях достигают несколько сот метров, а у р. Колпи и Ботчи до 4 км. В направлении к устью продольный профиль долин резко выполяживается, течения становятся спокойнее. В долинах наиболее крупных рек развиты пойма и до пяти надпойменных террас. Русла крупных рек разветвляются на несколько проток и рукавов с частыми чередующимися перекатов и плюесов. Средняя глубина большинства рек от 0,3 до 1 м. Лишь самые крупные из них — пр. Колпи и Ботчи — местами имеют глубину до 5 м. Ширина р. Колпи в нижнем течении 200—250 м, Ботчи — 60—100 м. Режим рек тесно связан с количеством атмосферных осадков. Маловодные в засушливые периоды они быстро превращаются после дождей в труднопроходимые потоки. Скорость течения на перекатах достигает 1,5—3 м/сек. В первом наводнении — до 4 м/сек, на плюесах — 1 м/сек.

Климат наводнений. Зима ясная, морозная, ветрена, лето дождливое, туманное. Среднегодовая температура $+0,3^\circ$. Зимой среднемесячная температура колеблется от $-12,4^\circ$ до $-24,5^\circ$ (средняя $-19,4^\circ$), летом максимум — $+35,6^\circ$.

Золотопромышленного общества. Сейчас все перечисленные работы представляют лишь исторический интерес.

После большого перерыва в 1931 г. геологом ДВУ В. А. Буяловым была проведена плашадная геологическая съемка масштаба 1 : 400 000 в полосе, прилегающей к долине р. Копли. В том же году геологом Дальвостреста

Н. В. Оусинниковым изучалось Боготинское месторождение оникса и трепеллов. В послевоенные годы район работ покрывался мелкогранитными геотипическими съемками. С 1947 по 1953 г. Л. Б. Кривицкий, Е. К. Дацко, Ю. Ф. Чемековым и А. А. Головиной были составлены первые геологические карты. Предложенные стратиграфические схемы по упрощению значения и по-тия. В. И. Юко (1956) показали малоподъемные исполнения.

ни в долине р. Копти и по побережью Таганского пролива. В 1952—1953 гг. А. Б. Разжигиным и Е. Т. Михалной впервые для всего района составлены геологическая, геоморфологическая, гидрогеологическая карты и карта полезных ископаемых масштаба 1:200 000. Эти материалы легли в основу издательских работ партии 188. На рудопроявлениях, выявленных при проведении мелкоточечных геологических работ в 1952—1955 гг. Н. А. Плотниковым и Н. К. Крутовым проводились поисково-разведочные работы масштаба 1 : 50 000. В результате их выявлен ряд новых рудопроявлений и указаны перспективные участки для постановки поисковых работ. Расчленением интрузивных комплексов в бассейне р. Копти в 1958 г. занимался Э. П. Июх. Им впервые приводится абсолютный возраст границ

тоб Щиполинского массива — 60 млн. лет.

ском строении района, стратиграфии, тектонике и магматизме имели обобщающие сводки по Сихотэ-Алину Н. А. Беляевского, И. И. Берснева, М. Г. Золотова, Э. П. Изюха, П. Н. Кропоткина, В. Г. Плахоткина, С. А. Саруна, М. А. Фаворской.

Водили геофизические работы. В 1955 г. П. И. Вейман и В. Т. Кудряшов покрыли аэромагнитной и аэрогаммасъемкой масштабом 1:1000 000 всю территорию района и смежные территории. В 1957 г. Л. А. Риволи и М. А. Добин повторили этот же комплекс работ в масштабе 1:200 000. Выявлен характер магнитного поля и пачки пачек магнитных линий, а также положение полигонов

птического поиска в радиусе 10 км от места поиска, приводя к побережью Таганского пролива.

В 1961—1962 гг. на описываемой территории были проведены редакционно-увязочные маршруты с дополнительными поисковыми работами пар-

При 188 Четвертого Геологического Управления в составе М. А. Ахметева, Л. П. Боятевой, И. С. Столырова, Г. С. Коробова и В. Д. Шишкина. В результате этих работ было обнаружено несколько новыхрудопоявлений, получены дополнительные данные, уточняющие возраст некоторых вулканических свит и интузивных массивов, впервые в районе собрана фауна из

СТРАТИГРАФИЯ

Первые сведения о геологическом строении района, были получены на рубеже XIX и XX вв. в результате маршрутных исследований Д. И. Иванова (1894—1896 гг.), Я. С. Эдельштейна (1897—1898 гг.) и В. К. Арсеньева (1907—1910, 1927 гг.). В этот же период (1907—1908 гг.) в бассейне р. Комиши проводились поисковые работы на золота Амурской экспедицией Российской

1 Все метеорологические данные получены на метеорологической станции пос. Иппонкентьев и метеорологической станции Иоли, расположенной у селения рр. Копп и Иоли, в 1 км к западу от западной рамки листа М-54-XXXII (1958—1961 гг.).

сиям перекрываются разнообразными вулканогенными и тuffогенно-осадочными образованиями верхнего мезо и кайнозоя.

Рыхлые образования четвертичного возраста представлены всеми отдельными.

Интузивные породы представлены диоритами, гранодиоритами, гранитами и гранит-порфирями. Они широко развиты в западной части террито-

рии, в восточной же — перекрыты мощным чехлом эфузивных образований миоценом. Среди них выделяются три возрастных комплекса: раннепалеогено-

ый, позднепалеогеновый и неогеновый.

МЕЛОВАЯ СИСТЕМА

Верхний отдел

Сеноманский — туронский ярус

Ларгасинская серия (Cr-Ir)

Отложения ларгасинской серии развиты преимущественно в северо-западной части территории листа, где они обнажаются в ядрах антиклинальных структур северо-восточного простирания. Несколько разрозненных эрозионных выходов, вскрывавшихся из-под покрова эфузивов самарийской свиты, наблюдалась на правобережье долины р. Колпи выше впадения р. Гуйму, в бассейне км. Буница и к югу от долины км. Угарного.

Серия представлена верхней своей частью, в составе которой преобладают алевролиты, содержащие маломощные прослои песчаников и аргиллитов.

В долине р. Колпи ниже устья р. Джауса были изучен наиболее полный разрез этих отложений (снизу):

1. Алевролиты с прослоями мелкозернистых песчаников	200	м
2. Песчаники полимиктовые, мелкозернистые, серые и коричневато-серые, очень крепкие, массивные с прослоями тонкопластиных алевролитов, мощностью 5—10 см	100	"
3. Алевролиты темно-серые с прослоями мелкозернистых, очень крепких песчаников. Мощность около	120—150	"
4. Алевролиты темно-серые, почти черные, мелкоглинистые (толщина плиток до 1 см, реже до 2—3 см) с прослоями серых, сильно окрашенных, тонкозернистых песчаников с караваевидной формой	200—220	"

Суммарная мощность описанного разреза около 620—670 м.

Аналогичный разрез отложений серии наблюдался на правобережье долины р. Колпи выше устья р. Диокмы. Нижние части вскрыты здесь разреза предстают черными окварцованными неслоистыми алевролитами с редкими прослоями тонкозернистых кварцитовидных песчаников. Верхняя часть разреза сложена ритмично чередующимися песчаниками и алевролитами.

На правобережье долины р. Колпи, в 1,5 км ниже устья р. Джауса, обнажаются верхние горизонты серии, представленные сильно трещиноватыми темно-серыми алевролитами с спиритовыми обхваченными колкремациями. В алевролитах была обнаружена фауна аммонитов, определенных В. Н. Вешатиным как *Rizosia* sp. Мощность толщи около 250—300 м.

В долине р. Иоли обнажаются самые верхние призабортные слои, представляющие переходные слои к вышележащей уломинской свите (снизу):

1. Алевролиты темно-серые, почти черные, крепкие, с редкими прослоями мощностью до 1—3 м песчаников серых, мелко- и тонкозернистых, невыдержаных по простиранию 3—3,5 м

2. Алевролиты, часто по простирации и вкrest его сменяющиеся песчаниками мелкозернистыми, серыми, крепкими с угловатыми обломками черных однородных алевролитов диаметром от 0,5 до 2 см 20—30 см

Выше располагаются массивные мелкозернистые песчаники значительной мощности, относимые нами к уломинской свите.

Общая видимая мощность ларгасинской серии 1000 м; к западу от описываемой территории, по данным Н. И. Пагольского (1958), она увеличивается до 1500—1700 м.

Возраст серии в исследованном районе обосновывается только находкой аммонита *Rizosia*, который, по заключению В. Н. Верещагина, часто встречается в отложениях ларгасинской серии, но могут присутствовать и в пределах Верхней части уктурской свиты (ант-альб). Аналогичные образования к западу от описываемой территории Н. Н. Пагольским (1958) также были отнесены к ларгасинской серии сеноман-туронского возраста. Последний сопоставлен с литологически сходными породами басейна р. Куксы, правого притока р. Самара, где А. С. Тилиной и Р. Г. Зайкиной была собрана богатая фауна, характеризующая, по мнению В. Н. Верещагина, отложения ларгасинской серии (Плахотник, Тишина, 1960). На этом основании возраст описанных отложений принимается как верхнемеловой (сеноман-туронский).

Туронский ярус — сеноманский надярус

Уломинская свита (Cr-Ird)

Отложения уломинской свиты пользуются преимущественным развитием среди нормально осадочных пород верхнемелового возраста. Они проявляются от левобережья р. Иоли в бассейне р. Инды и далее, слагая обширную площадь, в Межкурье р. Инды и Колпи протягиваются на правобережье р. Колпи. Сравнительно небольшие выходы отложений свиты известны в бассейне среднего течения р. Диокмы, на водоразделе Буница и Сытыни, на левобережье р. Колпи в районе Камни Тылагу, а также на правобережье р. Ботчи (выше устья р. Митики Кюю).

Свита сложена полимиктовыми песчаниками с подчиненными прослоями алевролитов и аргиллитов.

В левом борту долины р. Иоли обнажаются нижние горизонты свиты, согласно залегающие на отложениях ларгасинской серии. Последовательность отложений в этом разрезе представляется в следующем виде (снизу):

1. Песчаники полимиктовые, мелкозернистые, серые, очень крепкие, окварцованные	10	м
Пропуск 70 м.		
2. Песчаники полимиктовые, мелкозернистые, серые с обломками черных алевролитов диаметром до 0,5 см с прослоями алевролитов, неоднородных по составу, с буристой поверхностью напластования	150	"
3. Алевролиты и тонкозернистые песчаники с тонкими прослоями песчаников полимиктовых, мелкозернистых, полосчатых	50	"
4. Песчаники полимиктовые, мелкозернистые, серые с обломками черных алевролитов и аргиллитов. Песчаники содержат маломощные прослои черных алевролитов	35	"
5. Аргиллиты темно-серые, почти черные, тонко сланцеватые с прослоями песчаников мелкозернистых, серых мощностью до 0,4 м 5—7 "		
6. Песчаники полимиктовые, мелко- и тонкозернистые, серые, часто полосчатые, вверх по разрезу сменяющиеся алевролитами темно-серыми, неслоистыми (с прослойем тонких сланцеватых алевролитов мощностью 0,3 м в середине пачки). Тонкозернистые разности песчаников тонкоплитчатые, толщина плиток до 1—2 мм		

7. Песчаники мелкозернистые, серые неравномернозернистые	10	и
8. Алевролиты темно-серые	15	"
Протулус 100 м.		
9. Песчаники с маломощными прослоями алевролитов	100	"
10. Песчаники мелкозернистые, серые, с тонкоплитчатой отдель-	10	"
ностью		
11. Песчаники мелко- и периметриозернистые, серые, преимущественно кварцевого состава, очень крепкие, содержат два прослоя песчанистых алевролитов и аргиллитов темно-серого и черного цвета, тонкоплитчатых, толщина плиток 0,3—2,0 см, мощность последних от 1 до 1,5 м	7	"

Суммарная мощность разреза около 600—605 м. Сходный разрез нижней части, составленный по обнажениям на левобережье левой составляющей р. Дьякома, начинается снизу:

1. Пачка аргиллитов песчаников тонко-зернистых, алевритистых, алевролитов и песчаников мелкозернистых	около 200—220	м
2. Алевролиты темно-серые	30	"
3. Песчаники средне- и грубо-зернистые, иногда различные, с включениями обломков черных алевролитов	90—100	"
4. Песчаники средне- и разнозернистые, существенно кварцевого состава. Для них характерно обилие растительного дегрита, распространяющегося постепенно, с толщиной отдельных прослоев до 1 см. Ирредка встречаются неопределенные ядра пеледиподов	около 60—70	"

Общая мощность разреза свиты в этом районе 380—420 м. На левобережье р. Колпи на участке ниже устья р. Джуса обнажаются, очевидно, средние и верхние части свиты, в том объеме, в каком она представлена на данной территории. Снизу вверх здесь представлены:

1. Песчаники тонкозернистые, полосчатые	2—5	м
2. Пачка переслаивания тонкозернистых песчаников и алевролитов	10	"

3. Песчаники полимиктовые мелкозернистые, коричневато-серые, ороговикованные с маломощными прослойками алевролитов

около 500 "

4. Песчаники полимиктовые, мелкозернистые, сильно ороговиканные с пропластками гравелистых песчаников. Обломочный материал песчаников представлен хорошо окатанными обломками кварца, полевых шпатов, кремнистых пород размером до 2—3 мм. Присутствуют угловатые обломки темно-серых алевролитов размером до 4—5 м.

Суммарная мощность отложений здесь составляет около 700 м. На этом участке установлена пачка песчаников видимой мощностью 80—100 м, содержащая линзовидные прослои континентальных брекций мощностью 3—5 м. В них М. А. Ахметьевым найдены конкреции известняков с плохо сохранившимися отпечатками пеледипод и кораллов. По заключению В. Н. Верещагина, пеледиподы «несколько напоминают альбаптический ауспелит».

Положение пачки в разрезе неопределено, так как она ограничена с запада и востока разрывными нарушениями. По нашим представлениям, эта пачка застегается в основании разреза отложениями узоминской свиты. Это подтверждается большим количеством обломков алевролитов, очень похожих на алевролиты подстилающей ларгасинской серии.

Общая мощность пород узоминской свиты около 1000—1200 м. Возраст отложений узоминской свиты определяется условно, так как найденные органические остатки оказались неопределенными. Они стратиграфи-

чески согласно ложатся на фаунистически окартизованные отложения лагасинской серии сеноман-туронского возраста и перекрываются туфогенно-эфузивными образованиями ольгинской серии. Кроме того, изученные нами разрезы литологически хороши сопоставляются с нижней частью узоминской свиты бассейна р. Самара, где А. С. Тишиной были собраны отпечатки флоры, по мнению В. А. Бахрамеева, характеризующие отложения верхнего мела (Плахотник, Тишина, 1960).

Датский ярус — сионский надярус

ОЛЬГИНСКАЯ СЕРИЯ (Стр.)

Вулканогенные образования ольгинской серии установлены на двух незначительных по площасти участках в западной части района. По сравнению с разрезом стратотипа в Ольго-Терюхинском Районе разрез в описываемом районе нестабильный, значительно сокращен в мощности и сопоставляется с верхней эфузивной толщей кварцевых порфиров и их туфов.

Из-за плохой обнаженности описание толщи приводится на основании изучения отдельных коренных обнажений и высыпок. Максимальная мощность серий, определенная по разности абсолютных отмечок кровли и подошвы тuffa, составляет около 300 м. На посттилоидных осадочных отложениях они заглатывают с резким несогласием. В конгломератах и туфах размазаны приокластические угловые и галеки непостоянен и изменяется от долей сантиметра до 5—6 см. Галька идеально окатана, несколько уплотненной формы. В ее составе преобладают песчаники араковые и полимиктовые, кремнистые станины и алевролиты. Значительно реже присутствуют обломки интрузивных и эфузивных пелевых пород. Цементирующими масса состоит из слабо раскристаллизованных пелевых обломков и гальки непостоянно и изменяется от 2/3 до 40—60%.

Толща с несогласием перекрывает андезитом самаргинской свиты. На втором участке в юго-западной части района, в бассейне рр. Кукиша и Партизанский Ключ, состав толши иной. Здесь преобладают туфоловые кварцевых порфиров и кварцевые порфириты. По внешнему облику это очень крепкие сливные породы серого и зеленовато-серого цвета, состоящие из вкрашенников кварца, кислого плагиоклаза и калиевого полевого шпата, сцепментированных кварц-полевошпатовой основной массой микрофельзитовой или микронойкойлитовой структуры с примесью пелевых частичек. Количество вкрашенников 5—20%. Кварц в фенокристалах имеет оплавленную форму, иногда со следами коррозии, размер зерен до 2—3 мм. Плагиоклаз таблитчатой формы, сернистизированный, в плагиопорфиритах — эпилитизированный. Возраст образований ольгинской серии в пределах района не установлен. Однако в различных губках Южного и Северного Сихотэ-Алиня по сбросам некапаемой флоры возраст серии датируется как сенонский надярус — датский ярус.

ПАЛЕОГЕНЕВАЯ СИСТЕМА

Палеоцен (3)

САМАРГИНСКАЯ СВИТА (Ре, ? sm)

Образования самаргинской свиты установлены в бассейне среднего течения р. Колпи, в верховых р. Дьякомы и в бассейне р. Богчи и ее крупных притоков — Мульть, Ясы, Монсев км. Небольшие по площасти поля для плавания иинской свиты отмечены на левобережье р. Колпи, на участке владения в нее рр. Джуса и Дьякома, а также ниже впадения р. Иоли.

Свита сложена андезитами, андезито-дацитами и дацитами. В подчиненном количестве присутствуют лавобрекчи и туфы.

Образование самаргинской свиты с реки утюгом несогласием залегают на осадочных породах верхнемелового возраста, образуя пологие бахи-складки с углами падения на крыльях 10—15°, местами до 25°.

Большим разнообразием эфузивных и пирокластических продуктов характеризуется разрез свиты на левобережье долины р. Копы, у слияния ее с р. Иоли. В видимой части разреза наблюдаются (справу):

1. Андезиты зеленовато-серые,

тёмные,

афировые,

слегка

брекчиированные.

2. Туфы светло-серые, пепловые, реже пясчаниковые, кри-

сталлокластические.

3. Андезиты зеленые с фенокристаллами плагиоклазов раз-

мером до 5—6 м., содержание последних 25—40%.

4. Туфы светло-серые, псефитовые, литокристаллокласти-

ческие

5. Лавобрекчи, состоящие из обломков светлых фельзит-

видных пород и полевых шпатов размером от 1 м. до 15 см.

Поверхности брекчий выветрелы и окисленны. Содержание брек-

ций от 15 до 40% всей массы породы.

6. Андезиты с фенокристаллами плагиоклазов и роговой

обманки, сильно эпидотизированные. Эпидотизалии подверглись

только плагиоклазы.

7. Андезито-дациты чёрные, очень крепкие с многочислен-

ными

лавой

8. Лавобрекчи дацитов светло-серого цвета, спементирован-

9. Андезиты эпидотизированные, аналогичные сл. № 5 .

10. Лавобрекчи, аналогичные сл. № 7 .

11. Дациты светло-серые с фенокристаллами полевых шпатов

призматической и таблитчатой формами с флюидальной текстурой

основной массы

до 20 „

Далее к востоку вверх по долине р. Иоли наблюдается постепенное уменьшение мощности эфузивов и полное исчезновение из разреза туфовых разностей.

В бассейне кл. Иэнаку и к западу от кл. Бэйнига образование самаргинской свиты слагают широкую полосу северо-западного простирания, простирающуюся далее к юго-востоку в бассейне р. Гуйму. На лавобрекчиях оливинской серии несогласно залягают андезиты зеленовато-серые, сильно эпидотизированные с порфировыми выделениями плагиоклазов и роговой обманки. Выше наблюдаются светло-серые со слабым зеленоватым оттенком андезито-дациты с порфировыми выделениями плагиоклазов. В верхней части разреза преобладают те же зеленовато-серые андезиты с фенокристаллами плагиоклазов. Эфузивные образования рассечены множеством дакк различной мощности кварцево-полевшпатового и андезитового состава, представляющими собой корин более мозговых покровов самаргинской свиты. Мощность разреза, вычисляемая по разности высотных отметок подошвы и кровли, 500—600 м.

На участке правого склона долины р. Копы между устьями рр. Гуйму и Бэйнига и далее в бассейне р. Гуйму в разрезе свиты снова существенную роль начинают играть туфы и туфоловы андезитов. Нижний kontakt свиты здесь не обнажен. Разрез начинается толщей сильно окремненных туфов дацитов серого и коричневато-серого цвета, выше сменяющихся дацитами, содержащими маломощные прослои выше туфов. Выше залегают серые плагиоклазовые андезиты с прослоями туфолов андезитов мощностью около 250—300 м. Венчается разрез горизонтом флюидальных светло-серых дацитов мощностью до 20 м. Суммарная видимая мощность описанного разреза около 450—500 м.

В бассейне р. Кукша, в верховых к. Угарного, в долине руч. Ясы — левого притока р. Ботчи и в правобережье р. Мульта свита сложена преимущественно зеленовато-серыми андезитами афирового и реже порфирового сложения. Максимальная мощность покровов самаргинской свиты в этих районах достигает 600 м.

Наиболее распространены среди образований свиты андезиты. Макроскопический, это преимущественно зеленые, зеленовато-серые, иногда с лиловым или спретевым оттенком породы порфирового, реже афирового сложения. В порфировых разностях в зависимости от характера вкрашиваний различаются андезиты: плагиоклазовые, проксековые, плагиоклазово-проксековые и плагиоклазово-роговообманковые. Количество вкрашиваний от 10 до 30%, реже до 40%. Размер их до 4—6 ми.

Плагиоклаз присутствует в виде удлиненно-призматических и таблитчатых кристаллов, по составу соответствующих андезиту № 40—48. По плагиоклазу интенсивно развиты серцит, эпилот, иногда карбонат. В отдельных разностях плагиоклазовые вкрашивания замещены псевдоморфозами эпилата, клинопиоксита и серпинита.

Редкие порфировые выделения роговой обманки, как правило, повсеместно замещены хлоритом и биотитом. Основная масса сложена призматическими и лейстовидными кристаллами плагиоклаза, состоящими до 50—70% объема основной массы, роговой обманкой, хлоритом, серпинитом, эпилотом и рудным минералом, содержащим которого нередко достигает 10% объема основной массы. Редко присутствует ксеноморфный кварц. Структура основной массы андезитовая, иногда пилотакстическая, микролитовая, реже пилопилитовая.

Некоторые разности андезитов заметно соскюритизированы и серпинитизированы.

Андезито-дациты близки к андезитам, отличаются от последних более кислым составом плагиоклаза (андезин—олигоклаз, олигоклаз № 20—38). Дациты светло-зеленые и светло-серые породы порфирового сложения с микропефелизитовой или мелкозернистой основной массой. Вкрашиваниями вкраплениники составляют 15—30% всей массы породы. Они представляют плагиоклазом № 20—25, имеют таблитчатую форму. По периферии зерен, как правило, наблюдаются новообразования альбита в агрегате с пылевидными включениями рудного минерала. В отдельных случаях альбитизацией и пелитизацией обуславливается сеччатую структуру зерен. Иногда в зернах плагиоклаза наблюдаются новообразования кварца.

Редкие вкрашивания роговой обманки часто замещены агрегатом мелких птических зерен вторичной роговой обманки. В ассоциации с роговой обманкой наблюдаются, как правило, птеравильные зерна рудного минерала. Основная масса сложена агрегатом мелких птеравильной формы кристаллов пилотакстического плагиоклаза и кварца. Ва пилотакстом количестве присутствуют эпилот, роговая обманка, апатит, рудный минерал.

Туфы андезитов и дацитов содержат обломки тонкозернистых сильногометаморфизованных пород, преимущественно кварцевого состава с гранобластовой и сланцевато-слоистой текстурой, фельзитов с радиально-лучистой структурой, песчаники, полевые шпаты, кварцы. Размеры обломков от 0,1 м. до 2,5 м. Содержание кристаллического материала 30—40%.

Структура туфов по составу обломков литокристаллическая, по размеру — сильногоморфная, реже пилитовая.

Суммарная мощность свиты по изученным разрезам, а также вычисленная по разности высотных отметок кровли составляет около 600 м. По данным В. Г. Плахотника, она равна 500 м, а В. А. Ярмолова — до 600 м.

По данным спектральных анализов пород самаргинской свиты установлено, что в них присутствует только в сильно измененных разностях пород.

Возраст образований самаринской свиты условно определяется как палеоцено-восток, что они залягают на кислых эфузивах ольгинской серии, возраст которой принимается как сенон-датский, и покрываются андезито-базальтами кузнецковской свиты зеленового возраста.

ТОЛЩА КВАРЦЕВЫХ ПОРФИРОВ, ФЕЛДЗИТОВ, ДАИТОВ, ЛИПАРИТОВ И ДР.

ТУФОВ (Рг.?)

Толща кислых эфузивов, залягающих стратиграфический выше образованияй самаринской свиты, занимает на территории листа значительные площади. Наиболее распространены образования этой толщи в Междуречье Р. Диакомы и левых притоков р. Ботчи (кл. Партизанский, р. Кукша и др.), где туфы кварцевых порфиров согласно залягают на дашах в верхних горизонтах самаринской свиты. В северной и северо-западной частях территории листа они образуют небольшие по площади покровы и купола окружных и эллиптических овэртанн, несогласно залягающие на всех более древних образованиях. К востоку от долины р. Ясы (левый приток р. Ботчи) толща кислых эфузивов перекрывается туфогенно-осадочными образованиями кузнецковской свиты.

Детальное изучение толщи показало, что основную роль в ее составе играют кварцевые порфирры, характеризующиеся большим сходством видового облика и петрографического состава на больших территориях.

В подчиненном количестве по отношению к кварцевым порфирам содержатся фельзиты, липариты, их туфы и туфловавы, а также туфы и туфловавы кварцевых порфиров.

В междуречье Ботчи и Диакомы толща сложена преимущественно покровными образованиями кварцевых порфиров, фельзитов и липаритов и в меньшей степени — туфловавами и туфами, залягающими исключительно по абсолютным отметкам полюсов и кровли, около 400 м.

В бассейне р. Диакома в основании разреза залягают туфловавы и туфы брекчии кварцевых порфиров и дацитов, содержащие включения обломков подстилающих андезитов самаринской свиты. Выше они смешаются пачкой переслаивающихся туфов, туфловав и лав кварцевых порфиров. В верхней части разреза залягают кварцевые порфирры, среди которых встречаются туфловавы. Мощность разреза около 250—300 м.

На правобережье р. Ботчи разрез толщи начинается зеленовато-серыми гестроокрашенными туфловавами кварцевых порфиров с обломками крупных кристаллов кварца и полевых шпатов. Выше они смешаются флюидальными язвами светло-серыми кварцевыми порфиррами. Мощность разреза около 100 м. Кварцевые порфирры перекрываются лиловато-серыми андезитами кузнецковской свиты.

Кварцевые порфиры — тонкозернистые серые и зеленовато-серые с порфиритами выделениями размером до 2—3 мм албит-олигоклаза, калиевого полевого шпата и кварца. Плагиоклаз вкрапленники соссоритизирован, карбонатизирован и альбитизирован. Основная масса состоит из албита, калиевого полевого шпата, кварца и чешуйек зеленовато-бурового вторичного биотита. В породе также присутствуют зерна магнетита. Структура основной массы микрогранитовая и фельзитовая.

Туфы кварцевых порфиров состоят из обломков лав кварцевых порфиров, андезитов, дацитов, обломков песчаников, кремнистых ороговикованных пород кварцево-полевошпатового состава, кварца и полевых шпатов. Размеры обломков от 0,1 до 5 мм. Цементирующая масса сложена тонкими обломками стекла, кварца, полевых шпатов, чешуйками сернита и хлорита с прописью полевого материала и рудных минералов.

Туфоловавы кварцевых порфиров отличаются от описанных выше туфов характером цементирующей массы. Это, как правило, вулканическое стекло с флюидальной текстурой, содержащее примесь полевого материала. Классический материал аналогичен туфам. Местами стекло слабо раскристаллизовано с образованием микрокристаллической структуры.

Мощность толщи кварцевых порфиров, фельзитов и их туфов около 400—600 м.

Большинство исследователей толщу кислых эфузивов относят к палеоцен-эоцену, поскольку породы свиты залягают между андезитами палеоценена и андезито-базальтами зоны. В. Г. Плахотник (1960), Е. В. Быковская (1960) склонны считать эти отложения палеоценовыми.

Эоцен

КУЗНЕЦОВСКАЯ СВИТА (Рг.?)

Высокогенные образования кузнецковской свиты распространены на неизменительной площади в нижнем течении р. Ботчи. Они лежат несогласно на всех более древних толщах, а также на размытой поверхности раннепалеогенных интрузий и перекрываются вулканогенным и вулканическим образованиями Кучинской, Кизинской и соваванская свит. Детальное изучение разрезов в долине р. Ботчи показало, что петрографический состав их по сравнению с разрезами стратиграфии значительно более стабилен и разнообразен и объясняет породы как среднего и основного, так и кислого состава. Чередование этих пород в разрезе дает основание рассматривать их в составе одной свиты. При этом в основании и нижней части разреза преобладают разности кислого состава, в верхней части — андезиты, андезито-базальты и их туфы. Ее суммарная максимальная мощность достигает 400 м.

Опорный разрез образований свиты установлен на левобережье р. Ботчи, в 5 км выше впадения в нее р. Мулана. Здесь обнажаются (справа):

1. Туфы кварцевых порфиров псевофитовые светло-серые и белые, видимой мощности.

Взаимоотношения с подстилающими образованиями толщи эфузивов кислых и самаринской свиты в разрезе наблюдать не удается.

Однако к югу, на правобережье р. Ботчи, базальные горизонты кузнецковской свиты, представленные аналогичными светлоокрашенными туфами кварцевых порфиров, залягают несогласно на более древних вулканогенных толщах.

2. Туфы кварцевых порфиров кристаллокластические, светло-серые, видимой мощности.

3. Туфы плитчатые, зеленовато-серые с обломками раннепалеогенных биотитовых гранитов и диоритов, андезитов, фельзитов

Такой состав обломочного материала, и особенно присутствие обломков рапицапогенных интрузивных пород, подчеркивает правильность их отнесения к кузнецковской свите.

4. Туфы кристаллокластические, тонкоглоссовые, состоящие из мелких кластических обломков кварца, полевых шпатов, биотита

5. Туфы кристаллокластические, рыхлые, тонкоглоссовые, состоящие из мелких обломков кварца, красновато-серые

Суммарная мощность нижней половины разреза существенно кислого

состава 215 м.

Выше согласно и без следов перевода залягают:

6. Андезитовые туфы, ликткластические светло-серого цвета, состоящие из мелких обломков (до 1 см) хортицированных андезитов

7. Андезитовые туфы псевофитовые, грязно-зеленого цвета с постепенно переходом в агломераты

8. Выше отмечается невыдержанное по простиранию линзы

кислых туфов среди просторов андезитовых туфов, аналогичных

простору

шебечи с образованием микрокристаллической структуры.

9. Туфы андезитов серовато-лиловые, пелитовые 1,0 м

10. Андезитовые туфы псаммитовые серовато-зеленые 1,0 "

11. Туфы разнообломочные зеленые, цементированные пелито- вым материалом 10 "

12. Туфы кварцевых порфиров светло-серого цвета 0,5 "

13. Туфы псаммитовые лилово-серые 10—12 "

14. Андезиты лилово-серые афиевые 0,5 "

15. Переслаивающиеся пелитовые, псаммитовые и псевдо- туфы 2 "

16. Агломераты, состоящие из обломков андезитов 3 "

17. Переслаивающиеся псаммитовые и пелитовые лилово- серые туфы 1,5 "

18. Агломераты, состоящие из обломков андезитов 0,6 "

19. Андезитовые туфы, псаммитовые, лилово-серые 1,5 "

20. Агломераты, состоящие из обломков андезитов 0,8 "

21. Андезиты плагиоглаазовые, аналозиты (14) 10 "

22. Туфы разнообломочные с обломками андезитов 3 "

23. Переслаивающиеся андезитовые туфы и агломераты 10 "

24. Андезито-базальты, серые афиевые 11 "

25. Пестроокрашенные андезитовые туфы, псаммитовые псефитовые 25—30 "

26. Туфы кварцевых порфиров 10 "

Суммарная мощность верхней половины разреза 100—110 м.

Верхняя часть этого разреза А. Б. Разинкиным и Е. Т. Михалиной включалась в состав кузнецкой свиты, низы же его параллелизовались с толщей кислых эфузивов болотской свиты. На согласное залегание их в разрезе прежде не обращалось внимания.

Химический анализ туфов из нижней части описанного выше разреза приведен в табл. 2. Он близок к среднему химическому составу липаритов по Дэни.

Состав пород и их чередование в разрезе характеризуют типичный разрез стратовулкана центрального типа.

В бассейне р. Богти вулканические продукты кислого состава развиты локально и фиксируют положение древних вулканических центров, тогда как андезиты, андезито-базальты и приокластические продукты среднего и основного состава распространены на значительной толщине. Ими сложено межгорье Богти и Степанова Клона, широко развиты они и в право-

берегье р. Богти.

Самая верхняя часть разреза кузнецкой свиты описана на правой склоне долины р. Милькин Клоц в 1 км от его устья. Здесь на кварцевых порфирах толщи кислых эфузивов снизу вверх залегают:

1. Андезиты, лилово-серые, крупнопорфировые 14 м

2. Туфы андезитов псаммитовые зелено-серые 8 "

3. Туфы андезитов псаммитовые, тонкоплитчатые, рыхлые, лиловые 0,5 "

4. Туфоловы андезиты серые с шаровой отдельностью 1,2 "

5. Туфы андезитов псаммитовые зелено-серые 0,4 "

6. Туфы андезитов псаммитовые лиловые 0,9 "

7. Андезиты афиевые, тонкоплитчатые 7 "

Мощность образования кузнецкой свиты 250—400 м.

Эоценовый возраст вулканогенных образований кузнецкой свиты установлен в ряде пунктов на побережье Татарского пролива, в районе субтунисман, м. Сюркум, м. Накатова и бассейне р. Самара, к югу от озера Сынгаково (Плахотник, Дулькис, 1957; Плахотник, Тишина, Альметьев, 1960).

На территории района данных, противоречящих такому определению, не получено.

ПАЛЕОГЕНОВАЯ — НЕОГЕНОВАЯ СИСТЕМЫ НЕРАСЧЛЕНЕННЫЕ

Олигоцен — миоцен

КХУДИНСКАЯ СВИТА (Р_g — N_{kt})

Вулканогенные и вулканогенно-осадочные образования кхудинской свиты распространены на ограниченных по площади участках в бассейне р. Богти и в Верховьях руч. Степанова Речка, владающей в Татарский пролив близ южной рамки листа.

В составе свиты принимают участие липариты, фельзиты, туфоловы кислого состава, туфы, туфопесчаники, туфоарагилиты. Такой не斯特рый состав обусловлен различными фаунистическими условиями осадконакопления даже в пределах ограниченного по площади современного поля развития этих пород.

Можно выделить два типа разреза, представляющие собой крайние члены фациального ряда. Одновозрастность и притягательность их к одной и той же свите доказывается положением описываемых пород в общем стратиграфическом разрезе района. Они всюду залегают на андезитах Кузнецовой свиты и перекрыты породами плитчатых андезитов кизильской свиты. Первые в самостоятельный толще эти породы были выделены Л. Б. Кри- вицким и Е. К. Дацко в 1947 г.

Первый тип разреза представлен толщей переслаивающихся фельзитов, липаритов и в меньшей степени — пестроокрашенных туфолов и туфов. Эти породы обнажаются в эрозионных окнах из-под покровов плитчатых андезито-базальтов кизильской свиты в Верховьях руч. Степанова Речка. На подстигающие андезиты кузнецкой свиты они налагаются без видимого несогласия. Приокластические различия приурочены к низам разреза. Мощность отдельных эфузивных покровов колеблется от 2—3 до 8—10 м. Суммарная мощность разреза 120 м.

Липариты и фельзиты характеризуются четко выраженной флюидальной текстурой и сферолитовой или фельзитовой структурой основной массы свежего облика почти без вторичных изменений.

Во вкраепленниках присутствуют кварц, олигоклаз или андезин № 25—35, сандин (в липаритах) и биотит размером до 0,5 см. Вкраепленники обычно составляют не более 25—30% от объема породы. Разности, обогащенные приокластическим материалом, напоминают туфоловы, часто инимбритового облика и содержат обломки вулканического стекла, обломки зерен кварца и полевых шпатов.

Второй тип разреза установлен на левобережье р. Богти, в 3 км выше ее слияния с р. Мулькой. Эфузивные разности, столь характерные для первоначальных пород общей мощностью около 200 м.

1. В нижней части разреза преобладают туфопесчаники, туфо-агролиты, разнообломочные туфы и редкие простой опоки. Они чередуются между собой. Мощность отдельных прослоев колеблется от нескольких сантиметров до 2—3 м.

2. Выше они сменяются монотонной пачкой туфопесчаников, грязно-зеленого цвета с обуглившимися растительными остатками и зелеными спиральными включениями.

3. Выше по разрезу туфопесчаники сменяются пачкой опок, полюстматов, фарфоровых. Простой туфов и туфопесчаников играют подчиненную роль и, как правило, очень маломощны (обычно 1—3 см). Опоки преобладают и в верхней части видимого разреза.

Отложение осадков описываемого разреза происходило в небольшом по площади, но глубоком озере, одновременно с вулканическими извержениями на соседних участках, поставляющих тонкие приокластические продукты кислого состава, служившие исходным материалом для образования опок. (возможно, их лучше называть опоковидными туфами) состоит

из аморфного кремнезема с незначительной примесью глинистого вещества. Нередко отмечаются обломочные включения эфузивных пород, главным образом фельзитов и липаритов с витрофировой структурой. Раностия, состоящие из мельчайших шариков опала с незначительной примесью глинистого вещества, по нашему мнению, лучше называть трепелами. Результаты химического анализа опок и трепелов приведены в разделе «Побелевые ископаемые».

По данным спектральных анализов образцов, отобранных из разреза туфогенно-осадочной толщи, в них присутствует $Mn = 0,1\%$, $Ti = 0,1 - 1\%$, $V = 0,001 - 0,1\%$, $Cr = 0,01\%$, Pb , Cu , Zn , Mo — около $0,001\%$.

Мощность клюдинской свиты $100 - 250$ м.

Верхнеолигоценовый возраст образований клюдинской свиты можно считать достоверным по определениям сибирских пыльцы, а также растительных отпечатков опилкой сохранности, отобранных из прослоев опок, главным образом из верхней половины разреза.

По сборам Л. С. Эдельштейна, Л. Б. Кривикого, Е. К. Даюко, Н. В. Овсянникова, Э. К. Дулькис, М. А. Ахметьевы и Л. П. Ботылевой палеоботаниками И. В. Палибиным, С. М. Ткаличем, М. И. Борсуком и Р. З. Генкиной установлены следующие ископаемые формы: *Tsuga schmidtiana* Ralb., *Firius* sp., *Sequoia Langsdorffii* (В. Г. П. Н.) Нег (много экз.), *Thuites ehrenswardii* Нег, *Metasequoia disticha* (Нег), *Wikia Glyptostrobus* sp., *Abronia* sp. ex gr. *Abronia brori* (Ung.), *Laurus* (4 экз.), *Phragmites* sp., *Populus laetor* A. Br., *Populus balsamoides* Goepp., *Salix varians* Goepp. cl., *Myrica banksiaefolia* Ung., *Anthus kerfersteini* Goepp. (много экземпляров), *Betula prisca* Ett. (много), *B. bronniarii* Ett. (много), *B. elliptica* Salg. (много), *B. sachalinensis* Нег, *Corylus macquarrii* (Forb.) Нег, *Carpinus grandis* (Ung.) Нег, *Fagus Antipovii* Нег, *Pterosarya castanajolia* (Goepp.) Menz., *Ulmus carpatica* Goepp., *U. braunii* Нег, *U. plurinervia* Ung., *U. speciosa* Nels. w. *Juglans acuminata* A. Br., *Vitis crenata* Нег, *Acer* sp., *Tilia* sp. cf. *Tilia sachalinensis* Нег, *Crataegus* sp., *Sorbus elliptica* Нег, *Zelkova Ungeri* K. V., *Sophora edelsteinii* Ralb.

По количеству видов своего рода сравнимый этажом для ископаемых кайнозойских флор Сихотэ-Алдии. Он хорошо сопоставляется с другими комплексами, переходными по возрасту от олигоцена к миоцену. (Верхнебикинский район, определения М. М. Кошмана, 1960, Южное Приморье (наследники свиты) — А. Н. Криштофорович и М. И. Борсук).

Совместно с растительными остатками М. А. Ахметьевым, Л. П. Ботылевой, В. Д. Овчинниковым и А. И. Раснильским (ПИН) АН СССР впервые найдены отпечатки kostистых рыб из семейства карловых, листоногих раков различных насекомых: жуков, тараканов, пецинов, двукрылых, сетчатокрылых, ручейников (определения рыб И. Г. Панильчико, жуков — А. П. Полова, ПИН, листоногих раков — А. И. Новожилова (ПИН), остальных групп насекомых — А. И. Раснильским (ПИН)). В двух образцах турборигидиллов, отобранных из средней и верхней части разреза, обнаружены в большом количестве пыльца и споры (8 видов спор и 70 видов пыльцы) хорошей сохранности (определения П. Н. Соколовой).

В комплексе спор преобладают теплолюбивые элементы (*Meristolepis*, *Lygodium*, *Marsilea*), *Osmunda*, *Salvinia*, *Gleichenia*. В пыльцевом комплексе преобладают (51—67%) голосемянцы, среди которых богато представлено сем. Ринссе. Встречено два вида экзотических Ринссе, два вида *Cedrus*, пять видов пыльцы *Tsuga*, в том числе *Tsuga* cf. *diversifolia*, *Tsuga* cf. *japonica* в большом количестве встречена пыльца экзотического вида *Ricea* очень крупных размеров с мелкой сеткой на воздушных мешках¹.

¹ Подобная пыльца Ricea описана М. А. Седовой из олигоценовых отложений Ю. Приморья (Баковская, 1960 г.).

Характерна пыльца *Abies* и *Keteleeria*. Семейство Podocarpaceae представлено трещиновидными пыльцами *Podocarpus*, в том числе *Podocarpus* cf. *Nageia*. Пыльцы сем. Taxodiaceae и *Cupressaceae* мало. Единично отмечены *Taxodium*, *Glyptostrobus*, *Sequoia*, *Ginkgo*, *Sciadopites*, *Torreya*, из покрытосемянных преобладают сережкоцветные (*Alnus*, *Betula*, *Corylus*, *Ostrea*, *Myrica*), в меньшем количестве присутствуют ореховые (*Juglans*, *Carica*, *Engelhardtia*, *Platycarya*) и тутовые (*Moraceae*, *Urticaceae*), в единичных знаках отмечена пыльца *Quercus*, *Fagus*, *Acer*, *Tilia*.

По мнению П. Н. Соколовой, данный спорово-пыльцевой комплекс позволяет отнести вмещающую его толщу к верхам олигоцена, поскольку он сходен со спорово-пыльцевыми комплексами верхних горизонтов налеклинской свиты в Южном Приморье. Однако он не противоречит и нижнемиоценовому возрасту, так как комплекс пыльцы с большим количеством экзотичных форм пыльцы *Ricea* с побольшой долей пыльцы *Podocarpus* приурочен к верхним горизонтам чернореченской свиты района г. Хабаровска и датируется в этом районе нижним миоценом.

Определая возраст свиты в изученном районе как верхнеолигоценовый — нижнемиоценовый, мы считаем его убедительно доказанным.

НЕОГЕНОВАЯ СИСТЕМА

Миоцен

КИЗИНСКАЯ СВИТА (Nks)

Основные эфузивы и туфы кизинской свиты, слагающие пологую волю побережья Татарского пролива шириной 25—30 км, с несогласием ложатся на все более давние образования и в свою очередь перекрывают базальтами совгавской свиты, а также глиноzemистыми и четвертичными агломератами отложениями. По вещественному составу свита четко подразделяется на две части. В составе нижней части преобладают пирокластические разности: агломераты, туфобрекчи, туфы, туфогенно-осадочные породы с подобласти андезитами и базальтами.

Разрез эфузивной толщи относительно выдержан в пределах листа. Следует лишь указать на некоторое сокращение мощности верхней части свиты в направлении с запада на восток, при увеличении мощности нижней части в этом направлении.

Самые низкие разрезы кизинской свиты, по данным Е. Т. Михалиной и А. Б. Разживина, наиболее полно представлены на побережье Татарского пролива, к северу от пос. Иниокентьевский.

В разрезе на этом участке снизу вверх обнажаются:

1. Андезиты афиевые
2. Туфобрекчи красновато-бурые с обломками андезитов. В составе цемента — пепловый материал, состоящий из оксидчатых мелких обломков хлоритизированного стекла 10 м
3. Туфы серовато-желтые, стоящие с чередованием в разрезе грубозернистых и тонкозернистых разностей 20 "
4. Андезиты сиреневато-серые 25 "
5. Суммарная мощность 95 м.

Разрез на побережье к югу от пос. Иниокентьевский и м. Успенья в основных чертах повторяет описанный выше. Максимальная мощность нижней части свиты около 200 м.

В долине р. Колы, в 4 км выше устья р. Тонты, среди базальтов, залегающих в основании кизинской свиты, обнаружается мицодидовая пачка туфогенно-осадочных пород, видимой мощностью около 15 м. Сланцы вверх над уровнем воды обнажаются.

1. Глины зеленовато-серые, вилчайкой мощностью 0,8 м¹

2. Туффиты светло-коричневые, содержащие растительные ос- 0,2 "

татки 0,15 "

3. Лигниты тонкостоистые 0,2 "

4. Глины пластичные пестроокрашенные 0,2 "

5. Глины спиреевые с линзами лигнитов мощностью до 5 см, за- 0,2 "

легающих в основании прослоя 0,2 "

Выше глины перекрываются пачкой представления сливных и пористых 0,2 "

черных базальтов.

Наиболее полный разрез верхних горизонтов свиты изучен близ северной

рамки листа, в левобережье р. Сакуу (снизу вверх):

1. Базальты мелкопористые кирпично-красные 5 м

2. Над ними залегают (судя по обилию круглого щебня на склоне) пачка переслаивающихся черных и темно-серых сливных базальтов 40 "

3. Магнелиштейни стально-серые 20 "

4. Базальты пористые, красновато-серые с порами, выполненные гидроокислами железа 15 "

5. Андезито-базальты и андезиты серые, афировые и мелкогипофри- вые, выше смешивающиеся пористыми андезито-базальтами 25 "

6. Базальты крупнопористые, коричневато-серые 65 "

7. Стекляющиеся агматометры, состоящие из мелких веретенообразных обломков стально-серых базальтов размером 3—4 см 30 "

8. Долериты черные 10 "

Суммарная мощность пород в разрезе 210 м. Ее можно граниить макси- мальной для верхней половины разреза кизинской свиты.

К югу от долины р. Копти верхние горизонты кизинской свиты представ- лены светло-серыми плиниатами андезитами, андезито-базальтами и андези- то-андезитами мощностью около 200 м.

Базальты разнообразны по внешнему облику и структурно-текстурным особенностям. Среди них отмечаются как оливин-пироксеновые, так и пиро-кислотные (чаще агматовые) разности. Часто оливковые разности хорошо раскристаллизованы и близки к долеритам. Плагиоклаз вкрашенников пред- ставлен лабрадором от № 52 до № 60. Оливин обычно образует идиоморфные кристаллы, замещенные гидроокислами железа и ильменитом. Вкрашенники ромбического приотсена образуют гемиморфопирровые сростки и ассо- циируют с зернами магнетита. Основная масса сложена микрокристалами лабра- дора, моноклинным пироксено, рудной пылью и бурым основным стеклом. Для нее характерна микродолеритовая, долеритовая, птиолактитовая, ингер- сергитовая и реже птиолипилитовая структуры. Из акцессорных минералов наиболее характерны магнетит, гематит, апатит и рутил. Вторичные мине- ралы представлены хлоритом, ильменитом, агатинолитом, гидроокислами железа.

В более кистьных разностях андезитах и андезито-базальтах — микролиты плагиоклаза от № 30 до № 45—50.

Базальтовые туфы и агматометры окрашены в серые, желто-серые и буроватые тона. Их петрографический состав в общем соответствует со- ставу базальтов. Размеры обломков колеблются в широких пределах — от долей миллиметра до десятков сантиметров. В цементе преобладает хло- ритизированное стекло.

Возраст свиты определяется на основании палеонтологических данных и находок отпечатков флоры. Из расгигельных отпечатков в туффитах М. М. Коупман был определен *Taxodium tinaquorum* Неег., *Alnus sp.* cf. *Alnus kejsersternii* Неег., *Poacies* sp.

¹ В 0,3 км выше по долине р. Копти, ниже по разрезу, обнажаются черные афировые базальты, которые, вероятно, подстилают туффито-осадочную пачку.

В линзах и глинах обнаружена высокая концентрация пыльцы и спор.

П. Н. Соколовой и В. Ф. Морозовой установлено сравнительно высокое содержание спор из сем. Polypodiaceae и Osmundaceae. В комплексе пыльцы, насчитывающей около 50 видов, преобладают покрытосемянные пред- семянья, преобладает пыльца Taxodiaceae (Taxodium). Относительно много пыльцы Cupressaceae. Пыльца сем. Pinaceae представлена бедно. Отмечен один вид *Picea* и три вида пыльцы *Tsuga*. Покрытосемянные пред- ставители богато. Редко преобладает пыльца *Alnus* (25%), мало *Betula*, *Corylus*, *Capinus*, *Cem.* *Juglandaceae* представлено одним видом пыльцы *Juglans*. Среди Fagaceae мало *Castanea*, мало *Quercus*, единично *Fagus*, *Ulmaceae* единично *Zelkova*, мало пыльцы *Lilaceae*, *Umbelliferae*, *Legni-* *Stevospermataceae*, *Nymphaea*, *Peltia*, *Acer*, *Serpulus*, *Nyssa*, *Araliaceae*, *Eriaceae*. Значительная (5%) неопределенной пыльца (главным образом многопоровая пыльца типа *Alismataceae*).

Сложнотипичной комплекс свидетельствует о теплом климате, сущес- твовавшем в период образования осадков. Тем не менее флора значительно беднее видами по сравнению с верхнеплиоценовой. Время образования глин и лигнитов (наиболее вероятно относится к середине или нижней половине миоцена, поскольку состав флоры еще достаточно богат субтропическими элементами). Таким образом, возраст еще достаточно богат субтропическими элементами. Таким образом, возраст еще достаточно богат субтропическими элементами. Датировать миоценом без дальнейшего уточнения.

Плиоцен

Туффогенно-осадочные отложения (№2)

Балунгено-галечниковые отложения на территории листа впервые были выделены Е. Г. Михалиной (1953 г.) на левобережье р. Копти в 2,2 км северо-западнее устья р. Андаха. Они простирались на протяжении 100—150 м в нижней части склона, выше перекрываясь базальтами совгаванской свиты.

Редакционно-увязочные маркируют 1961 г. было установлено более широкое развитие этих отложений, чем представлялось ранее. Песчано-гра- вийно-галечниковые и туффогенно-осадочные отложения были отмечены на левобережье р. Копти, ниже устья Иоли и на водораздельном мысу рек Ботчи и Мильва, где они слагают маломощные аккумулятивные чехлы тер-рас 100—140 и 200-метрового уровня. Они залегают несогласно с разным возрастом в образованных кизинской свиты или толще опок олиоцен-миоценового возраста и перекрываются базальтами сонгаванской свиты. Наиболее полный разрез туффогенно-осадочной толщи был описан в левом борту долины р. Копти выше устья р. Андаха (снизу):

1. Туф ливовато-серый пастамито-геллитовый, в средней части

с простым пелитовым туфом ливовато-шоколадного цвета с опе-

чатками цветов и растительными остатками: *Fagus* sp., *Quercus* sp., *Castanea* sp., *Betula* sp., *Acer* sp., *Tilia* sp. 1,5 м

2. Туффогаллитовая, андезито-базальтовая и андезитов (ана-

логические андезиты характерны для верхних горизонтов кизин-

ской свиты). Размеры обломков от 1 см до 0,5 м, реже 1 м.

Цементирующая масса — пастамитовый туф светло-серого цвета 5—7 "

3. Туффогаллитовая, состоящие из обломков андезитов и

черных пирофиллитовых базальтов. Размеры обломков от 0,5 до 3 см

Содержание до 15—20%. Цементирующая масса — спекшия обломков андезитов светло-серого цвета и белых пелевых шпатов.

В средней части содержат простой пастамито-пелитового туфа

4. Пачка переслаивающихся опечатками флуорита, пастамитовых и пелитовых. Размеры кластиков кистищеского материала пастамитовых туфов от 4—5 до 25 см, обломки представлены андезитами серыми и

светло-серыми, плагиоклазовыми и плагиоклазово-роговообманковыми и андезито-базальтами. Цементирующая масса псевдо-

вых губов представлена письмом Туров цвета светло-серого
цвета

5.	Туфоагрометры, аналогичные ст. 2	27—30 "	4
----	--	---------	---

В 100 л западнее в распадке ручьи разрез настраивается следующими горизонтами: (возможен некоторый пропуск в разрезе).

6. Валунно-глыбовый горизонт. Обломочный материал представлен супесями и темно-серыми антезитами с флюкститами.

безынергетических полимеров. Размеры обломочного материала от 1 до 0,5 м. Центрирующая масса — паммитовый губчатый

7. Губ серый и светло-серый, щечки и пахучий

8. Туф зелено-серый, псефиотовый	.	.	.
9. Туф светло-серый, пасмурный	.	.	.
10. Туф зелено-серый, посветившийся	.	.	.

андезиту размером до 3-5 ми-
л. Туф пясчистый, рыхлый, с включениями хорошо ока-
нченных песчаников.

12	Туф лиловато-серый песчанитовый	Размеры объемные
13.	Туф зеленовато-серый песчанитовый	

до 1	см.
14	Туф серый пелитовый
15	Туф зелено-серый псевдогипсовый

16. Туф серый пелитовый
17. Туф зеленовато-серый специальный
18. Туфогенные песчаники слабо уплотненные с включениями глины

хорошо отогнутых глыб и валунов андезитов. 19. Туф лимонно-серый с пампимитом. Он был пущен из вулкана отожжения. Обломочные

Материал: представители семейства альдегидов, коричневые смолы, смолы-дайгиты. Пробладают хорошо окатанные валуны и галька разного размера.

мером 5—25 см. реке до 1 м.
Общая мощность разреза около 95 м.
Весь пласт покрыт базальтизованный суглинком.

Однако, несмотря на то что в составе почвы преобладают глинистые минералы, отмечено, что наиболее пестрый и грубый состав обнаруживается в разрезах на участках, где преобладают гравийно-щебеночные отложения.

рекомендую усвоить. Согласно правилам, при прохождении края Топтыгинского протока. При этом происходит сокращение мощности этих отложений до полного выклинивания.

К залпын р. Алаха.
К залпын от Сололи наблюдается постепенное
поплыти базальтов совгаваской свиты, перекрывающей толщу

осадочных образований, вследствие чего в нижних ярусах рельефа оказываются лишь самые верхние горизонты толщи, пребывавшие в водном прохождении — глины, пески.

кам, содержащими значительную пропорцию туфогенного материала. В качестве примера этик отложений можно привести разрезы на проводке по линии Копти - В. 07 км ниже села Неми.

1. Глина опесчанная ржаво-бурая, в верхней части слоем с иллистыми остатками.

Существо серая 2
Песок серовато-желтый мелкозернистый, кварцево-песчаный, сплошной 3

4. Глина коричневато-серая
5. Суглинок желтовато-серый с включениями обломков се-
коричневых туфлитов
6. Суглинок серовато-бурый

НЕОГЕНСКАЯ - ЧЕТВЕРТИЧНАЯ СИСТЕМА

СОВГАЙСКАЯ СБИТА (№ = 0 80)

В глинистых слоях 1 В. Ф. Морозовой были определены споро-пыльцевой спектр, указывающий на налаживание времена накопления хвойных лесов с очевидным преобладанием сосновой породы. Среди пыльцы хвойных отмечается несколько видов елей и сосны, некоторые из них не характерны для растительности нашей временностии. Пыльца субтропической и тропической растительности отсутствует, почти повсюду отсутствует пыльца широколиственных пород растительности. Это дает возможность датировать эти отложения плющеном и даже плиоценом временем.

Несколько отличные данные о возрастном положении этой толщи были получены при изучении диатомовых водорослей, обнаруженных в суглинках с обломками гифофитов (слой 5). В комплексе преобладают *Melosira scabrosa*, *Eunotia parallelus*, *M. islandica*, *M. antiqua*. Все они, а также *Eunotia clevei* обычны для олиготрофных озер.

Приложение приводится список диатомовых водорослей, определенных Г. А. Струве: *Melosira antiqua* Moiss., *M. islandica* O. Müll., *M. praesistans* Jous., *M. scabrosa* Osttr., *Cyclotella aff. pyrumea* Rant., *Cosmarium ellipticus* v. *clypeus*, *T. lacustris* Ralfs., *Autacodiscus* (?) *gorbunovi* cf. *primaria* Moiss., *Juglans* v. *parallelus* Ehr., *E. clevei* Grun., *Eucocconeis* aff. *flexella* sp. (оба), *Gomphonema* sp., *G. cf. brasiliense* Brun., *G. cf. abbreviatum* Ag.? Kütz., *G. longicervis* v. *subclavatum* f. *gracile* Hust.

«Сравниванный комплекс с ранее изученными комплексами диатомовых и кегенового возраста (Порецкий 1937—1939 г., Г. А. И. Молесен 1959 г.), можно предположить, что осадконакопление происходило не раньше середины Миоцена и не позже начала плиоцена». Однако Г. А. Струве указывает, что диатомовые водоросли очень плохо сохранились (в основном в виде обломков, большинство створок со следами растворения) и не исключена возможность, что они являются переносимыми. Учитывая это, а также и то обстоятельство, что в аналогичных отложениях в районе мыса «Красный партизан», залегающие в сходных геологических условиях, В. Ф. Морозовой был установлен комплекс пыльцы и спор плиоценового облика, считаю возможным возраст вышеупомянутых отложений датировать плющеновым.

НЕОГЕНОВАЯ — ЧЕТВЕРТИЧНАЯ СИСТЕМА

СОВАГАНСКАЯ СВИТА (N₂ — Q_{2v})

Базальты соваганской свиты занимают по площади немногого более 5% территории и развиты главным образом в ее северной части, в междуречье Коппин и Большой Халы, где имеют максимальную мощность 150—250 м. и в бассейне р. Топти, где они выполняют древние долины рр. Трапа-Коппин и пра-Мульда. В двух пунктах на левобережье р. Коппин, в 2 км ниже впадения Залегание базальтовых покровов на дренирующих плющновых террасах р. Коппин (240-метровая терраса) и р. Ботчи (140-метровая терраса). Базальты образуют плато с уклоном 3—5° в направлении современных близких близких розоин, иногда покрова их залегает горизонтально. Отмечается также немногим лютые уклы от периферии к центральным частям базальтовых потоков. Абсолютные отметки поверхности соваганской свиты постепенно изменяются с запад на восток (от 700 м близ западной раки листа М-54-XXXII до 0 м в нижнем течении р. Коппин). В районе пос. Ильинскентьевский подошва соваганских базальтов находится ниже уровня моря.

По вещественному составу толща однородна и состоит из базальтовых покровов различной мощности (от 0,2—0,3 м до 5—7 м). Пирокластические разности отсутствуют. На границе покровов часто отчетливо выражена стекловатая, смоляно-черная корочка закаливания, иногда покровы разделены маломощными кораллами выветривания, местами встречаются базальты с шаровой отдельностью. Пористые базальты преобладают. Плотные сливные разности встречаются редко. Окраска пепельно-серая, темно-серая, реже черная. Наиболее плотные разрезы изучены на побережье Татарского пролива у пос. Ильинецьевский и к югу от него, а также в нижней течении р. Копти в долинах ее притоков — Альдаха и Сололи. Так, у северной оконечности бухты Андрея снизу вверх обнажаются:

1. Базальты плотные, темно-серые, массивные, порфировой структуры	15—16	м	2—3	м
2. Базальты плотные, темно-серые, афиевые	4	"	5	"
3. Базальты серые, крупнопористые, ноздреватые	5	"	5	"
4. Базальты красно-бурые, рыхлые, похожие на туфы выветрелые, залегают в форме линз, быстро выклинивающиеся по простиранию	1,5—2	"	6	"

5. Серые мелкогранитные базальты.

Разрез в левом борту долины р. Копти близ устья р. Сололи близок описанному выше. Здесь снизу вверх обнажаются:

1. Базальты массивные, темно-серые	15	м
2. Базальты крупнозернистые, ноздреватые с отчетливо выразленными вкраплениниками светлого пластика	15	"
3. Базальты мелкогранитные со слабо выраженной порфировой структурой	10—12	"

Среди базальтов преобладают оливино-пироксеновые и пироксеновые разности с нерезко выделяющимися фенокристаллами на фоне основной массы интэрергтайской, ойтовой или микродолеритовой структуры. Основная масса состоит из основного пластика (лабрадора) и моноклинного пироксена (авантита), почти не загрунтованных вторичными изменениями (табл. 1). Из акессорных минералов присутствуют магнетит и апатит.

Спектральным анализом базальтов установлено содержание в них Ti — 1%; V, Cr и Mn — 0,1%; Ni — 0,01%; Pb, Mo, Sn 0,001%.

Силикатные анализы (см. табл. 2) подтверждают данные микроскопического изучения. Цветные минералы (магнезиально-железистые) составляют до 60% объема породы при равных содеражениях магния и железа ($f = m$). Характерно резкое преобладание Na над K (в 3—4 раза).

Возраст базальтов совгаванской свиты датируется как плиоцен-четвертичный.

Нижняя возрастная граница установлена в бассейне р. Ботчи, где пористые базальты залегают на галечниках 100—140-метровой террасы. Наибольшие остатки диатомовых водорослей в отложениях этой террасы на этом же участке представлены, по определению Л. А. Струве, планктонными видами рода *Melosira* (*M. antiqua* Moiss., *M. praeisländica* f. *cirrata* J. ois é, *M. praetisländica* f. *cirrata* J. ois é, *M. ellipticus* v. *lancea* H. ist. и др.). Единично найдены *Tetra-*
гии и *Coccolithus*, не описанных ранее.

Наиболее два новых вида рода *Coccolithus*, не описанных ранее. Наибольшее устремление к формированию этого террасы на этом же участке представлена по определению Л. А. Струве, планктонными видами рода *Melosira* (*M. antiqua* Moiss., *M. praeisländica* f. *cirrata* J. ois é, *M. ellipticus* v. *lancea* H. ist. и др.). Единично найдены *Tetra-*
гии и *Coccolithus*, не описанных ранее.

Большинство установленных форм характерно для миоценового и плиоценового ярусов.

По заключению Л. А. Струве, более вероятен верхнемиоценовый возраст, однако не исключен и плиоценовый. Последний, исходя из геологической обстановки, представляется более вероятным, так как на Сынот-Айне отложений 100—140-метровых террас характеризованы плиоценовыми спорово-пыльцевым спектром.

На левобережье р. Копти, у станицы Ульма базальты совгаванской свиты залегают на пачке рыхлых пород — глины, песков и диатомитов, окварцизованных спорово-пыльцевым спектром плиоцен-нижнечетвертичного воз-

раста. Таким образом, возраст базальтов совгаванской свиты следует определять как плиоценово-четвертичный.¹

В верхнечетвертичное время произошла незначительная локальная вспышка вулканизма в бассейне р. Копти, о чем можно судить по наличию небольших плавковых конусов, залегающих на 12—15-метровой террасе р. Копти ниже впадения в нее р. Балоги. По петрографическому составу эти базальты идентичны платобазальтам.

ЧЕТВЕРТИЧНАЯ СИСТЕМА

Четвертичные образования сплошным рыхлым чехлом покрывают все аллювиальные-морские, морские, болотные, делювиальные, нарасцепленные склоновые и гравитационные отложения. Последние три типа, представленные существенно суглиннисто-щебнистыми и щебнистыми образованиями из-за незападильной мощности на геологической карте не показаны.

Нижний отдел (Q1)

К наиболее первым четвертичным отложениям, развитым на территории листа, слегка отгести рыхлые образования надподземных террас р. Копти и Ботчи высотой до 60 м. Отложения представлены галечниками с суглинками, отложенными заполнителем. Мощность отложений изменяется от 1 до 3 м. Возраст (Плахотник, 1960), где отложения, аналогичные с соседними территориями на водоразделе Лудза и Черная Речка, Черная Речка и Альми, характеризованы богатым спорово-пыльцевым спектром нижнечетвертичного возраста.

Средний отдел (Q2)

К среднечетвертичным относятся аллювиальные отложения надподземных террас высотой 25—40 м р. Копти и Ботчи. Аллювиальные отложения представлены галечниками и суглинками с прослойками глины и супесей. Мощность отложений до 3 м.

Отложения равновысотных террас к югу от описанной территории в бассейне р. Самары (У пос. Агзу) охарактеризованы спорово-пыльцевым спектром, по мнению Л. Пашекиной, указывающим на среднечетвертичный возраст вмещающих отложений.

Верхний отдел (Q3)

Верхнечетвертичные аллювиальные отложения на территории листа слагают II и III надподземные террасы р. Копти высотой соответственно 6—8 и 12—20 м и морскую террасу высотой 8—30 м. Все они террасы скользуго-аккумулятивного типа.

Отложения представлены галечниками и гравием, песками и суглинками. Разрез аллювия III надподземной террасы высотой 15—20 м, вскрытой на левом берегу р. Копти у устья руч. Лебахани, представлен сверху вниз:

1. Почвенно-растительный слой	0,2	м
2. Супесь желто-бурая с примесью разнозернистого песка, гальки и гравий, реже глыбы гранитов и порфиритов	0,5	"
3. Галечники и гравий (с вкраплением глыб и валунов) с песчаным и суглинистым заполнителем. Мощность изменяется от 2 до 6 м,	4,5	"

¹ Четвертичный возраст совгаванской свиты доказывается достаточно убедительно, поэтому отнесение ее к N2—Q нелогично. — Прим. ред.

Таблица 1

Числовые характеристики кайнозойских вулканогенных образований (по А. Н. Заварицкому)

нр №	Порода	Место взятия образца	Числовые характеристики											
			a	c	b	s	a'	f'	m'	e'	n'	φ	t	Q
Совгаванская свита														
1	Базальт	Р. Ботчи (по А. Б. Кривицкому и Е. К. Дацко, 1948 г.)	10,8	5,3	24,4	59,5	—	32,2	38,3	22,5	73,1	—	—	—
2	То же	Там же	9,0	8,5	20,0	62,5	—	40,6	37,2	22,2	84,0	—	—	—
Кизинская свита														
3	“ ”	2 км выше устья р. Андаха (В. Г. Плахотник и Э. К. Дулькис, 1957 г.)	7,95	7,15	13,87	68,70	68,4	45,8	47,4	—	37,0	16,6	1,0	—
4	“ ”	То же	11,11	6,93	14,4	67,4	—	48,2	45,7	6,0	75,3	17,1	1,0	—
5	“ ”	Р. Коппи, 1,5 км выше ст. Ульма	8,8	6,8	21,1	63,3	—	43,4	47,2	9,4	90,7	8,2	4,5	—
6	“ ”	Р. Ботчи (В. Г. Плахотник, Э. К. Дулькис, 1957 г.)	10,6	9,2	12,9	67,1	—	60,4	33,3	6,2	71,2	31,7	1,4	—
7	“ ”	Р. Мульпа (В. Г. Плахотник, Э. К. Дулькис, 1957 г.)	11,06	7,8	16,7	64,7	—	49,1	43,2	7,6	74,3	16,1	1,5	—
8	“ ”	Р. Коппи (В. Г. Плахотник, Э. К. Дулькис, 1957 г.)	9,8	7,8	12,8	68,8	—	53,2	41,4	5,3	77,2	29,0	1,04	—
Кузнецовская свита														
9	Андезитобазальты	Р. Ботчи (по В. А. Ярмолюку, 1948 г.)	9,0	8,5	20,0	62,2	—	40,6	37,2	22,2	84,0	—	—	—
10	То же	Междуречье — Ботчи — Нельма (А. Б. Кривицкий и Е. К. Дацко, 1948 г.)	8,6	7,1	22,1	62,5	—	38,6	46,9	14,5	81,1	—	—	—
11	“ ”	Р. Мульпа (Разживин А. Б. и Михалина Е. Т., 1954 г.)	10,73	8,3	16,67	63,9	20,0	23,9	54,0	—	71,6	43,5	1,24	—
12	Базальт	Р. Ботчи (Л. Б. Кривицкий, Е. К. Дацко, 1948 г.)	8,1	7,2	22,2	62,5	—	37,0	51,0	12,0	81,1	—	—	—
13	Липаритовый туф	Р. Ботчи (п. 188, 1962 г.)	12,8	1,5	7,0	78,7	95,3	43,9	20,8	—	38,5	26,7	0,3	30,3
														8,5

4. Гравий и галечники с песчаным заполнителем. Мощность слой 1,8 м, местами она изменяется от 0,4 до 2,0 м, местами слой выклиняется.

5. Галечники с включенiem гравия, реже валунов с глинистопесчанным заполнителем.

6. Гравий и галечники с песчаным заполнителем, в верхней части слоя с линзами и простойками песка желтовато-бурового, разнозернистого, полимиктового. Мощность колеблется от 1,3 м до 2,2 м, преобладающая 2,0 м.

Суммарная мощность отложений 10—12 м.

В долинах р. Ботчи и Мульта (не отражены на карте) отложения III надпойменной террасы имеют более грубый состав, представляя плохо сортированные песчано-гравийно-галечниковые осадки с включенiem большого количества глыб и валунов. Максимальная мощность аллювия здесь также не превышает 10—12 м.

Аллювий II надпойменной террасы имеет ограниченное развитие в долинах рр. Копти, Ботчи, Мульта и их крупных притоков. В его составе на блюдаются галечники и гравий с включенными валунами и линзами разнозернистых песков и суглинков, супеси и суглинки. В верхней части разреза отложения представлены более тонкими осадками — тяжелыми и плывущими суглинками или супесями, реже песками с редкой галькой и гравием, в нижней — грубыми плохо отсортированными осадками — галечниками и гравием с включенными валунами.

Мощность аллювия II террасы 1—3 м, реже до 8—10 м.
 В акционатльных отложениях террасы высотой 7 м у пос. Азгу (к югу от исследованной территории) были обнаружены спорово-пыльцевой спектр, позволивший В. Ф. Морозовой датировать возраст вмещающих отложений как верхнечетвертичный.

Морские отложения, слагающие террасы высотой 8—30 м, развиты вдоль побережья Татарского пролива; наиболее широко распространены они между мысами Ича и Устьене и южнее бухты Пуна. Они представлены галечниками с включенными гравием, валунами и линзами песков и суглинков. Общая мощность морских отложений от 0,5 до 15 м.

Споры и пыльца в описываемых отложениях не обнаружены.

Современный отдел (Q₄)

K современным отнесены отложения I надпойменной террасы, пойменные, аллювиально-морские, морские и болотные образования.

Аллювий I надпойменной террасы и поймы, представлен суглинками с галькой, галечниками с суплинистым заполнителем, гравием, песком и супесью. При этом восток наблюдается горизонтальная и вертикальная зональность распределения фаций осадков от грубоэзернистых до тонкоэзернистых в направлении от верховий долин к средним и приустьевым частям их, от основания разреза к верхам его.

Одна мощность аллювия I надпойменной террасы в верховьях долин 1—3 м, в средних и нижних частях — до 5 м.

Современный возраст аллювия I надпойменной террасы подтверждён мюнхенским спорово-пыльцевым спектром.

Морские и аллювиально-морские отложения, слагающие нижние морские террасы высотой до 4 м и береговые валы той же высоты, развиты в пристеблевой части долины р. Копти (бухта Азгу), и к югу от мыса Тюленей. Они представлены мелко- и среднезернистыми кварцевыми песками с линзами хорошо окатанной гальки и гравия. Мощность отложений, по данным ВЭЗ, около 7 м.

Болотные отложения развиты в долине р. Ботчи, в средней части долины р. Копти.

В устье р. Копти вскрыт следующий разрез болотных отложений (сверху):

1. Мокрый	0,1 м
2. Иловатый суглинок	0,07 "
3. Торф черный	0,1 "
4. Торф желтоловато-коричневый с плохо разложившимися растительными остатками	1,6—1,7 "
5. Галечник с присестью крупнозернистого песка	1,8 "

В долине р. Ботчи на I надпойменной террасе вскрыты следующие отложения (сверху):

1. Мокрый
2. Торф буро-вато-коричневый, плохо разложившийся
3. Супесь серо-вато-желтая с прослоями галечника и песка
4. Пересяивание галечника с разнозернистыми песками, в верхней части слоя — с линзами торфа

Мощность болотных отложений от 1,8 до 3,5 м.

Интрузивные образования

Интрузивные образования широко распространены в западной части территории листа. В восточной части они перекрыты мощным чехлом эфузивных образований и обнажаются только на глубоко эродированных участках долин рек и морского побережья. Среди них выделяются три возрастных комплекса: раннепалеогеновый, позднепалеогеновый и неогеновый.

Раннепалеогеновые интрузии

Раннепалеогеновые интрузии по составу подразделяются на три группы, соответствующие разнофазовым образованиям. К первой фазе относятся массивы диоритов, монцонитов, кварцевых монцонито-диоритов. Вторая фаза (основная) представлена гранитами биотитовыми, биотит-роговообманковыми и роговообманковыми. Взаимоотношения первых двух фаз наблюдалась в двух массивах в бассейне кл. Буница и в среднем течении правого притока р. Диляма, где гранодиориты и диориты первой фазы инфильтрованы гранитами и апофизами. Кроме того, диориты образуют крупные ксенолиты в биотитовых гранитах. Диориты на контакте испытывают метасоматические изменения. Выделение третьей фазы гранит-порфиров в известной степени условно из-за того, что взаимоотношения с образованными более ранних фаз не изучены (пространственно массивы разобщены), хотя в ряде пунктов на левобережье р. Копти ниже устья р. Сагад-Бяха отмечались интрузивные контакты крупных даек гранит-порфиров мощностью до 100—150 м с биотитовыми гранитами второй фазы.

Интрузивные породы первой фазы

К первой фазе принадлежат интрузивные тела, сложенные диоритами, гранодиоритами, редко кварцевыми монцонитами, расположенные в бассейне р. Ильи, в междуречье кт. Буница и Сытыла, на левобережье р. Копти на участке владения р. Камку и Сагад-Бяха и в других местах.

Размеры массивов незначительны — от 1 до 5 км², реже до 10—40 км². Ильинский массив расположен в среднем и верхнем течении р. Ильи — левого притока р. Копти. Вмещающие породы служат существенно песчаниковые толщи ульминской свиты. Массив вытянут в северо-восточном направлении, повторяя простижение мезозойских складчатых структур. В плане он имеет неправильную овальную форму и извилистые очертания контуров. Контакт массива, судя по довольно широким ореолам (до 5 км) контак-

того метаморфизма и многочисленным апофизам, по-видимому, очень погоди-

тике. Массив неоднороден по составу, однако в расщеплении отдельных разностей никаких закономерностей не отмечено. Он сложен диоритами, гранодиоритами, кварцевыми породами приобретающими облик фации Дюориты (δ орг), слагающие большую часть массива, представляют собой среднесернистые серые, почти бескварцевые породы, состоящие из плагиоклаза (андезина № 40—52) — 45—60%, калиевого полевого шпата — до 5—10%, пироксена или роговой обманки, реже биотита. Содержание темноцветных минералов от 30 до 35%. Кварц в породе редко составляет не более 5%. Аксессорные минералы: сфеин, лейкоксен, апатит, польменит, рудный минерал.

Кварцевые диориты (δ орг) микроскопически отличаются от диоритов только содержанием кварца (до 15%) и незначительным количеством калиевых полевых шпатов (до 3—5%). Кварцевые монцониты (δ орг), которым сложены краевые части интрузии, волнистые контакты с гранитоидами представляют собой зеленовато-серые крупнозернистые породы, состоящие из плагиоклаза (андезина № 30—45) — 50—55%, калиевого полевого шпата — 30—35%, роговой обманки и биотита — 10—15% и кварца — 3—5%. Вторичные минералы, представлены хлоритом, эпиломом и цинцитом. Аксессорные минералы — магнетит, апатит, сфеин. Структура гипидоморфозернистая с участками микропегматитовых. Гранодиориты (δ орг) встречаются в равной степени, как в центральных, так и периферийных частях массива и всегда связаны постепенным переходом с диоритами. Это светлые крупно- и среднесернистые породы, представленные плагиоклазом (андезин-олигоклазом 30—42) — 40—50%, калиевым полевым шпатом — 15—30%, кварцем — 20—25%, биотитом и роговой обманкой — 10—25%. Аксессорные минералы: апатит, циркон, сфеин, рудный минерал.

Порфировидные разности, наиболее часто встречающиеся в ассоциации с гранодиоритами, обнаруживают большое сходство минералогического состава с последними. Порфировые выделения этих пород представлены таблитчатым андезитом зонального строения.

Интрузия междууречья Бунича и Сытыли в виде разобщенных массивов вскрывается в бассейне кр. Бунича и на левобережье р. Сытыли. На водоразделе этих рек сохранились остатки кровель, сложенные сильнороговикованными песчаниками узоминской свиты, которые в виде непрерывной постепенно расширяющейся полосы протягиваются в северо-восточном направлении к северо-восточному контакту интрузии. На этом оснащении можно предполагать, что плоскость контакта полого наклонена в северо-восточном направлении, опускаясь под эффективно-обсадочные образования палеогенового возраста. На западе и юге интрузия прорвана гранитами Бялопинского интрузиона.

Массивы сложены мелкосернистыми роговообманковыми и носитами, представлены плагиоклазом (андезин, андезин-лабrador № 48—60) — 50—60%, калиевым полевым шпатом — 25—35%, реже до 40%, короткоизометрическим феном, калиевого полевого шпата и кварца — до 5%. Структура гипидоморфозернистая.

Кварцевые монцонито-диориты, постепенно сменяющие диориты, состоят из узкокристаллических зерен плагиоклаза (андезин-олигоклаза) — 30—40%, калиевого полевого шпата — 25—30%, роговой обманки, биотита — до 20% и кварца — 10—15%. Аксессорные минералы представлены сфеином, цирконом, апатитом и рудным минералом.

Плагиоклазы интенсивно албитизированы и серилизированы. По роговому обманку развиты биотит и хлорит (типа кинокхора). Биотит сильно корродированый, участки замещен радиально-лучистым хлоритом. Участками содержание темноцветных минералов увеличивается до 60—70%.

Диоритовые и плагиоклазовые породы, образующие ветвистые обрамления интрузий, — зеленовато-серые и темно-серые тонкораскристаллизованные породы порфирового и реже афирового сложения. Фенокристаллы представлены таблитчатыми зернами андезина размером от 2 до 5 мм, сильно эпиломизированными и серилизированными. Содержание вкраепленников обильного распыленного рудного минерала.

Интрузионные породы второй фазы

В краевых частях, преимущественно в южной контакте с гранитоидами, наблюдается зона осветленных, по-видимому, гибридных монцонито-диоритов, в которых удаленно-призматическая и шестоватая роговая обманка черного цвета составляет до 30% всей массы породы.

В промежутках междунейшей разности полевые шпаты (30%) и плагиоклазы (андезин № 30—34) — 30—40%, с примесью незначительного количества кварца. Плагиоклазы резко идоморфны по отношению к калиевым полевым шпатам. В направлении к контакту с гранитоидами содержание темноцветных минералов уменьшается. Соответственно увеличивается содержание кварца, который вместе с полевыми шпатами располагается гнездообразно.

Несколько разобщенных выходов кварцевых диоритов и гранодиоритов на правобережье р. Коппи устья Сагды-Бяха, представляют собой, очевидно, единую ставнистую крупную массивив, большая часть которого перекрыта базальтами кизинской и совгаванской свит.

Кварцевые диориты имеют следующий минералогический состав: плагиоклаз (андезин № 40—45) — 70%, калиевый полевой шпат — 5%, роговая обманка — 15%, кварц — 10%. В ничтожном количестве в ассоциации с амфиболитами присутствуют зерна пироксена. Аксессорные представлены магнетитом и апатитом.

К этой же фазе относятся образования, генетически тесно связанные с эфузивными породами самаргинской свиты. Они обеляются породы жерловой фации эфузивов, корки изливаний и лакколитов, которые должны быть выделены из состава эфузивных образований как единая генетическая группа интрузивных проявлений магматической деятельности на раннем этапе развития постгосинклинального тектоно-магматического цикла.

Подошвой рода интрузии наблюдались в бассейне левого безымянного притока р. Коппи, северо-западнее устья р. Диокма, а также на правобережье р. Коппи западнее кр. Бялинга. Площадь массивов до 1—2 км². Вмещающие породы — андезиты самаргинской свиты.

Массивы характеризуются хорошо различимой зональностью, выраженной в том, что центральные части их сложены хорошо раскристаллизованными диоритами и монцонито-диоритами, постепенно сменяющимися к периферическим частям тонкораскристаллизованными диоритами и плагиоклазовыми порфиритами. Эти породы сплошными кольцами окружают интрузивный массив и при удалении от последнего постепенно сменяются андезитами самаргинской свиты.

Помимо горизонтальной зональности отмечается и вертикальная зональность, обнаруживаемая в относительной крупных массивах. На глубоко зернизованных терригенных диоритах наблюдаются только в днищах долин и распадков. Выше по рельефу они переходят в мелкораскристаллизованные и порфировые породы гипабиссального облика.

Диориты центральных частей интрузии представляют собой мелко- и среднесернистые породы мезороговатого облика. На глубоко зернизованных терригенных диоритах интрузии наблюдаются только в днищах долин и поясах северо-восточного контакта интрузии. На этом оснащении можно предполагать, что плоскость контакта полого наклонена в северо-восточном направлении, опускаясь под эффективно-обсадочные образования палеогенового возраста. На западе и юге интрузия прорвана гранитами Бялопинского интрузиона.

Породами второй фазы образованы крупные массивы бассейна р. Коппи и Бялопинской интрузии, известные в литературе под названием Бялопинской интрузии, а также массивы бассейна р. Диокмы и ее правых составляющих.

Крупный массив бассейна рр. Колпи и Бяполи площадью около 250 км² сложен лейкократами биотитовыми и биотит-тогровобоманковыми гранитами (УРГ₁). Гранодиориты присутствуют в подчиненном количестве, встречаются главным образом в периферических частях массивов. Вмещающие породы представлены андезитами самаргинской свиты и комплексом отдельных образований верхнемелового возраста.

Хорошая обнаженность интрузива и достаточно глубокая современная эрозия его по сравнению с другими интрузивными массивами позволяет установить вертикальную зональность в распределении зернистых структур — К. наиболее пониженным участкам рельефа приурочены более крупнозернистые граниты, круто-, средне- и неравномернозернистые, порфировидные со средней зернистостью основной массой. Выше по рельефу наблюдается переход в порфировидные граниты с мелкозернистой основной массой.

К. периферическим участкам рельефа приурочены небольшие массивы порфировидных гранитов с аplitовидной основной массой. При таком разнообразии структурных разновидностей петрографический состав гранитов остается почти одинаковым.

Общность происхождения выделенных разновидностей доказывается тождественным соотношением породообразующих минералов: калиевый полевой шпат — 45—51%, плагиоклаз — 10—20%, кварц — 22—30%, биотит — 3—5%. Кроме перечисленных породообразующих минералов в гранитах присутствуют акцессорные минералы: апатит, ортит, рудный минерал. Для порфировидных гранитов с аplitовидной основной массой весьма характерны крутые выделения красно-бурового рутила. Из вторичных минералов наблюдаются хлорит, эпилор, лейкоксен, сернистый карбонат, позит.

Для первомелозернистых и порфировидных биотитовых гранитов со среднезернистой основной массой характерно птичье-головое замещение плагиоклазов калиевыми полевыми шпатами, вследствие чего нередко возникают гигантозернистые порфировидные структуры. Одновременно с этими процессами наблюдается замещение биотита хлоритом, сопровождающее образование нильзейских сапеитов и лейкоксена. В ряде случаев среди новообразованием нильзейских сапеитов наблюдаются значительные скопления рутила, которые, возможно, развиваются по титансодержащим биотитам.

На левом берегу р. Колпи, против устья р. Салаки, среди среднезернистых биотитовых гранитов наблюдается мелкозернистая гибридная, богатая биотитом порода. Граниты в контакте приобретают крупнозернистое, пегматитовое строение с размером зерен до 0,5 см, а гибридная порода пересечена пегматитовыми прожилками, состоящими из розового полевого шпата и белого кварца.

Однородность петрографического состава Бяпольского интрузиона неоднократно нарушается появлениями в его северо-западной части и гранодиорит-торфиром (УРГ₂), польбогигант-тогровобоманковых гранитов и гранодиоритов с лейкократовыми биотитовыми гранитами ограниченными скоплениями гранитов с различным распространением. Для них характерен следующий минералогический состав: калиевый полевой шпат и плагиоклаз (олигоклаз, олигоклаз-андезин) содержатся в равных количествах — 30%, кварц — 25—30%, темноцветные минералы — до 5—8%, реже до 15%. Структура аллотропоморфозернистая, переходная к гиппоморфозернистой.

Аналогичные интрузии тогровобоманковых гранитов и гранодиоритов отмечаются в бассейне правых притоков р. Дякомы.

Интрузивные породы третичной фации

Небольшие массивы гранит-порфиров наблюдались на левобережье р. Индры на волгоразделе левых притоков рр. Поль и Колпи, Гуйму и Сытыши и Сытыши. Плоскими массивами колеблются в пределах 3—12 км².

Вмещающими породами являются мезозойские осадочные отложения, образованные самаргинской свитой и толщи кристаллов эффузивов, а также интрузивные породы Бяпольского интрузива.

Наиболее полно изучен массив левобережья р. Индры. Интрузия однородна по составу. Преобладающими породами являются офорктованными зернами кварца размером до 3—5 мм. Порфироиды гранит-порфиров помимо кристаллов кварца представляют калиевыми полевыми шпатами. Основная масса сложена калиевыми полевыми шпатами (ортоклазом) — 40—50%, плагиоклазами (альбитом) — 15—20% и кварцем — 30—40%, последний часто в пегматоидном срастании с калиевыми полевыми шпатами. Структура основной массы микроплитовая или микролегматитовая.

В центральных частях массива наблюдаются лейкократовые гранит-порфиры с аplitовидной основной массой и аplitовидные граниты (УРГ₁), по внешнему облику напоминающие порфироидные граниты с аplitовидной основной массой, выделяющиеся в пределах Бяпольского интрузива.

Интрузивные образования ритмопалагенного комплекса сопровождаются серней жильных образований, среди которых можно выделить две группы. К первой группе относятся гранит-порфиры, гранодиорит-порфиры, как правило, в пределах Бяпольского интрузива. Феритических частях. Они слагают жилы мощностью от 1 см до 1 м и дайки мощностью от 5 до 100 м.

Жильные породы второй группы представлены диорит-порфирами и андезитами. Дайки, образованные этими породами, имеют небольшую мощность и мощность от 0,1 до 5 м. Пространственно эти дайки не связаны с интрузивными массивами и чаще наблюдаются за их пределами.

Гранит-порфиры (УГ₁) пространственно тесно связаны с массивами порфироидных лейкократовых гранитов с аplitовидной основной массой. Близость петрофиритического состава этих пород свидетельствует также об их тесной генетической связи.

Гранит-порфиры — лейкократовые породы порфироидного сложения. Вкрапленники представлены плагиоклазами (олигоклаз № 20—25), калиевыми полевыми шпатами, кварцем и биотитом. Размеры вкраплеников до 3—5 мм. содержание их до 50%.

Основная масса сложена плагиоклазами, калиевыми полевыми шпатами и кварцем, реже биотитом и эпилором. Структура основной массы микроплитовая, микролегматитовая.

АPLITОВЫЕ ГРАНИТЫ (УГ₁) — лейкократовые породы, состоящие из калиевого полевого шпата, в основной перитика — 30—40%, кварца — 40% и плагиоклаза (альбита) — 18—20%, редко биотита — до 2%. Структура аplitовых паналогитоморфозернистая, аplitовая. В устье р. Камку аplitовые прожилки гигантского характера и содержат наряду с калиевым полевым шпатом микролегматит, крупные кристаллы олигоклаза, скопления эпилора и ярко-зеленого хлорита. Структура породы микролегматитовая.

Особый интерес среди жильных образований третьей группы представляют пегматоидные граниты и пегматиты, приуроченные к зонам брекчирования северо-западного простирания. Пегматиты образуют быстро выклинивающиеся жилы и линзы мощностью от 1 до 20 см. Протяженность нередко до 5—10 м. Чаще пегматитами сложены центральные части аplitовых жил. В общей сложности сложены участки западного устья р. Бяполи встречено до 20 пегматитовых жил и шлифобразных пегматитовых тел.

ПЕГМАТИТЫ (УГ₂) состоят из калиевого полевого шпата и кварца. В подчиненном количестве присутствует альбит и биотит. Размеры кристаллов до 5—10 см. Нередко они сопровождаются редкими кристаллами горного хрусталя и раух-топаза размером до 10—12 см по длиной оси. Аксессорные минералы представлены орбитом, магнетитом и апатитом.

ДИОРИТ-ПОРФИРЫ (УГ₃) представляют собой зеленовато-серые порфировые породы. Порфироидные выделения образованы плагиоклазом (андезитом № 38—42) зонального строения. По плагиоклазу развиты серцит, эпилор,

калиягит. Значительно реже во вкраплениках развиты роговатой обманка и ги-

моноклинный пироксен. Основная масса диорит-порфиритов сожжена плагио-
клином, небольшим количеством калиевого полевого шпата и кварца, биотитом
и роговой обманкой. Структура основной массы микронойкиловая.

Анделиты (д) — зеленовато-серые порфиритовые породы. Вкрапленники
представлены исключительно плагиоклазом (андезитом № 40) таблитчатым
формами размером до 1,5 м.м. Содержание вкрапленников около 15—20%.
Основная масса состоит из стекла, в котором беспорядочно распределены
микролиты плагиоклаза и зерна рудного минерала. Основная масса хлорити-
зирована и эпидотизирована.

Интрузивные образования раннепалеогенового комплекса сопровождаются
облицовками ореолами kontaktового метаморфизма. Зона kontaktово-изменен-
ных пород имеет ширину от 2 до 5 км, что подтверждает незначительную
крутизну контактов интрузивных тел с вмещающими породами. Kontakt-
апатиты и карбонаты.

Контактовые изменения в эфузивных породах выражаются в образова-
нии вторичных минералов хлорита, эпидота, уралита и кальцита.

Для эндоконтакта гранитов характерно обогащение калиевым полевым
шипатом и интенсивная альбитизация.

Помимо kontaktового метаморфизма интрузивные образования несут следы пневматолитической деятельности, выражавшейся в об-
разовании зон грейзенизированных пород и формирования кварцевых жил,
несущих сульфидную и оловянно-молибденовую минерализацию.

Редакционно-увязочными малопротяженными были обнаружены две довольно
значительные зоны грейзенизированных пород. Первая из них встречена
на левобережье р. Копли в приступочной части р. Камку шириной до 4 км.
К северу от долины она перекрыта базальтами кизинской и совгаванско-
й свит. Второй участок грейзенизации отнесен в долине левого составляющего
р. Монсева. Оба участка приурочены к зоне круглого нарушения северо-
восточного простирания. Кроме того, в пределах Билюлинского интрузива и
особенно в интрузии гранит-порфиров правобережья р. Ильги часто можно
наблюдать кварцевые жилы, окаймленные оторочками мусковита и серицита,

напоминающими грейзен.

Грейзенизации подверглись преимущественно среднезернистые граниты раз-
мером, порфиритовые граниты с аplitовидной основной массой. Грейзены раз-
виваются вдоль вертикальных трещин отдельности и часто оказываются
тесно связанными с руслами проплесин. Центральные части трещин выполнены
кварцем, молочно-белым полупрозрачным, монтиком, полосами кварцево-мусковитовых
пород, содержащими мелкорасчлененную вкрапленность молибдита и кассiterита. Затем расположаются
контактизованные и серпентинизированные граниты, постепенно переходящих
в неизмененные разности гранитов, характеризующиеся сильной сульфидизацией.

Возраст описанного комплекса устанавливается на основании следующих
данных. Ранние фазы интрузивных образований, тесно связанные с эф-
фузионными образованими самаргинской свиты, следуют, по-видимому, дати-
ровать ранним палеогеном. Внедрение гранитов и диоритов более поздних
(основной) фазы произошло уже после формирования эфузивов самаргин-
ской свиты и толщи кислых эфузивов, с которыми граниты имеют интру-
зивные контакты.

Абсолютный возраст гранитов Билюлинского интрузива, по данным
Э. П. Изюха, составляет 60 млн. лет.

Позднепалеогеновые интрузии

Позднепалеогеновые интрузивные образования имеют на территории
листа ограниченное распространение и представлены незначительными по
площади массивами и штокобразными телами. Интрузивные тела, по-види-
мому, сформированы в несколько фаз.

Породы первой фазы, представленные габбро и габбро-диоритами, дио-
рит-порфиритами и андезитами, образуют штоки и небольшие массивы пло-
щадью 1—2, реже до 5 км², либо наблюдаются в краевых частях интрузии
междууречья р. Копли и Бий.

Габбро (УР₂) и габброродиориты (УР₂Р₂) состоят из плагио-
клиза (глаукадора № 55 и андезина 32—35) — 60%, пироксена и уралито-
вой роговой обманки — 35—40%. В некоторых разностях присутствует только
эпидот, хлорит и рудный минерал — до 5%. Структура габровая, в перифе-
рических частях массивов часто порфировидная.

В долине р. Ботчи выше устья р. Кукши штокобразное тело сложено
в центральных частях диорит-порфиритами, в периферических —
андезитами. Порфириты выделены плагиоклазом (андезин № 30—35) и роговой обманкой. Содержание вкрапленников до 30%.
В диорит-порфиритах наблюдаются обломки базальтов размером до 5 см
в диаметре, по внешнему облику напоминающие образования кузнецковской
свиты.

Некоторые из этих интрузий носят ясно субвуликанический характер и
генетически, вероятно, связаны с эфузивными образованиями кузнецков-
ской свиты зоценового возраста.

Контактовый метаморфизм вмещающих пород часто проявляется в появ-
лении маломощной полосы закаливания и уплотнения пород. Реже контак-
тальные изменения сопровождаются хлоритизацией и эпидотизацией.

Интрузивные образования второй фазы слагают крупные массивы в меж-
дууречье Копли и Бий и на правобережье р. Ботчи, выше устья р. Кукши.
Остальные массивы (гора Джары, мыс Пуна) имеют незначительные размеры,
вскрываются из-под покрова более молодых эфузивных образований.
Массив бассейна р. Бий и междууречья последней и р. Копли площадью
около 10 км² имеет неправильную овальнную форму, слегка вытянутую в мериди-
ональном направлении. Вмещающими породами на западе и востоке яв-
ляются эфузивы самаргинской свиты и толщи кислых эфузивов, на севере
и юге — граниты Билюлинского интрузива. В юго-восточной части массива пе-
рекрываются базальтами кизинской свиты.

В составе интрузий существенная роль принадлежит гранодиоритам,
диоритам, кварцевым диоритам, реже гранитам и сиенит-диоритам, связанным
между собой постепенными переходами.

Гранодиориты (УР₂Р₂) — среднезернистые лейкократовые породы,
состоящие из плагиоклазов (олигоклазандезина № 30—32) — 40%, калиевых
полевых шпатов — 10—25%, в пегматоидном срастании с кварцем — 20%,
роликовыми гранатами, биотитом, реже пироксена — 20—25%. Местами наблюдается
вторичная роговая обманка по пироксену.

Аксессорные минералы — апатит, сфен, рулный минерал.
Диориты (ОР₂) и кварцевые диориты. Это мелко- и среднезернистые породы,
значительно реже гранодиориты. Это мелко- и среднезернистые породы,
в составе которых преобладает плагиоклаз (андезин № 38—42) — 55—60%.

Остальные минералы присутствуют в следующем количестве: роговая обманка —
25—30%, калиевый полевой шпат — 1—3% и кварц — до 10%. Аксессор-
ные минералы: апатит и циркон.

По данным В. А. Булатова (1931), второе место по площади распростране-
ния после гранодиоритов и диоритов занимают кварцевые сиениты (Бор₂Р₂)
и сиенит-диориты. Среди них выделяются кварцевые и бескварцевые разности.
Макроскопически это среднезернистые серые и розовато-серые породы, состоя-
щие из плагиоклазов (андезин-лардара и андезина № 35—45), розовых
калиевых полевых шпатов (содержание изменяется в широких пределах),

автига, роговой обманки удлиненно-призматической формы (25—30%) и кварца (15—20%). Структура гипидоморфозернистая, участками приподняется к монионитовой.

В периферических частях массива отмечаются гранодиориты и диориты с порфировыми выделениями плагиоклазов и роговой обманки.

Границы наблюдаются исключительно редко в приконтактовых участках массива. Граниты сложены плагиоклазом (олигоклаз № 25—27) — 15—25%, калиевым полевым шпатом — 35—50%, кварцем — 30% и роговой обманкой — 5—10%. Количественное соотношение минералов, входящих в состав гранитов, свидетельствует о том, что эти граниты несут следы гибридизма, выражаются в увеличении количества темноцветных минералов и калиевого полевого шпата.

Массив м. Пуна сложен гранодиоритами лиловато-серого цвета, по внешнему облику напоминающими с одной стороны гранодиорит-порфиры горы Джари, с другой — интрузию гранодиоритов междуречья Коппи и бай. Вмещающими породами являются диориты второй фазы, раннепалеогенового комплекса, которые в большом количестве присутствуют в виде ксенолитов в апикальных частях массива. Размеры ксенолитов от 1 до 20 см. В ксенолитах наблюдаются разности диоритов с характерными шестоватыми и игольчатыми кристаллами черной роговой обманки размером до 5—6 мм, и обычно развивающиеся на контактах диоритов интрузий с гранитами Байпинского интрузива. В гранодиоритах помимо указанных ксенолитов были встречены обломки базальтов темно-серых, крепких с порфировыми выделениями плагиоклазов. Аналогичные базальты на левобережье р. Богачи развиты в составе кузнецковской свиты.

Гранодиориты (KdP_{g}) представляют собой серые и лиловато-серые мелко- и среднезернистые породы, состоящие из плагиоклаза — 40%, калиевого полевого шпата — 10%, роговой обманки — 25%, кварца — 20%, рудных минералов.

Плагиоклаз присутствует в виде кристаллов таблитчатой формы размером до 1—2 мм, представлен олигоклаз-андезитом и андезитом № 30—32 зонального строения, замещенным эпилитом, понзитом и хлоритом. Калиевый полевой шпат сильно пелигризирует, часто в пегматитовом срастании с кварцем. Кварц присутствует в двух генерациях — более ранний находится во взаимном прорастании с калиевым полевым шпатом, более поздний в виде ксеноморфных зерен выполняет промежутки между другими минералами. Гранодиориты, обнажающиеся в уступе 20-метровой морской террасы, представляют собой мелкозернистые лиловато-серые порфириты. Вкрашеннники представлены олигоклаз-андезитом лабрадором № 50 зонального строения размером до 2 ми. Основная масса сложена калиевым полевым шпатом, кварцем и биотитом с включениями магнетита, сфена и апатита. Кварц образует мелкие черепахобразные вrostki в калиевом полевом шпата.

Граниты (Urg_{g}) встречаются на двух участках к северу и северо-западу от горы Джари, вскрываясь из-под покрова базальтов кизинской свиты в днищах долин мелких рек.

Граниты мелкозернистые, лиловато-серые, биотитовые, имеют следующий минералогический состав: калиевый полевой шпат — 40%, плагиоклаз — 25%, кварц — 20% и биотит — 15%. Плагиоклаз, представленный олигоклазом-андезитом, более идиоморфен по отношению к зернам калиевого полевого шпата и кварца. Биотит, как правило, ассоциируется с магнетитом. Редко в нижнекарпинской группе присутствует зеленая роговая обманка. Аксессорные минералы представлены цирконом и сфееном. Вторичные минералы сложены скоплениями мелких зерен пелтизионированного альбита. Структура породы гипидоморфическая.

К группе жильных образований, секущих породы позднепалеогенового комплекса, относятся диорит-порфиры (ди), дациты (д) и аплиты (ап). Они слагают даики и жили мощностью от 1 см до 5 м. Наиболее распространенные минералы этой группы — альбит розово-серого и розового цвета, по своему

облику и составу сильно напоминающие аплиты р. Камку. С ними связаны малогабитные прожилки, чаще всего сплошные, выполненные кварцево-полевошпатовым веществом. Зальбановые участки прожилков обогащены нгольчаитом, эпилитом и турмалином, образующими розетки диаметром от 0,4 до 1 см.

В ассоциации с ними наблюдаются листочки столов (хлорита) яркого голубовато-зеленого цвета. Мощность эпилитово-турмалиновых прожилков колеблется от 1 до 10 см, размер включения 10 × 20 см.

Однослойный возраст описываемого комплекса устанавливается на том основании, что у северного ограничения бухты Гроссевичи в обрыве 12—20-метровой морской террасы гранодиорит-порфиры горы Джари прорывают зеленовато-серые андезиты Кузнецковской свиты. Андезиты на контакте ороговикованы и пронизаны жилами сильно измененных гранодиорит-порфиров, в тонких прожилках имеющих аплитовый облик.

На юго-западе бухты Гроссевичи в основании толщи плотных черных базальтов кизинской свиты состоящими из слабо окатанных обломков тех же гранитов и андезитов, заляженных в основании толщи плотных черных базальтов кизинской свиты.

К неогеновому интрузию относятся массивы кл. Мишунина и Степановской Речки, а также несколько куполовидных некков в бассейне р. Начага, на левобережье р. Коппи, вблизи устья Салали, и в правом борту долины р. Мулла.

Массив кл. Мишунина площадью около 20 км² прорывает туфогенно-осадочные и эфузивные образования кузнецковской и куучинской свит и перекрывает базальтами и андезито-базальтами кизинской свиты.

Несогеновые интрузии

Формирование интрузий происходило на незначительной глубине и в несколько этапов, в каждый из которых втедряющаяся незначительная порциямагмы вступала во взаимодействие с ранее раскристаллизовавшейся. Это обусловлено появление целой гаммы переходных разностей от габбро до гранитов. Наличие крупно- и неравномернозернистых структур в габбро и кварцевых уралитовых габбро, неравномерное сочетание таких минералов, как кварц и основной плагиоклаз (лабрадор), значительно более интенсивный метаморфизм основных разностей пород, а также многочисленные инъекции гранитной магмы в диориты и гранодиориты, — все это свидетельствует о гибридном характере этих пород.

Кратко приведем описание выделенных разностей интрузии кл. Мишунина. Рогово-обманковое габбро наблюдается на незначительной площади в западной части массива. Это средне- и крупнозернистые породы, состоящие из плагиоклаза (лабрадор № 65) — 75% и роговой обманки — 25%. Плагиоклаз интенсивно сосортизирован. Роговая обманка замещена хлоритом. В незначительном количестве присутствует рудный минерал. Структура ойтовая.

Проксени-рогово-обманковое кварцевое габбро представляет собой крупнозернистые темно-серые породы, состоящие из плагиоклаза (лабрадор № 56) — 55—60%, пироксена — 10%, роговой обманки — 15%, кварца — 3—5%. Отмечается значительное содержание рудных минералов замещены уралитом и хлоритом. Структура габбровая.

Карпинское уралитовое габбро. Состоит из плагиоклаза (основного андезина) — 80%, обманкового габбро. Состоит из плагиоклаза (основного андезина) — 80%, уралита — 12%, кварца — 5% и рудного минерала — 3%. Плагиоклаз присутствует в виде идиоморфных кристаллов призматической формы. Отдельные кристаллы его замещены эпилитом и понзитом. Уралит развивается по пироксenu и наблюдалась в ассоциации с хлоритом, эпилитом и понзитом.

Диориты ($\text{D}_{\text{v}}^{\text{g}}$) и варфельы диориты встречаются довольно

редко. В их составе наблюдаются плагиоклазы (андезин № 38—42) — 40—55%, роговая обманка — 25—30%, калиевый полевой шпат — 10—15%, кварц — 10%. Аксессорные минералы: циркон, апатит.

Гранодиориты (УДН?) роговообмаковые и биотит-роговообмаковые серые и зеленовато-серые среднезернистые породы, состоящие из птигоп-кварца — 40%, кальевого полевого шпата 10—15%, кварца — 20%, роговой обманки и биотита — 20%, рудного минерала — до 5%.

Планоклаз — представлен андезином и андезин-олигоклазом № 28—32 зонального стояния, интенсивно эпидорилизованным и хлоритизированным. Кальевый полевой шпат обычно наблюдается в пегматитовом срастании с кварцем.

Роговая обманка находится в реакционном срастании с биотитом, интенсивно замещена хлоритом. Структура гранодиоритов глинисто-карбонатная, в некоторых разностях порфиритовая.

Состоит из птигоклаза (олигоклаза № 25—27) — 15—25%, кальевого полевого шпата — 35—50%, кварца — 30% и роговой обманки. Кальевый полевой шпат в пегматитовом срастании. Роговая обманка местами почти наполовину замещена хлоритом.

Жильные породы представлены многочисленными мажомощими¹ (от 1 см до 1 м) жилами розово-серых аплитов, а также базальтов (β) и андезито-базальтов (αβ).

Контактовые изменения вмещающих пород проявляются не всегда достаточно ясно и с разной степенью интенсивности. Они выражаются в окварцевании, потемнении и уплотнении пород с последующим баложением процессов хордитизации и эпидоризации.

Наиболее молодыми экструзионными образованиями района являются некий дайков и линиарии, прорывающие андезито-базальты кайзинской свиты. Некие незначительные по площади, самый крупный из них в бассейне р. Начага имеет площадь не более 1,5 км². Для них характерны крутое и вертикальные контакты и широкое развитие в приконтактовой части туфоагломератов и лавобрекчий, заключающих в себе обломки вмещающих пород.

Результаты химических анализов интрузивных образований всех трех комплексов приведены в табл. 2.

Среди интрузивных образований раннепалеогенового комплекса четко различаются две естественных ассоциации. Первая, соответствующая диоритам, кварцевым монцонитам и кварцевым диоритам, характеризуется нор-мальными составами, приближающимися к среднему составу подобных пород по Дэли. Отдельные их разности обогащены глиноzemом при совместном увеличении фемилической составляющей. Вторая группа, соответствующая образованием Биюлинского интрузива, обнаруживает заместное пересыщение глиноzemом. На диаграмме она занимает промежуточное положение от кварцевых диоритов до аляскитов. От средних составов по Дэли более основные разности отличаются некоторой недостаточностью при преобразовании К нал. №.

Аналisis гранит-порфиров третьей фазы среднепалеогенового комплекса указывает на близость их химического состава к таковому гранитов Биюлинского интрузива.

Породы позднепалеогенного интрузивного комплекса характеризуются нормальными составами, соответствующими гранодиоритам и кварцевым диоритам. В отдельных разностях наблюдается обогащение шелочами за счет увеличения содержания кальция.

В гранитах и гранодиоритах Мишунинской интрузии отмечается некоторая перевесленность глиноzemом и магнезием, что, по-видимому, связано с асимилиацией магматом вмещающих пород.

Для гранодиоритов и гранитов м. Пуна и горы Джары характерно обогащение кальцием и магнием.

ТЕКОНИКА

По представлениям Г. Н. Кропоткина, западная часть описываемого района расположается в пределах Главного синклиниория Сихотэ-Алиня.

Восточная часть, сложенная кайнозойскими вулканогенными образованиями, относится к Приморской зоне кайнозойской складчатости.

Тектоническое строение района характеризуется наличием двух структурных этажей, разделенных перегородкой в осадконакоплении и четко выраженным угловым несогласием.

В строении нижнего структурного этажа (складчатого фундамента) принимает участие верхнее метровой осадочной комплекс пород, собранный в систему линейных складок северо-восточного простирания.

Берхний структурный этаж (эфузивный чехол) включает верхнемеловые и кайнозойские вулканогенные породы, образующие систему брахиструктур, ориентированных в субширотном направлении.

В лагах блокантиклиналей вскрытые ракин- и позднепалеогеновые интрузии и отложения складчатого фундамента.

Вулканогенные образования неоген-четвертичного возраста складчатыми дислокациями почти не затронуты.

НИЖНИЙ СТРУКТУРНЫЙ ЭТАЖ

Отложения ларгасинской серии и удомлинской свиты представляют собой образования флишильного типа с преобладанием в разрезе тонкообломочных пород. Их суммарная мощность более 2000 м. Породы слиты в систему линейных складок северо-восточного и северо-северо-восточного простирания. Падение пород на крыльях складок 60—80°, иногда отмечается опрокинутое залегание. Периклинальные и особенно центроклинальные замыкания отмечаются резким выплаживанием столов, углы падения на этих участках не превышают 15—20°.

Крылья крупных складок осложнены складками последующих порядков, интенсивно перекрывающими, а болиши разрывных нарушений раздроблены. Главные структуры складчатого фундамента в пределах района следующие:

1. Иолинская антиклиналь
2. Индийская антиклиналь
3. Салали-Коппинская антиклиналь
4. Кальминская синклиналь
5. Камку-Дыкоминская антиклиналь
6. Булинганская синклиналь
7. Антиклиналь Уганного ключа

Иолинская антиклиналь расположена в северо-западной части района, между притоками р. Коппи — пр. Иоли и Инда. В ее ядре обнаруживаются породы ларгасинской серии, а крылья склонов отложены отложениями удомлинской свиты. В центральной части структура осложнена асимметричной синклиналью, запрокинутое северо-западное крыло которой пересечено разрывным нарушением, параллельным простиранию структуры. Простирание Иолинской антиклинали СВ 40°. Она заходит на территорию листа М-54-ХХХII с юго-запада и погружается в северо-восточном направлении близ северной рамки листа.

Индийская синклиналь в пределах листа протягивается на 20—25 км. Сложена осадочными породами удомлинской свиты. Как юго-западные, так и северо-западные центроклинальные окончания пахотятся за пределами района. Ось синклинали погружается в северо-восточном направлении. Восточное крыло осложнено небольшой антиклинальной складкой, ориентированной параллельно оси синклинали.

Кальминская синклиналь находится в правобережье р. Коппи близ западной рамки листа. В юго-западном направлении структура прослеживается за пределы листа. Северо-восточное окончание ее скрыто под щелом верхнелюбых и кайнозойских вулканогенных толщ. Восточное крыло прорвано Кальминским гранитным массивом.

¹ Сделано было выделено три структурных этажа. Включение совмещен склон, залегающей практически горизонтально в верхнем структурном этаже, предложено оправдано. — Прим. ред.

Таблица 2

Данные силикатных

анализов интрузивных пород

Название пород	Название массива, местонахождение, автор и год	Возраст патруний	Химический состав (весовые количества)											
			SiO ₂	TiO ₂	Al ₂ O ₃	Fe ₂ O ₃	FeO	CaO	MgO	MnO	Na ₂ O	K ₂ O	P ₂ O ₅	H ₂ O
1. Кварцевый диорит	(А. Б. Разжигин, 1954 г.)	Гранитолито-новый	64,66	0,19	16,17	1,30	4,06	4,40	1,81	0,03	3,24	3,47	0,1	
2. Гранодиорит (мон- ционито-гранодиорит)	Бассейн р. Копли ниже уступа р. Камку (А. Б. Разжигин, 1954 г.)	То же	64,22	0,74	15,56	2,16	3,23	3,14	2,10	0,10	1,73	4,97	0,14	2,42
3. Гранит лейкократо- вый	Бассейн р. Йокома (А. Б. Разжигин, 1954 г.)	" "	71,3	0,11	16,0	0,09	0,56	0,9	0,31	0,01	4,18	4,79	0,03	0,13
4. Гранит	Бассейн р. Иха, устье Чаба Бассейн р. Копли (А. Б. Разжигин, 1954 г.)	" "	72,52	0,09	14,39	0,7	1,0	1,72	0,84	0,02	4,03	3,18	0,12	—
5. Гранит	Бассейн р. Инды	" "	76,90	0,10	12,25	1,25	—	0,52	0,12	0,02	0,80	8,10	—	0,46
6. Гранит-порфир	Бассейн р. Конни, устье р. Санку	" "	77,10	0,09	13,16	0,48	0,71	0,16	0,14	0,07	3,50	4,42	—	—
7. Грейзенизирован- ный гранит	Бассейн к. Мойсес (А. Б. Разжигин, 1954 г.)	" "	71,26	0,18	17,06	2,41	0,51	0,12	0,53	0,007	0,36	5,01	—	—
8. Гранит	Межгоречье р. Копли и быв дюорит (Э. П. Изюх, 1959 г.)	Позднепалеогеновый	74,2	0,20	13,20	0,63	0,59	1,39	0,96	0,05	3,60	4,20	0,02	0,52
9. Кварцевый сиенито- диорит	То же	64,42	0,67	14,85	4,66	2,54	5,23	2,70	0,15	2,36	3,62	0,12	—	
10. Гранодиорит	" "	66,19	0,54	13,78	3,32	1,89	4,34	2,21	0,10	3,25	3,35	—	0,06	
11. Гранит	Бухта Гуна (А. Б. Разжигин, 1954 г.)	То же	71,70	0,22	14,04	1,79	1,16	2,22	0,75	0,09	3,83	3,44	—	0,04
12. Гранодиорит	Г. Джари	" "	63,92	0,60	15,85	2,49	2,58	4,14	2,75	0,10	2,83	3,15	0,10	0,46
13. Кварцевый альбогранит	То же	72,15	0,25	12,91	1,52	1,72	0,98	0,33	0,44	3,52	5,12	0,069	0,13	
14. Кварцевый олигоклазит	" "	63,15	0,75	14,61	2,58	4,42	3,68	1,80	0,1	4,04	3,80	0,23	—	
15. Гранит	" "	70,85	0,15	13,43	2,17	0,93	4,25	0,4	0,02	3,04	4,73	0,1	—	
16. Гранодиорит	Бассейн к. Мишунин	Миоценовый	63,28	0,60	15,92	3,28	2,36	3,68	2,23	0,10	3,10	2,90	0,09	1,39
17. Гранодиорит	То же	66,92	0,44	15,77	1,89	1,18	2,30	2,17	0,12	3,65	3,15	0,18	1,53	
18. Гранит	(А. Б. Разжигин, 1959 г.)	" "	72,40	0,24	13,37	0,86	0,81	0,92	0,72	0,06	3,52	5,30	0,02	0,67

Продолжение табл. 2

Название породы и место взятия	Числовые характеристики по А. Н. Заваринскому												
	a	b	c	s	a'	b'	m'	c'	n'	g	t	a/c	Q
1. Кварцевый диорит. Ср. течение кл. Угарный													
2. Гранодиорит р. Коппи, ниже устья р. Камку	11,0	11,3	3,1	7,41	21,7	46,3	32,1	—	40	16,7	0,8	3,6	12,3
3. Гранит лейкократовый бассейн р. Дякома	15,3	4,3	0,9	80,1	75,7	13,3	10,6	—	56,3	28,9	0,07	17,0	28,1
4. Гранит Иха, устье Хаба	14,5	4,6	2,1	78,7	6,1	67,8	26,1	—	72,5	24	0,45	6,9	26,9
5. Гранит аляскитовый р. Коппи	12,9	2,8	0,6	83,7	56,3	35,6	8,1	—	13,1	35,0	0,08	—	—
6. Гранит-порфир бассейн р. Инды	13,21	4,2	0,2	82,4	69,2	24,6	6,1	—	54,3	9,2	0,08	70	38,2
7. Грейзелизированный гранит р. Коппи, устье р. Санку	7,43	16,75	0,12	75,7	82	14	4,9	—	10,3	11,4	0,25	62	36,4
8. Гранит бассейна кл. Монсеева	12,9	2,9	1,7	78	9	35,0	55,7	—	56,3	18,5	0,24	7,6	33
9. Кварцевый сенито-диорит Ййский массив	10,52	12,11	4,85	72,52	—	54,3	38,2	7,43	50	30,2	0,7	2,2	19,15
10. Гранодиорит Ййский массив	11,83	10,43	3,16	74,58	—	44,5	35,5	20	60,0	27,0	0,6	3,7	22,34
11. Гранит Ййский массив	13,28	3,95	2,55	80,22	—	66,1	32,2	1,7	63,1	37,3	2,5	5,2	31,33
12. Гранодиорит Бухта Пуна	10,6	9,5	6,2	74,5	—	49,6	48,9	56,8	57,6	23,02	73,5	2,0	21,8
13. Кварцевый альбитит	14,2	11,4	2,6	71,8	—	56,6	26,7	16,7	62	19,0	1,0	5,4	12,6
14. Кварцевый олигоклазит р. Джари	14,8	3,4	1,1	80,7	—	82,7	15,4	2,0	51,1	34	0,3	13,4	30,7
15. Гранит г. Джари													
16. Гранодиорит Мишунинская интрузия	11,2	10,4	4,5	73,7	13,3	1,5	36,6	—	61,7	28	1,5	2,4	20,7
17. Гранодиорит Миннунинская интрузия	12,4	9,4	2,7	75,4	31,8	29,4	38,8	—	64,1	17,2	0,3	4,5	23,4
18. Гранит Мишунинская интрузия	15,04	2,9	1,07	84,5	13,6	47,7	38,6	—	50	45,4	14,0	14,0	34,3

Саяано-Колпинская антиклиналь расположена в северо-западной части района. Ее протяженность в пределах листа около 30 км. К северу от горы Инда она уходит за его пределы. В долине р. Коппи намечается крутое перекрестное погружение структуры. Породы на этом участке разбиты многочисленными нарушениями, к которым приурочена серия даек.

40 км при максимальной ширине около 15—20 км.

В юго-западной части к ее ядру и западному крылу приурочены выходы Кальминского и Бялюлинского интрузивных массивов. В направ-

лении с юго-запада на северо-восток ось структуры меняет направление с субгоризонтального на северо-восточное. Ядро и частично северо-западное крыло осложнены разрывным нарушением, по которому с тонцей алевролитами, выходит песчаники удомлинской свиты, залегающие в ядре Кальминской антиклинали. В бассейне р. Камку в ядре структуры обнажаются породы лагасинской серии.

Буничинская синклиналь на западе соприкасается с Камку-Бялюлинской антиклиналью. Она почти полностью уничтожена широко развитыми породами Удолинской свиты, смытыми разрывным нарушением, и слагающими ее осадочные породы структурного этажа. Простирание структуры северо-восточное.

Ядро антиклинали **Угарного клона** обнажается в юго-восточном углу листа М-54-ХХХII и сложено алевролитовой толщей лагасинской свиты. По редким выходам пород складчатого фундамента из пола молодых вулканогенных образований она прослеживается до ее пересечения долиной р. Ботчи, где окончательно погружается под породы верхнего структурного этажа. Ее простирание, как и всех структур складчатого фундамента, северо-восточное.

Значительная часть нарушений, установленных в осадочных отложениях (на карте большинство из них не показано) не имеют продолжения в поле интрузивных массивов и в эфузионном чехле.

В датское время и в кайнозое движение по некоторым из них возобновлялось. Нарушения сбросового характера, возможно, какая-то незначительная часть их надвигового типа. По нарушениям происходило перемещение отдельных блоков по очень крутym (70 — 90°) смещителям с амплитудой до первых сотен метров.¹ Очень широко развиты мелкие сбросы с амплитудой до нескольких метров, которые отчетливо выражены в обнажениях в долине р. Коппи.

ВЕРХНИЙ СТРУКТУРНЫЙ ЭТАЖ

Верхний структурный этаж обеляют все более молодые верхнепелевые и кайнозойские вулканогенные образования порфировой и базальтовой формации. По степени тектонической нарушенности и проявлению складчатых процессов в пределах верхнего этажа выделены три структурных яруса.²

Нижний ярус представлен вулканогенными образованиями ольянской серии, самаргинской свиты и толщи кислых эфузивов, принимающих основное участие в строении брахиструктур. С этим структурным ярусом тес-

¹ Амплитуда смещения определялась обычно по разнице абсолютных

² Многие авторы (Г. И. Красный и др.) указывают на ведущую роль глыбовых, а не брахи складчатых структур в тектонике верхнего структурного этажа.

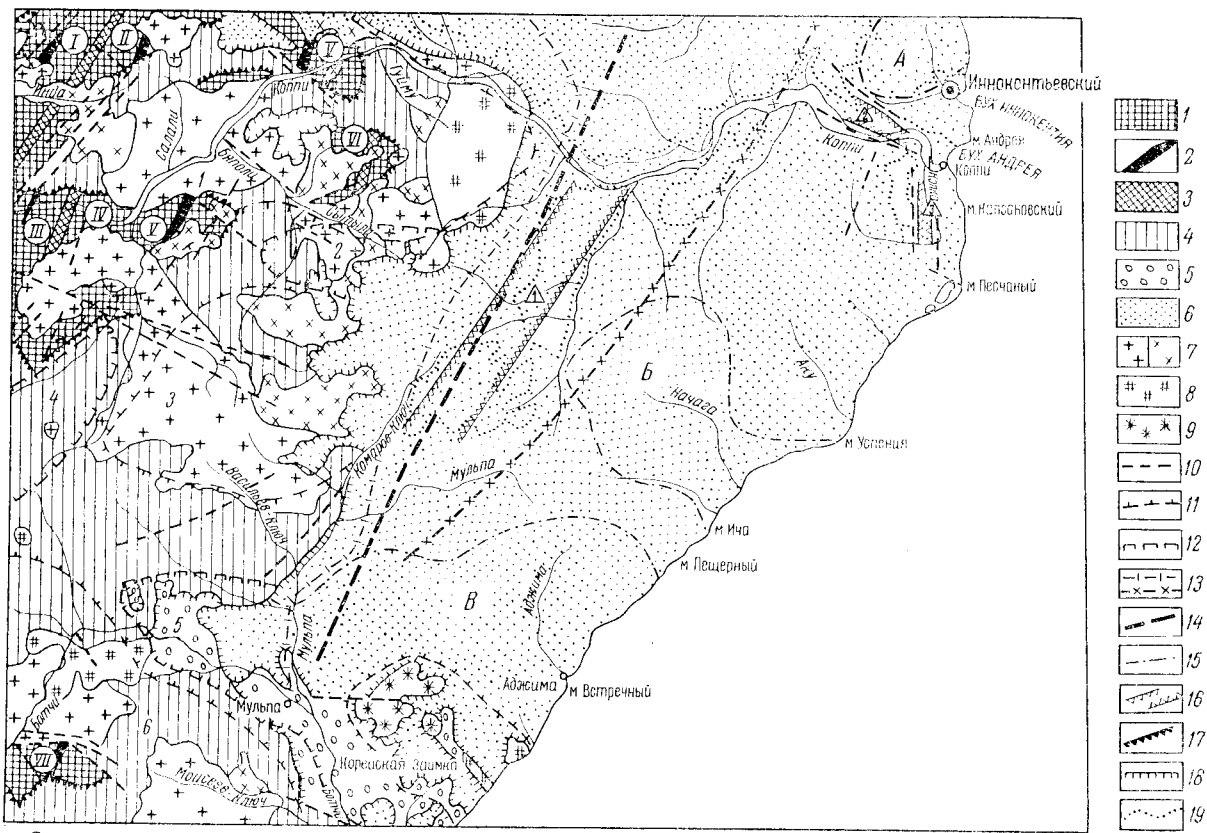


Рис. 1. Тектоническая схема

Тектонические элементы нижнего структурного этажа: 1 — выходы пород нижнего структурного этажа (верхнеледниковые осадочные породы ларгасинской и улдоминской свит) в размытых ядрах брахиантеклинальных структур, 2 — антиклинальные структуры (утолщение знака означает воздымание шарнира), 3 — синклинальные структуры (утолщение знака означает погружение шарнира). **Структуры (I—VII):** I — Иолинская антиклиналь, II — Инданская синклиналь, III — Салали-Коппинская антиклиналь, IV — Кальминская синклиналь, V — Камку-Дякоминская антиклиналь, VI — Бувичинская синклиналь, VII — антиклиналь Угарного ключа.

Тектонические элементы верхнего структурного этажа: 4 — сенон-палеоценовый структурный ярус (средние эффиузины самаргинской свиты, кислые эффиузины ольгинской серии, кислые эффиузины Pg,?), 5 — эоцен-нижнемиоценовый структурный ярус (эффиузины кузнецковской свиты и кислые эффиузины кхудинской свиты); 6 — миоцен-четвертичный структурный ярус (основные эффиузины кизинской свиты и соваванской свиты, 7 — интрузии основного, среднего и кислого состава (раннепалеогеновые), 8 — интрузии позднепалеогеновые, 9 — неогеновые интрузии, 10 — установленные и предполагаемые разрывные нарушения. **Структуры (I—VII):** 1 — Салали-Гуминская брахиантеклиналь, 2 — Юонкинская брахиантеклиналь, 3 — Водораздельная брахиантеклиналь, 4 — Дякоминская брахисинклиналь, 5 — Ботчинская брахисинклиналь, 6 — Мойссевская брахиантеклиналь, 7 — Мишунинская брахиантеклиналь. **II** — брахиантеклиновые структуры; 12 — брахисинклинальные структуры; 13 — граница Топты-Мульгинского прогиба и его наиболее прогнутой части; 14 — предполагаемая зона нарушений, отделяющая Топты-Мульгинский прогиб от системы брахиструктур западной части района; 15 — частные поднятия, Аджиминское поднятие. **Блоковые опускания (грабены)** в пределах Топты-Мульгинского прогиба: 16 (1—3) — Топтынский грабен, Коппинский грабен, Колкинский грабен.

Прочие тектонические элементы: 17 — границы между структурными этажами; 18 — границы между структурными ярусами; 19 — контуры плато

нейшим образом связаны раннепалеогеновые интрузии, приводящие чаще всего к ядрам брахиантеклиналей.

Вулканогенные образования кузнецкой и кхудинской свит составляют средний структурный ярус верхнего этажа. Сни сдвигают главным образом крылья и мульды брахисинклиналей. Между образованиями нижнего и среднего структурных ярусов устанавливается значительный перерыв и несогласие. К Верхнему структурному ярусу отнесены образования кизинской и соваванской свит, характеризующиеся очень слабым проявлением складчатых дислокаций, выражаются в слабом короблении слоев, причем образования соваванской свиты, выполняющие депрессии неогенового рельефа, залегают практически горизонтально.

В пределах западной части территории выделяется серия брахиструктур, сопряженных между собой. Восточнее, примерно по линии Мульда — въёй в кайнозое был сформирован очень крупный асимметричный постточечный Топты-Мульгинский синклинальный прогиб. Его круглое западное крыло на участках погружения брахиантеклинальей под покровы вулканогенных образований верхнего структурного яруса, простираясь по полотнистому разлому, прятано под крыльем, и бронировано вулканогенными образованиями (на тектонической схеме он предположительно показан).

Очень слабое проявление вулканизма в эоцене и в миоцене в западной части района также следует называть брахиструктурами. Однако это значительно более плавные складки с очень пологим падением пород на крылья. Чтобы подчеркнуть эти особенности, они имются в тексте и на тектонической схеме.

1 Плайкавийные формы в восточной части района также следуют называть брахиструктурами. Однако это значительно более плавные складки с очень пологим падением пород на крылья. Чтобы подчеркнуть эти особенности, они имются в тексте и на тектонической схеме.

Таким образом, в пределах верхнего структурного этажа представляется возможным выделить две структурно-фашиальные зоны — западную (с тенденцией к поднятию) с развитием брахиструктур и восточную (длительно прогибающейся), характеризующуюся развитием субмеридионального синклинального прогиба, наложенного на брахискладчатые структуры, выполненного образованьями базальтовой формации.

В южной и западной частях листа нами выделены следующие брахиструктуры:

1. Салали-Гуминская брахиантиклиналь

2. Уюниканская брахиантиклиналь

3. Водораздельная брахиантиклиналь

4. Дякоминская брахиантиклиналь

5. Богчинская брахиантиклиналь

6. Монсеевская брахиантиклиналь

7. Мишунинская брахиантиклиналь

Салали-Гуминская брахиантиклиналь — одна из наиболее крупных складчатых построек района, проходящая в широтном направлении от бассейна р. Инда на западе, уходя в это же направление за пределы района. С юго-востока она сопряжена с Уюниканской брахиантиклиналью, которая отделяет ее от Водораздельной брахиантиклинали, расположенной в междуручье Колпи и Богчи. В южных р. Дякоминской она сопряжена с Дякоминской брахиантиклиналью.

В ядре Салали-Гуминской брахиантиклинали находятся крутое осадочные породы складчатого фундамента и обнажаются крутое вулканогенные образованиями массив. Северное крыло антиклинали сложено вулканогенными образованиями северо-западной свиты и базальтами кизильской свиты.

В бассейне р. Ый отмечается восточное периклинальное окончание структуры, круто погружающейся под кайнозойские базальтовые толщи. Диагонально-пересеченная серия разрывных нарушений выходят на северо-западный про-

стирания, к которым приурочена серия лаек, связанных с верхнепалеозойским палеоценовым эфузивным комплексом. Салали-Гуминская и Богчинская брахиантиклинали имеют много общих черт в строении, особенно две последние. Это ставившееся узкие структуры (с шириной в поперечнике около 10–15 км) с крутыми падениями пород на крыльях и сравнительно пологим залеганием в мульдах. Дякоминская брахиантиклиналь заходит в прелепы листа лишь своей северо-западной частью. Структура сформировалась в палеоцене.

Уюниканская брахиантиклиналь имеет субширотную ориентировку с погружением к востоку в направлении Топты-Мульгинского района. Водораздельная брахиантиклиналь имеет куполовидную форму с выходом в ядре южной части листа Белоглинского массива. Ее размер в поперечнике в ядре южной части листа Белоглинского массива восточного обнажается в юго-западном периклинальном окончании около 20 км. Четко выражено пологое юго-западное периклинальное окончание. Монсеевская брахиантиклиналь заходит с юго-запада в прелепы листа. В западной части ядра структуры выходят осадочные отложения западной серии, в восточной обнажается крупный грашитовый массив р. Монсеев Клооч.

Мишунинская брахиантиклиналь находится в восточной структурно-фашиальной зоне и ее можно рассматривать как брахиструктуру, вытянутую в ядре крупного Аджиминского поднятия, осложненного на юге Топты-Мульгинской пропти. Брахиантиклиналь имеет куполовидную форму, несколько асимметрична в плане с размежевыми листами. В ядре выходят эфузивные образованиями кизильской и кхудинской свит и интрузии верхнепалеогенового и неогенного возраста.

Топты-Мульгинский наложенный промыв ориентирован диагонально по отношению к направлению брахиструктур верхнего структурного этажа. Некоторая перестройка структурного плана тем не менее не привела к формированию принципиально новых складчатых структур, поэтому неоген-чет-

вертичные вулканогенные образования в самостоятельный структурный ярус (а не этаж) в пределах верхнего структурного этажа. Ориентировка пропти параллельно направлению морского побережья обусловлена серией разрывных нарушений, которые следует рассматривать как опускющие Восточно-Саяхет-Алинский глубинный разлом, проходящий вдоль побережья в пределах Гагарского пролива.

Как активный тектонический элемент Топты-Мульгинский разлом проявляется с середины палеогена и особенно в неогене. К нему приурочены балластовые пачки восточной половины кайнозоя. Его влияние обусловило асимметрию пропти. Западное крыло на всем протяжении сохраняет флексуированный перегиб, обтекая брахиструктуры, сложенные интрузивными породами и эфузивными образованиями нижнего структурного яруса.

Частные полинии в прелепах Топты-Мульгинского пропти восточной половины обнажаются на его пологом восточном крыле, выражены главным образом на его склоне. Наиболее распространены они в южной части разреза кизильской свиты. Не исключено, что некоторые из поднятий, как например, Начатинское и особенно Аджиминское, являются участками, о чем можно судить по вскрытому в их ядрах эфузивному кизильскому и кхудинской свите. Наиболее часто заходят в прелепы листа лишь реки Мульла и Богчи, что породы в мульде опущены по продольным сбросам и выполняют структуру граббонового типа. Аналогичные структуры по аэрофотоснимкам устанавливаются в устье р. Колпи и в долине р. Колпа.

Наряду с пликативными структурами существенная роль в текtonике верхнего структурного этажа принадлежит разрывным нарушениям, среди которых можно выделить нарушения, связанные с формированием Сибог-Алинского сводового поднятия, а также нарушения, связанные с формированием и ростом отдельных брахискладок.

Развитие нарушений, связанных с ростом сводового поднятия, имеет для преобладающих направлений, взятое пересекающихся под углом, облизким к прямому. Одни из них, продольные по отношению к своду, северо-восточного простирации были заложены, по-видимому, еще в складчатом фундаменте и потом движение по ним лишь возобновлялось, о чем можно судить по брахиуризованным зонам, часто большой мощности (например в бассейне р. Инда). Амплитуда перемещений по этим нарушениям несколько сотен метров, причем смещения, как правило, кругопадающие ($70\text{--}80^\circ$), близкие к вертикальным. Они сопровождаются зонами дробления и выходами гидротермально измененных пород. К ним часто приурочены дайки.

Развитые нарушения северо-западного простирания по времени заложены более молодые. Они небольшой амплитуды, как правило, залегают на лайках. К ним приурочены мелкие субвулканические тела. На отдельных участках по нарушениям северо-западного простирания выработана долина р. Колпи.

Развитые нарушения, связанные с отдельными брахиструктурами, многочисленны, но из-за их ограниченной протяженности и небольшой амплитуды многие из них не нашли отражения на геологической карте. По происхождению это трелины расстяжения, связанные с формированием отдельных брахиантиклинальных структур, по морфологии — сбросы. К областям развития брахискладчатых структур (ее восточной части), приурочена зона развития метких нарушений северо-восточного простирации, проявляющиеся членением весь лист. К этой зоне приурочены гребенчатые участки, сопоставляемые с альтитовыми лаек, пироксенами. Возможно, в данном случае можно говорить о внешних признаках грудинного разлома, выраженного морфологически. Характерно, что Топты-Мульгинский разлом ориентирован параллельно этой зоне. К погоне этих нарушений приурочены наиболее крупные линейновыпуклые пагнистые аномалии (Бейман и Кудришов 1956).

Наиболее молодые по возрасту нарушения в районе широтного и субширотного простирания. Они прекрасно выражены в рельфе, а на аэрофотоснимках фиксируются даже в поле согаванских базальтов. В южной части

некоторые из них характеризуются большой амплитудой смещения (по сбросу в долине р. Минунин Ключ эта амплитуда, определенная по разности абсолютных отмечений подошвы кизинских базальтов, достигает 350 м). Наружение в долине р. Угенный Ключ прослеживается на значительную глубину, о чем свидетельствуют выходы термальных вод в зоне этого нарушения в устье р. Угенный Ключ.

Историю геологического развития района можно проследить с верхнемелового времени. Формирование в сеномане и туроне отложений флишового типа с преобладанием в разрезе тонкообломочных разностей, а также органические остатки (аммониты, кораллы, пелепиты) позволяют предположить, что осадконакопление происходило в пределах мелководного побережья открытого морского бассейна вблизи равнинного побережья. Появление в разрезе линз контровертаторов со слабо окатанными обломками и обогащенных органическими известниками указывает на интенсивные тектонические движения в прибрежной зоне.

Почти полное отсутствие тuffолитенного материала в составе осадков, столь характерное для верхнемеловых осадочных отложений Сихотэ-Алиня, склонно свидетельствовать о том, что вулканизм в районе и близлежащих участках начал проявляться значительно позже, с сеноман-латского времени.

Благодаря интенсивным восходящим движениям в районе северо-морские условия на юге сменяются континентальными. В конце датского века континентальные условия устанавливаются и на севере. В ходе поднятия завершилось оформление складчатых структур нижнего структурного яруса и разрывных нарушений, связанных с ним. Геосинклинальный этап разделяется концом. После замыкания геосинклинали по-прежнему ведущим остаются положительные движения. Как главный структурный элемент постгосинклинального этапа формируется Сихотэ-Алинское сводовое поднятие, причем определяющий район располагается на восточном его крыле. Возникшие напряжения, связанные с ростом сводового поднятия, внедрение интрузий и формирование орахискладок привели к возникновению разрывных нарушений в верхнем структурном ярусе. Вероятно, продольные по отношению к своду нарушения явились унаследованными от предыдущего геосинклинального этапа.

Верхнемеловой палеогеновый этап развития является переходным этапом для складчатой области — от геосинклинального к платформенному¹. Он характеризуется накоплением мощных вулкагенетических толщ (порфировая фация, по С. А. Салуну, 1957). В историческом развитии вулканической деятельности четко устанавливается закономерность, выражаяющаяся в смене личной последовательности, выражающейся в циклическом повторении основного состава кислыми.

Наиболее интенсивная вспышка вулканизма характерна для сеномана и датского века и начала палеогеновый эпохи. Обилие пирокластических продуктов и туфолов свидетельствует о центральном типе извержений. С окончанием вулканической деятельности произошло впервые внедрение интрузий среднего, а затем кислого и ультракислого состава. Часть интрузий раннего этапа является коматитическими и упомянуты по отношению к эффузивам.

В нижнем эоцене происходила интенсивная денудация складчатой страны, вскрытые раннепалеогеновых интрузий, на размытую поверхность которых излились эффузивы кузнецкой свиты.

Эоцен-нижнемиоценовый вулканизм проявился, главным образом в бассейне р. Боготи. Вулканические извержения этого этапа, также как и центрального (кислые туфы низов кузнецкой свиты и диапариты кузнечинской свиты) или центрально-тройничного типа (гавы и проклады верхней части разреза кузнецкой свиты). Одновременно с вулканическими извержениями на границе палеогена и неогена в заливах озерных волоях проходило накопление тонких пирокластических пролуктов, из которых

образовались олочки. С этим этапом связано внедрение позднепалеогенового интрузивного комплекса. Пышная растительность этого отрезка времени свидетельствует о влажном умеренно-теплом климате в условиях горной страны с сильно расщепленным рельефом и абсолютными превышениями до 2000 м» (Р. З. Генкин).

С начала неогена, а, возможно, несколько ранее, интенсивные тектонические движения проходят в области, занятой сейчас волнами Татарского пролива, в зоне Восточно-Сихотэ-Алинского структурного шва и отвечающих ему нарушений. Окончательно оформляется абрис морского побережья, близкий современному. В миоцене происходит интенсивная вспышка вулканизма, в результате чего была залита абрисом синхронные с формированием Топты-Мульгинского прогиба, который как отрицательная структура развила в течение неогена и в четвертичное время. На ранних этапах миоценового вулканизма извержения происходили как на трещинах, так и из отдельных небольших вулканов, возникавших на пересечении разрывных нарушений. В завершающую фазу миоценового вулканизма преобладают трещинные извержения. Впервые между отдельными вспышками вулканизма в унаследованных синклинальных прогибах, а также на месте заливов базальтами долинами национальных вулканов, извергавшихся в настоящее время.

Излияния базальтов соваванской свиты в плиоцене и четвертичный период имеют характер трещинных извержений. Они более интенсивно проявлялись в северной части района и менее в южной. В результате большинство наиболее крупных рекных долин (рр. Колпа, Боготи, Мульга) были залиты базальтами.

Молодые тектонические движения в четвертичное время проявились в формировании узких линейно-вытянутых грабенов, к одному из них присоединена долина р. Колпа.

Мелкоглазистыми геофизическими работами в пределах района установлено, что он расположен в зоне отрицательного магнитного поля с напряжением 0—2000. Некоторые отрицательные аномалии приурочены к ядрам брахинантинклинальных структур.

ГЕОМОРФОЛОГИЯ

Территория листа расположена в пределах восточных отрогов горной области Сихотэ-Алиня. Западная ее часть представляет собой сильнорасщепленное средне- и низкогорье. В прибрежной полосе Татарского пролива простираются низкие горы с оставшими поверхностями древних плато. В северной части территории значительные площи заняты вулканическими плато.

Формирование рельефа произошло в условиях дифференцированных тектонических движений, интенсивного проявления вулканической деятельности и процессов денудации.

По генезису здесь можно выделить следующие категории рельефа: 1) денудационно-тектонический; 2) денудационный; 3) эрозионно-вулканический; 4) вулканический; 5) эрозионно-аккумулятивный и 6) абразионно-аккумулятивный.

Эрозионно-тектонический рельеф в зависимости от степени расщепленности и интенсивности и характера тектонических движений делится на два типа. 1. Рельеф, формирующийся в условиях интенсивных отеконических поднятий, как правило, сильно расщепленное массивное среднегорье, местами с гольцовыми вспышками и в меньшей степени — крутосклонное низкогорье с резкими гребнями водоразделов. Развит в западной части территории листа, а также небольшими участками в прибрежной полосе к востоку от долин рр. Мульга и Топты. Для него характерны значительные абсолютные (до 1400 м) и относительные (250—1000 м) вы-

¹ Многие геологи (М. В. Муратов и др.) считают его заключительным этапом геосинклинального развития.

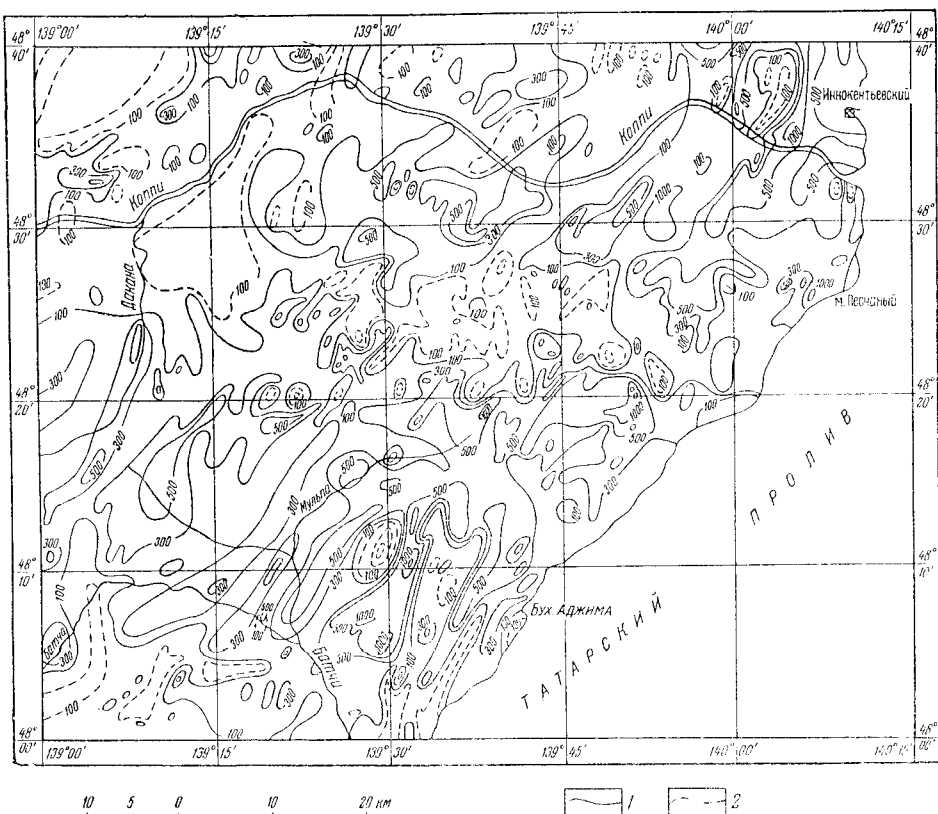


Рис. 2. Карта изолиний Δ Та аэромагнитной съемки (по Л. А. Ривешу и М. А. Добину, 1957 г.)

1 — изолинии положительных значений ΔT_a ;
 2 — изолинии отрицательных значений T_a

Формы рельефа находятся в тесной зависимости от состава горных пород. Так, интрузивные образования обуславливают массивные формы рельефа — широкие слабо выпуклые волообразные с куполообразными вершинами и слабо выпуклыми склонами. Эффузивы, андезиты и дациты самарийской свиты и кварцевые порфирь из горы Кислых Заразунов образуют сильно расщепленные, узкие островерхие, иногда со скалистыми гребнями водоразделы и прямые слабо вогнутые склоны.

К П О Г Р У Ж Е Н ИЮ. Сюда относится плоскогорловинное низкогорье с волнистыми поверхностями водоразделов в районах, прилегающих к долинам рек Мульчи, Топты и Май. Абсолютные высоты колеблются в пределах 400—600 м, относительные 250—300 м.

Денудационный рельеф, сформировавшийся до эпохи четвертичного моря, характеризуется относительно стабильных тектонических условиях, в настоящее время рентгеноевский. Сохранился лишь в виде останцов денудационных поясов (Чемеров, 1961) абсолютной высотой 0—1400 м, наблюдается в пределах развития среднегорного рельефа.

Эрозионно-вулканический рельеф приурочен к районам развития эфироэн-

БОВ КИЗИНСКОЙ свиты. Для него характерна местность с сетью хребтов, стоящих извилистых и сравнительно узких. Местами среди сильно расчлененного рельефа сохранились пологонаклонные андезитовые плато, представляющие собой решетчатые поверхности ранее существовавшего обширного колодца в прибрежной полосе Татарского пролива. Абсолютные отметки здесь — от 100 до 1000 м., относительные — от 100 до 600 м.

Скайской смысли, развитый на левобережье долины р. Колы ниже устья р. Гуму. Поверхность плато плоская, участками слабо волнистая. Эрозионно-аккумулятивные формы рельефа подразделяются на три типа:

а) холмисто-увалистый рельеф дочетвертичных приречных пространств; б) склоны послечетвертичного эрозионного вреза; в) речные террасы. Первый тип развит на правобережье долины р. Мутыча выше устья

клоча Комарова, а также на левобережье р. Копыли ниже Устьи р. Июля и Лжаса. Абсолютные высоты 300—500 м, относительные превышения 50—200 м.

Все вышеописанные ледяные формы рельефа расчетного гидрологического эрозионного зала сформированы в результате четвертичного эрозионного бреза. Долинами, сформированными в результате этого бреза, увеличивается с востока на запад от 100—300 м до 500—600 м.

Речные террасы представлены двумя комплексами. К нижнему комплексу относятся: а) низкая и высокая пойма высотой 0,5—2 м; б) Г-наплощенная терраса высотой до 4 м. Пойма и терраса сложены песчано-гравийно-галечниковыми отложениями, состоящими из

никовым материалом с включенным вантов. Верхний комплекс состоял из серии скользуально-аккумулятивных и скulptурных террас высотой 6–8, 12–15, 20–30, 60 м, 100–120 и 200 м. Аллювиальные накопления этих террас представлены песчано-гравийно-галечниковым материалом с суглинистыми заполнителями. Мощность отложений первых двух террас до 10–12 м, остальных не превышает 3 м.

Абрзузно-аккумулятивный рельеф выражен морскими и аллювиальными террасами высотой 1—4 и 8—30 м. Отложения представляют пять террас, расположенных на склоне и галечной. Мощность отложений 1-й террасы предположительно 7 м, II — до 15 м.

Историю развития рельефа на рассматриваемой территории можно проследить с конца верхнего мела, когда море окончательно регрессировало и территория района была вовлечена в длительное погружение, сопровождающееся интенсивной вулканической и интрузивной деятельностью.

В конце сенонской эпохи сформировалась первоначальный вулканогенный рельеф. В течение нижнепалеогенового времени продолжалось накопление вулканических толщ, а на участках уже сформированного рельефа

господствовали процессы денудации. В течение эпохи и олигоцена эфузивная деятельность значительно ослабевает, и на территории господствуют процессы денудации. Глубина эрозионно-денудационного среза в этот период, исходя из того, что за это время была денудирована кровля раннегеогеновых гранитоидов, составляла не менее 400—600 м. Вулканическая деятельность в эоцене и начате миокена оказала незначительное влияние на формирование рельфа лишь на отдельных участках в бассейне р. Ботчи, где наблюдаются небольшие выходы эфузивов кхунинской и кузнецковской свит.

На остальной территории господствовали процессы денудации. Обломочный материал или сносится в озерные впадины, где в наименее время встречаются выходы туфорогенно-осадочных пород (район станицы рр. Ботчи и Мульбы), или транспортируется в море.

Неогеновый выщканый сильно изменил картину донсогенного рельфа. Изменившиеся лавы преимущественно основного состава (тизинская свита) заслонили прибрежные участки в центральной и восточной частях территории, образовав слегка волнистое плато. Они смутили рельф и нарушили установленный до этого эрозионный режим.

Оживление тектонических движений в неогене, перекрою унаследованных, привело к раздроблению неогенного плато и к выработке основных направлений современной гидрографической сети.

На рубеже неогенового и четвертичного периодов возобновилась вулканическая деятельность, в результате которой лавы основного состава заслонили депрессии и часть днищ пойменовых долин, изменив этим направление течения р. Коппи, ранее впадавшей в Татарский пролив в районе г. Советская Гавань. В то же время происходили наиболее интенсивные дифференцированные колебательные движения, в результате которых западные части территорий в целом оказались поднятыми, а восточные (особенно прибрежная полоса) — опущеными. Потверждением могут служить участки в устье реки р. Коппи и Ботчи, испытавшие погружение, в результате чего поднята движение четвертичного периода привели к образованию серии морских и речных террас.

Поднятие сменилось кратковременными периодами стабильного положения или погружения. Каждый такой этап сопровождался усиленной боковой эрозией и накоплением аллювиальных отложений в долинах рек. Последовавшее вслед затем очередное поднятие вызвало врезание русел в накопленный аллювий. При этом скulptурные и скользящие аккумулятивные террасы никакие, средне и верхнечетвертичного возраста высотой соответственно 40—60 м, 20—30 м, 12—15 м, 6—8 м сохранились от размыва на небольших участках; современные же аккумулятивные террасы высотой 1—4 м (высокая полма) и до 1 м (низкая почва) занимают большую часть днищ речных долин.

В настоящее время побережье Татарского пролива, по мнению Г. С. Гашинца, носит явные следы погружения. Свидетельством этого служат затопленные устья рек, глубоко врезанные в берега бухт, широкое развитие берегов абразионного типа. На фоне общего погружения в наименее время имели место локальные поднятия в районе бухт Гроссеевич и Аджана (Криклий, Дацко, 1948).

ПОЛЕЗНЫЕ ИСКОПАЕМЫЕ

Территория листов М-54-ХХII-ХХIII характеризуется большим разнообразием проявлений полезных ископаемых, среди которых выделяются горючие ископаемые, рудные ископаемые, а также многочисленная группа строительных материалов.

ГОРОЮЧИЕ ИСКОПАЕМЫЕ

Бурый уголь

В правом борту долины р. Коппи в 4 км выше устья р. Топты отмечены выходы бурых углей [18] в форме линзообразных прослоев мощностью 10—15 см, невыдержаных, быстро выклинивающихся по простиранию. Угли темно-бурового цвета, глиничатые, хрупкие, легко разламываются, практического интереса не представляют.

Торф

Наиболее значительные запасы торфа находятся в приступевой части р. Коппи [21], в среднем течении р. Копки [25], а также на правом берегу р. Ботчи у южной границы района [33]. Торф образовался в результате заболачивания затопленных ранее морем приступевых частей долины. Площадь, занятая торфом на каждом из участков, составляет не более 4 км² при средней мощности пластов от 1,5 до 2,7 м.

Торф состоит из плохо разложившихся стеблей и корней болотных растений бурого цвета. Из-за низкого качества залежи торфа интереса не представляет.

МЕТАЛЛИЧЕСКИЕ ИСКОПАЕМЫЕ

Магнетитовые руды

Магнетитовое рудопроявление [7] известно в 1 км выше слияния р. Инры и Коппи. Участок сложен раннегеогеновыми гранит-порфирями, интенсивно брекчированными, окварцированными в полосы шириной около 200 м восточного северо-восточного простирания. Полосы нарушенной простиркой на 25—3 км. Магнетит в ассоциации с кварцем выполняет роль цементирующей массы тектонических брекций.

Содержание магнетита на участках, испытавших интенсивное дробление, не превышает 1—2%. Рудопроявление промышленного интереса не представляет.

Свинец

Коренное рудопроявление галенита [28] открыто в 1962 г. в среднем течении р. Ботчи, в 2,5 км запад-северо-западнее отметки 716. Рудопроявление приурочено к экзоконтакту диоритового массива. Вмещающие породы представлены интенсивно дробленными туфами и туфоловарами самаргинской свиты, подвергшимися процессы гипотермального изменения: хлоритизация, амфиболитизация, эпилитизация, в зоне нарушения северо-восточного простирания, проходящего по долине р. Ботчи.

Рудная минерализация представлена тонкой вкрашенностью и волосовидными прожилками галенита. Диапаз 10 кг прототочки показал содержание галенита, равное 0,05 г. В очень небольшом количестве присутствуют пирит и халькопирит.

Указанное рудопроявление имеет лишь минерогический интерес.

В междуречье Лебаханы — Сланку известен металлогеометрический ореол рассеяния свинца [2], содержание которого в пробах колеблется от 0,001—0,1% до 1%. На участке развиты андезиты самаргинской свиты, испытавшие интенсивные гидротермальные изменения: хлоритацию, эпилитизацию, притирзацию.

Из-за убогого содержания полезного компонента ореол промышленной ценности не имеет.

Полиметаллические руды

В настоящий момент на территории района известно четыре коренных полиметаллических рудопроявления: Перевальное [6], в правом борту долины р. Копти [12], в 2,8 км выше устья р. Бейнинга, в верховьях р. Мильчиши Ключ [34] и в устье ключа Суако [14]. Перевальное рудопроявление расположено на водоразделе ручьев Лебахани и Сидланку и приурочено к зоне текtonического нарушения северо-восточного простирания.

Оруденение связано с кварц-эпидотовыми линзами мощностью до 0,7 м. В виде равноверной вкрапленности в линзах присутствуют галенит, сфalerит, халькопирит, пирит, цеусит, смитсонит, малахит, лимонит, антазит, ковеллит. Максимальное содержание сульфа в бороздовых пробах достигает 6,25%, при среднем 2,74%.

Рудоминеральными телами являются минерализованные зоны дробления мощностью до 4,3 м. Всего на участке вскрыто до 60 минерализованных зон. Спектральный анализ из этих зон показал содержание Pb от 0,1% до 1%; Cu и Zn от 0,01 до 0,1%.

На участке рудопроявления развиты подгрематальные изменения эфузивных, пиритизированных, окварцованных, эпилитизированных. Спектральные данные из вмещающих пород показали содержание: Pb от 0,001—0,1 до 1%; Zn 0,01%, в двух пробах до 1%; Cu до 0,01%; Mo и Sn 0,001—0,01%. По данным химического анализа максимальное содержание в эфузивах Pb 0,24%; Zn 0,16%.

Из-за низкого содержания полезных компонентов и незначительных размеров рудопроявление не представляет промышленного интереса.

Рудопроявление в правом борту долины р. Копти в 2,8 км выше устья р. Бейнинга установлено в 1952 г. В кварцевой жиле мощностью 0,2—0,5 м, залегающей среди лейкократовых крупнозернистых гранитов, наблюдается редкая вкрапленность пирита и в меньшем количестве галенита, халькопирита, арсептиприита.

По данным спектрального анализа штуфных проб установлено содержание: Cu 0,1%; Pb 1%; Ag 0,1%; Bi 0,1%; Sn 0,01%.

Низкие содержания полезных компонентов не позволяют говорить о промышленном значении участка.

Рудопроявление в верховьях р. Мишунин Ключ занимает площадь около 1 км². На участке рудопроявления развиты ороговикованные андезиты и туфы кашлевых порфиров зонового возраста, которые прорваны гранитной интрузией. Мощность ороговикованной зоны 500—700 м. В приконтактовой зоне породы пиритизированы. Пиритизация развита главным образом по трещинам отдельности. Наиболее типичная пиритизация пророгена к внутренней части контактовой зоны, где наблюдалась большое количество квартцевых прожилков мощностью до 1 см, с которыми связаны пирит, халькопирит и галенит.

В результате минералогического анализа штуфных проб в большом количестве был обнаружен пирит, в пяти пробах — халькопирит в количестве от 30 до 800 знакоев, в двух пробах — галенит и сфалерит.

Спектральный анализ показал содержание Cu 0,01%; Pb 0,01—1%; Zn 0,01—0,1%; Ag 0,001—0,1%; (в одной пробе 1%).

Из-за убогого содержания полезных компонентов, рудопроявление интереса не представляет.

Рудопроявление в устье к. Суако [14] было открыто Я. С. Эдельштейном в 1897 г. Позднее участок изучался В. А. Бугаевым (1931 г.) и Ю. Ф. Чемековым (1950 г.). В 1952 г. рудопроявление детально разведывалось поисковой партией ДВГУ под руководством И. А. Плотникова.

Участок сложен среднезернистыми лейкократовыми гранитами раннепалеогенного возраста. Спектральные анализы 300 проб показали содержание Pb 0,001—0,01% (в шести пробах Pb 0,01—0,1%); в 55 пробах был обнаружен Mo — 0,001—0,01%. Рудное тело представляет собой кашлевую жилу длиной около 100 м. Мощность ее изменяется от 0,1 до 0,7 м. Жила состояна купроクリсталлическим молочно-белым кашлем, содержанием обогащений

измененных гранитов. Оруденение тонковираженное. Установлены галенит, сфалерит, арсептиприит, халькопирит и пирит, по которым разделяются вторичные минералы: цеусит, смитсонит, малахит, копеллит.

Спектральный анализ бороздовых проб показал содержание Pb до 1,37% при среднем 0,45%; Zn до 1,62% при среднем 0,68%; Mo до 0,56%; среднее значение 0,023%. Кварцевая жила приурочена к зоне минерализованных тектонических блоков. Спектральный анализ блекий установлен. Изменение Pb 0,1—1%; Sn 0,001—0,01%; Ag 0,01—0,1%; Mo 0,01—0,1%.

Из-за низкого содержания полезных компонентов рудопроявление практического значения не имеет.

Мышьяк

В 1952 г. в бассейне р. Дякома (в 4,5 км юго-восточнее высоты 1135, гора Катыма) было выявлено арсептиприитовое рудопроявление [23]. Рудное тело представляет кварцевую жилу. Мощность 0,8 м. Она расположена среди сероватых малкозернистых песчаников, прорванных крупнозернистыми лейкократовыми гранитами. Кварц в жиле молочно-белый, с поверхности оклеен зефериитом, с рассеянной вкрапленностью арсептиприита и сфалерита. В результате спектрального анализа штуфных проб выявлены следующие полезные компоненты: Cu 0,01%; Pb 0,01%; As 1%; Sn 0,001%; Zn 0,1%.

Низкие содержания полезных компонентов не позволяют говорить о промышленной ценности рудопроявления.

Золото

По данным Я. С. Эдельштейна, В. А. Бугаева и Ю. Ф. Чемекова, незначительная вкрапленность золота установлена в ассоциации с галенитом и пиритом в кварцевой жиле, секущей Бытомский массива близ устья р. Суако [10], правого притока р. Копти. Последующими разведочными работами присутствие золота на этом участке не подтверждено. При дальнем опросовании пойменного аллювия единичные знаки золота установлены в 10 шлифах по рр. Копти, Ботчи и их притокам. Оно встречается в мелких пластинках размером от 0,05 до 0,5 мм, реже 1 мм. Источником сноса золота в районе, по-видимому, являются контактовые зоны раннепалеогеновых гранитных интрузий. Рудопроявление практического значения не имеет.

Олово

В пределах листа М-54-XXXII можно выделить два оловяносных участка: первый в бассейне рр. Копти и Инда; второй — в бассейне р. Ботчи. В 1961—1962 гг. в нижовьях р. Инда было открыто коренное рудопроявление кассiterита [5], а также выявлен шликовой ореол [4] и непромышленная оловяносная россыпь [8].

Рудопроявление представлено редкими обломками жилного кварца, обнаруживаемыми в делювии в пределах массива гранит-порфира раннепалеогенного возраста. В обломках кварца наблюдаются сростки кассiterита в большом количестве, в них обнаружены прожилки гематита, магнетита. Проведенные спектральные анализы показали содержание Sn 0,001—0,01%. Ограниченные размеры и низкие содержания олова не позволяют говорить о промышленной ценности рудопроявления.

На этом же участке в пределах шлифового ореола было отмыто около 20 шлихов с содержанием кассiterита от 1—2 до 40 знаков. Интерес ореол не представляет.

Внутри шлифового ореола в нижовье правого безымянного притока р. Ма-

В проходных на участке шурфах наблюдается резкое увеличение касситерита с глубиной от 10—15 знаков (глубина 0,5 м) до весового содержания (глубина 2 м). В связи с этим в случае проведения в районе геологического зонирования работы может быть рекомендована попутная дозревка участка с проходкой шурфов глубиной до 5—6 м с отмыкой шлихов через 0,5 м.

Результаты металлометрического опробования на этом же участке позволяли выделить более широкий по сравнению с шлиховым ореол распределения с ассоциации с которым совместно устанавливается молибден (0,001—0,01%), а также очень разнообразный комплекс элементов: Pb, Zn, P, Be, Li, Ca, V, W, As, La, Vb. Их содержание, не исключая Rb (до 0,1%), как правило, не превышает тысячных долей процента. Из-за низких содержаний последних компонентов промышленного значения ореол не имеет.

Кроме описанных ореолов и рудопроявления на территории листа M-54-XXXII известны следующие шлиховые ореолы касситерита.

Оловянный ореол [1] в верховых безымянного притока р. Иоги (в 4 км северо-восточнее выс. 1228, гора Ини) связан с лейкократом или блотигитами гранитами раннепалеогенового возраста. В 15 шлихах выявлен касситерит в количестве от 1—2 до первых десятков знаков. В отдельных шлихах обнаружены единичные знаки вольфрамита. Низкие содержания полезных компонентов не позволяют говорить о промышленной ценности ореола.

Шлиховые ореолы касситерита известны по левому безымянному притоку р. Коопи [1], в 3 км ниже р. Итетаку и по р. Кукса [2].

Первый из них приоценен к раннепалеогеновой интрузии гранодиоритов, расположенной к северу от северной рамки листа M-54-XXXII. На участке был отмечен 21 шлик с единичными знаками касситерита. В отдельных шлихах наблюдалась зона вискутина. Практического значения ореол не имеет.

Ореол по р. Кукса связан с нетронченным месторождением олова, расположенным западнее рамки листа M-54-XXXII. На участке было отмечено 23 шлиха, показавших содержание касситерита от 1 до 69 знаков. Образование перспективных россыпей в среднем и нижнем течении р. Кукса является мало вероятным.

В 1952 г. Е. Т. Михатиной в верховых р. Моисеев Ключ в пяти шлихах был обнаружен касситерит в количестве от 1 до 10 знаков. Дополнительные работы, проведенные в 1961—1962 гг., позволили выделить по р. Моисеев Ключ шлиховый ореол [3]. При этом дополнительного было отмечено 12 шлихов с содержанием касситерита от 2 до 11 знаков.

Участок сложен раннепалеогеновыми грейзенизованными гранитами и гранит-порфирями.

Проведенное на участке металлометрическое опробование показало содержание Sn 0,001% (редко до 0,01%), последовательно ассоциирующего с молибденом — 0,001%. По данным опробования канав в верховье р. Моисеев Ключ, в гранитах были обнаружены грейзенизованные зоны, размеры которых установить не удалось. Во всех пробах, взятых из зон грейзенизации, установлены Sn, Mo (0,001% до 0,01%). Именующихся данных недостаточно для промышленной оценки участка, однако для постановки дополнительных поисковых работ он, бесспорно, представляет интерес.

Вольфрам

В 1962 г. в верховье правого притока р. Дикомы открыто коренное рудопроявление вольфрамита [4]. В глыбе жильного кварца наблюдалась углоподеленная кристаллическая (размером до 2—2,5 см) вольфрамита пастичная и таблитчатой формами, иногда замещенные лимонно-желтыми окристалами призматическими.

При дальнейшем обследовании участка в аллювии распадка были обнаружены обломки кварца с вольфрамитом. Участок сложен блотиг-ротовообмы.

корни гранитами и гранодиоритами раннепалеогенового возраста. В гранитах наблюдаются многочисленные кварцевые прожилки, как правило, сопровождающиеся грейзенизованными оторочками мощностью до 40 см. На участке отмечено семь шлихов, причем в четырех установлены единичные знаки вольфрамита (2—3 зерна).

Металлометрическим опробованием были обнаружены Pb, Bi, Mo, Ag, Li в количествах от 0,001 до 0,01%. Рудопроявление практического интереса не представляет.

В 1953 г. Е. Т. Михатиной в верховых р. Моисеев Ключ в двух шлихах был обнаружен вольфрамит в весовом количестве от 0,029 до 0,0560 г на 1 тонку.

Работами 1962 г. подтверждено весовое содержание вольфрамита в шлихах на данном участке, причем содержание его достигает 20—25 мг.

В ассоциации с вольфрамитом наблюдалась единичные знаки касситерита, галенита, ильменита, базозимута, монадита. В пределах участка развиты лейкократовые и блотигитовые граниты раннепалеогенового возраста, рутильные палеодиоритовые андезиты и кислые эфузивы. Так как вольфрамит — малоустойчивый минерал, присутствие его в шлихах в весовом количестве является благоприятным признаком для поисков коренных источников вольфрамита, локализующегося в кварцевых жилах и прожилках в гранитах. Учитывая совместное нахождение вольфрамита с галенитом, касситеритом, монадитом, участок следует считать заслуживающим внимания.

Молибден

На территории листа M-54-XXXII известно несколько собственно молибденовых рудопроявлений, а также рудопроявления, в которых молибден является сопутствующим элементом. Выше было описано полиметаллическое рудопроявление в устье р. Суяко [4], где вместе с цинком, свинцом, медью отмечены следы молибдена — 0,001—0,01%, редко до 0,1%.

Работами 1961—1962 гг. выявлен ряд участков с повышенным содержанием молибдена. В верховых р. Моисеев Ключ установлен металлометрический ореол рассеяния Mo [3]. Ореол приурочен к грейзенизованным гранитам и гранитам и грейзенам. Примерно в 150 из 200 спектральных проб, отобранных на участке, содержание Mo 0,001—0,01%. Пробо, в которых бы молибден отсутствовал, нет. Кроме Mo спектральным анализом в грейзенах установлено наличие Sn — 0,001—0,01%; Cu — 0,001—0,01%; Cr — 0,001—0,01%; Zn — 0,01%; Pb — 0,01%.

Отмечается прямая зависимость между содержаниями молибдена и олова: повышение концентрации первого элемента, как правило, сопровождается повышением содержанием олова.

В нескольких штуфных пробах гранитов отмечена тонкая вкрапленность молибденита в грейзенизованных кварцевых прожилках. Данных для заключения о промышленной ценности участка сейчас недостаточно, однако, учитывая разнообразный комплекс имеющихся здесь полезных компонентов, и в первую очередь Mo, Sn, W, а также обширность территории (около 14 км²), участок рекомендуется для постановки поисково-спекционных работ в масштабе 1 : 50 000.

Большое сходство с описанным участком имеет рудопроявление молибдена [5] в 1 км ниже устья р. Санку. Здесь молибден также связан с грейзенизованными гранитами. В грейзенах молибден образует тонкую вкрапленность.

Рудопроявление в низовье р. Санку расположено внутри спектрометрического ореола рассеяния [6]. На участке совместно с молибденом во всех пробах наблюдается присутствие олова.

Спектральные анализы проб, взятых из коренных и рыхлых отложений, показали содержание: Mo 0,001—0,1%; в среднем 0,01%; Sn 0,001%; Pb 55

0,001—0,01%; Zn 0,001—0,01%; Cu 0,001—0,01%; Cr 0,03—0,1%; Ti 0,1—1%; V 0,01%; Bi 0,001%.

Из-за низкого содержания полезных компонентов участок в низовьях р. Санку практического интереса не представляет.

Ряд мелких рудопроявлений молибдена известен в северо-западной части листа М-54-ХХII. Рудопроявление в устье р. Ильи [19] связано с ортогранитами пещанками уломинской свиты, в которых отмечается обильное маломощных (2—3 см) кварцевых прожилков с чешуйками молибденина диаметром до 2 см. Металлогеометрическое опробование показало содержание молибдена около 0,01%. Рудопроявление в устье р. Лягомы (в 0,5 км выше ее впадения в р. Колпи) [22] установлено в скальных обрывах гранитоидов Билюлинского массива. В гранитах волнистая линия андезитов находит зона дробления мощностью около 1 м, выполненная гранитной дресвой, кварцем, зонами дробления и в самой зоне встречены прожилки чешуйчатого молибдена с диаметром чешуек до 5 см. Спектральный анализ гранитов показал содержание Mo 0,01%.

Рудопроявление [13], подобное вышеизказанному, наблюдается в низовьях р. Бяголи (в 0,5 км ниже ее устья). В гранитах Билюлинского массива установлена зона дробления мощностью до 1 м с выделенными круточешуйчатого молибдена (до 3—5 см в диаметре).

В низовьях Угарного Ключа в 1962 г. открыто рудопроявление [29] молибдена, связанные с роговиками экзоконтакта эфузивных и осадочных пород с интрузией раннепалеогеновых гранитов. В роговиках наблюдаются волнистые прожилки мелкочешуйчатого молибдена и пирита.

Все описанные рудопроявления не имеют промышленного значения.

СТРОИТЕЛЬНЫЕ МАТЕРИАЛЫ

Извещенные породы

Базальты и андезиты слагают почти всю восточную часть района и заливают на поверхности или перекрываются маломощными (не более 3 м) четвертичными отложениями. Запасы их неограничены. В настоящее время базальты и андезиты не разрабатываются из-за отсутствия потребителя. Прочие породы — граниты, диориты и др. могут быть использованы как строительный и бутовый камень, но из-за трудности транспортировки не могут представлять интерес для строительных целей.

Глины

Глины, пригодные для производства кирпича, имеют ограниченное распространение. Запасы их не подсчитаны, но, по-видимому, небольшие.

В насторое время известно четыре месторождения глин. Первое месторождение [17] расположено в правом борту долины р. Колпин в 4 км выше устья р. Топты. Глины залегают среди озерного отложений в виде пластов, переставающихся с песком и имеют различную окраску — от белой до шоколадной. Общая мощность пластов глин 6 м. В виже небольших выхолов они прослежены вверх по р. Колпин на расстояние 1 км. Запасы их незначительны.

Глины имеют прекрасными пластичными свойствами и вполне могут быть использованы для производства кирпича. Однако в связи с удаленностью этого месторождения от населенных пунктов и отсутствием к нему дороги в настоящее время месторождение не разрабатывается.

Второе месторождение [19] глины расположено в левом борту р. Колпин, становища Ульма. Глины позднепалеогенового возраста, пластины, отчетливо. Мощность отдельных пластов не превышает 1,5—2 м, общая мощность около 5 м. Среди глин наблюдаются мелкие линзы песка и гравия, снижающие качество.

Третье месторождение [26] находится в 1,0 км западнее оз. Сникга-Дуа-Кисси. Глины здесь озерного происхождения, серовато-голубоватые, плотные, вязкие с мелкими линзами песка и гравия. Мощность глин 0,8—1 м, глубина залегания их от поверхности колеблется от 1 до 1,3 м. На базе этого месторождения работает кустарный кирпичный завод, изготавливающий кирпич для нужд местного населения.

Небольшое месторождение глин [20] известно в правом борту долины р. Колпин (в 6,5 км ниже устья р. Топты). По своим качествам глины очень похожи на описанные выше. Из-за ограниченности запасов и трудности транспортировки месторождение не эксплуатируется.

Пески

Пески слабодисперсионные, пригодные для строительных целей, имеются в пос. Колпин, где они сложены морской песчаной косой протяженностью до 2 км и шириной 60—100 м, а также у м. Успения, где песчаный пляж имеет длину до 7 км при ширине 10—15 м. Из-за близкого залегания грунтовых вод на этих участках для разработки удобна только верхняя часть глин.

Песка мощностью до 1 м. У м. Песчаного следует отметить пески, слагающие I морскую террасу, береговой вал и пляж на протяжении 6 км. Пески могут использоваться для строительных целей. Транспортировка их возможна только морским путем.

Галечники

Галечники широко распространены в районе, слагая наименее перекрытия и косы рр. Колпин, Ботчи и их крупных притоков, а также пляж на берегу моря. В составе галечников базальты, андезиты, гранитоиды. Запасы галечников в районе практически неограничены.

Опоки и трепела

Опоки и трепела находятся в левом борту р. Ботчи в 3 км выше ее слияния с р. Мульга. Опоки залегают среди палеогеновых отложений, включая пропластки и линзы туфопесчаников. Мощность опок 71 м. Толщина разбита на четыре пачки пропластками зеленоватых песчаников. Мощность опоковых пачек от 2,1 до 2,9 м, а пропластков песчаников — от 0,8 до 1,8 м. Опоки выходят на дневную поверхность в скальных обрывах р. Ботчи высотой до 60 м. Месторождение занимает площадь в 1,5 км². Опоки на значительной площасти месторождения выходят на дневную поверхность, прикрытые небольшим слоем наносов.

Описанное месторождение разведано канавами и опробовано в 1931 г. Н. В. Овсянниковым.

Разведочное месторождение разведано канавами и опробовано в 1931 г. по категориям А — 500 000 м³, по категории С — 22 000 000 м³. Всего 22 500 000 м³.

Технические анализы с несомненностью доказали, что ботчинские опоки могут служить великолепными активными добавками к известнякам и цементу. Несмотря на то, что ботчинские опоки облачают вещества цементными качествами, экспортирования им — дело будущего, так как месторождение значительно удалено от населенных пунктов и от побережья.

По степени перспективности территории листов М-54-ХХII-ХХIII можно разбить на две части. Западная часть, охватывающая среднее течение рр. Колпин и Ботчи, сложенная мезозойскими эфузивными и осадочными породами с широким разногористым раннепалеогеновых интрузий, наиболее перспективна для обнаружения

ПОДЗЕМНЫЕ ВОДЫ¹

Таблица 3

Химические анализы опок (в %) (по Н. В. Овсянникову)

Компоненты	Проба из I пачки	Проба из II пачки	Проба из III пачки	Проба из IV пачки	Среднее из четырех анализов	
					Активный кремнезем	Силикаты
SiO ₂	71,20	90,45	86,54	91,39	84,89	Al ₂ O ₃
56,50	—	8,55	18,00	27,70	Fe ₂ O ₃	
5,65	1,28	3,47	0,94	2,80	CaO	
12,67	0,50	0,03	2,34	3,88	MgO	
1,35	0,30	0,50	0,94	0,77	Na ₂ O	
0,40	—	Следы	0,42	0,21	K ₂ O	
—	0,23	0,38	—	0,15	P ₂ O ₅	
0,46	1,56	1,29	0,63	0,98	SO ₃	
—	—	—	—	—	Влага	
13,01	0,42	0,51	0,43	0,40	Г.п.п.	
7,91	0,37	0,41	3,11	2,95	FeO	
4,89	4,89	6,15	5,61	7,66		
0,38	—	—	0,22	0,45		

ния рудных полезных ископаемых для участка: верховые р. Монсевев Ключ и нижнее течение р. Инда.

Первый участок характеризуется широким развитием зон грейзенизации, с которыми связаны ореолы рассеяния Mo и Sn. Очень большой интерес представляют также отмыты на участке шлихи с высокой содержанием (25 г/м³) вольфрамита. На участке рекомендуются поисково-съемочные работы масштаба 1 : 50 000.

В нижнем течении р. Инды интерес представляет выявленная непротяженная россыль касситерита. Учитывая благоприятные условия для образования промышленных россыней: геоморфологические условия (стаканение форм рельефа, сравнительно небольшой уклон долины), наличие конценитного рудопроявления касситерита востока первичной касситеритово-каирцевой формации, а также данные спектрометаллографического и шлихового опробования, на участке непротяженной оловянно-свинцовой россыпи может быть рекомендованна полутора километровая длина залежи с проходкой 5–6 м шурfov. Из других полезных ископаемых в западной части известны рудопроявления стинка, мышьяка, золота, вольфрама. Однако промышленного значения эти рудопроявления не имеют и в настоящее время не рекомендуются для более детального изучения.

Восточная часть района мало перспективна в отношении обнаружения месторождений рудных полезных ископаемых, на что указывает общая неблагоприятная геологическая обстановка, характеризующаяся глубоким затяжением фундамента, перекрытого мощной толщей базальтов, а также полное отсутствие в этой части рудопроявлений. Однако в восточной части возможно широкое использование строительных материалов: песков, камня, гравийника, глин.

Широкое распространение в горной части территории эфузивных, интрузивных и сильно дистрофированных осадочных пород, разрушенных в зоне выветривания, предопределяет преимущественное развитие в районе грунтовых жилых вод, приуроченных к трещиноватым зонам, связанных с разрывной тектоникой.

Менее распространены пластово-трещинные воды, приуроченные к молодым плюоцен-четвертичным базальтам совавансской свиты.

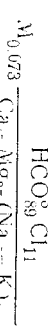
Аллювиальные воды распространены в горных сравнительно узких речных долинах.

Питание пресноводно-трещинных вод, связанных с трещиноватой зоной выветривания, происходит главным образом за счет атмосферных осадков с апогеем по октябрь.

В горах, даже на крутых, но заросших или зарегланых склонах сток задерживается на длительность, и большая часть выпавших осадков просачивается в грунт. Рыхлые образования склонов и состоящие преимущественно из суглинка или супеси с примесью значительного количества дресвы и щебня (коэффициент фильтрации чаще 1–5 м/сек), также способствует инфильтрации атмосферных осадков. Однако несмотря на благоприятные условия инфильтрации атмосферных осадков грунтовые воды в трещиноватой зоне выпадают в зоне выветривания. Мощность которой обычно не превышает 50–60 м, не образуют крупных запасов, так как уже вблизи обработанных долин, что фиксируется по многочисленным выходам родников, дебиты которых чаще равны 0,01–0,1 л/сек.

Глубина залегания трещинных вод зависит главным образом от рельефа и степени трещинованности пород. В речных долинах зеркало грунтовых вод обычно находится вблизи дневной поверхности. На склонах глубина залегания ее достигает нескольких десятков метров. Водораздельные гребни и горные вершины практически безводы.

Горизонтальные трещинные грунтовые воды зоны выветривания эфузивных, проницавших и осадочных пород, входят в зону наиболее активного стока с находящимися, обычно безнапорными, водами, поток которых направлен к местным эрозионным врезам рек. Площадь поверхности и подземного стока в пределах этой зоны, как правило, совпадает. Благодаря близости участков питания к участкам разработки и наличию больших уклонов водобоям с поверхностью происходит очень быстро (от десятков часов до нескольких месяцев). Быстрым водобоям обилья достигается и очень сильная минерализация грунтовых вод зоны выветривания — воды ультрапресные, преимущественно гидрокарбонатные, кальциево-магниевые с типичной формулой



Естественные ресурсы подземных вод в горном районе резко меняются. В периоды интенсивного питания атмосферными осадками они очень болезненно, к концу зимы становятся ничтожными.

Более постоянны эксплуатационные ресурсы трещинных грунтовых вод зоны выветривания наблюдается по долинам ручьев и рек, где и рекомендуется закладывать для их эксплуатации буровые скважины глубиной 50–60 м. Геолого ставки, как правило, будут невелики, порядка 0,1–1, реже до 3 л/сек. Наиболее водобойными (с дебитами 0,5–3 л/сек) будут скважины, вскрывшие трещинно-грунтовые воды зоны выветривания гранитов и базальтов кизильской свиты.

В пределах территории широко распространены и трещинно-жильные воды зон разрывных тектонических нарушений.

¹ Раздел «Подземные воды» написан А. Б. Разживиным.

тических трещинно-жильных вод — воды более глубокой циркуляции по сравнению с трещинно-грунтовыми водами зоны выветривания и имеют несколько повышенную по сравнению с последними минерализацию, хотя, как правило, она не превышает 500 мг/л.

На более глубокую широкую трещинно-жильную воду указывает выход термального источника с температурой воды около 30° С. Источник расположжен на правом берегу р. Ботчи, выше впадения к. Угарный и связан со скважинами ловильной глубокого заграждения.

Зоны текtonической трещиноватости обладают хорошими фильтрационными свойствами. Дебиты скважин, вскрывших трещинно-жильные воды, как правило, выше дебитов скважин, вскрывших трещинно-грунтовые воды и чаще будут равны в пределах речных долин 3—15 л/сек. В горной части территории трещинно-жильные воды обычно обладают небольшими эксплуатационными запасами, зависящими главным образом от размеров области питания той или иной текtonической зоны. Основные запасы приурочены к долинам горных рек и ручьев. Водораздельные участки обычно служат областями питания.

Трещинно-грунтовые воды зоны выветривания обычно также участвуют в питании трещинно-жильных вод. При значительных размерах области питания трещинно-жильные воды в пределах долин горных рек могут обеспечить потребности в воде порядка 50—20 л/сек. В случае малых размеров области питания, даже при очень высокой водоотдаче горной в пределах зоны, запасы трещинно-жильных вод ограничены, быстро истощаются, вследствие чего питание этих участков могут быть использованы только для мелкого водоснабжения с потребностью менее 20 л/сек.

Воды базальтов плиоцен-четвертичного возраста хотя и имеют на территории меньшее распространение, чем трещинно-грунтовые воды зоны выветривания, но значение их как источников водоснабжения очень большое, особенно в северной части территории. Выполненная в бассейнах рек Бол. Хадя и Топты древние понижения в рельефе (древние долины рек, депрессии), предопределенные системой грабенов, соглашаясь сантами состоят из ряда покровов базальтов мощностью 3—10 м. Между пачками покровов мощностью 15—40 м наблюдаются коры выветривания. Несмотря на то, что базальты трещиноваты на всю мощность, наиболее интенсивная трещиноватость наблюдается до глубины 100 м от поверхности. В более глубоко залегающих покровах базальтов первичные трещинки обычно выполнены частично или полностью калинитовыми глинами.

Воды базальтов — сложный водоносный комплекс, состоящий из нескольких связанных или изолированных друг от друга водоносных горизонтов. Погодной водоносных горизонтов служат слабо трещиноватые разности базальтов, базальты с закрытыми трещинами, а также коры выветривания, представленные тяжелыми суглинками и глинами. Верхний водоносный горизонт обычно имеет свободную поверхность зеркала, т. е. относится к грунтовым. Нижележащие водоносные горизонты чаще напорные.

Глубина залегания зеркала воды в базальтах зависит от современного рельефа (положения участка базальтового плато относительно уровня моря и степени его расчленения) и глубины залегания водупоров в толще базальтов. Близи побережья Татарского пролива в долинах рр. Бол. и Мал. Ботчи и к. Бяча у пос. Ильинецкий глубина залегания зеркала воды в базальтах незначительна (менее 10 м). На водораздельных участках плато в междуречье Бол. Хадя — Коппи и в бассейне р. Топты глубина залегания воды более, хотя и не исключена возможность встречи там верхнего водоносного горизонта на глубине 10—20 м.

Платообразный рельеф, задернованность и заросленность района, значительные коэффициенты фильтрации покровных элювиальных образований создают благоприятные условия для питания водоносного комплекса. Питание водоносного комплекса происходит почти в 100% его распространения. Источником питания подземных вод являются преимущественно атмосферные осадки, в меньшей степени — воды атмосферных отложений малых

рек (Сия, Дако и др.). На отдельных участках в питании водоносного комплекса принимают участие и поверхностные воды (воды рек, болот). Разгрузка водоносного комплекса происходит в реки Топты, Коппи, Бол. Хадя, а также Татарский пролив.

Верхний водонесенный горизонт разрушается помимо вышеуказанных рек и более мелкие. В бассейне р. Бол. Хадя подземные воды глубоких водонесенных горизонтов, по всей вероятности, движутся по дренирующей долине пра-Коппи в северо-северо-восточном направлении в сторону бухты Советская Гавань, где разружаются в Татарский пролив.

Водобойливость комплекса базальтов зависит от их водопроницаемости и мощности водонесенных горизонтов. В трещиноватых разностях базальтов с коэффициентами фильтрации 5—40 м/сутки дебиты скважин в благоприятных условиях накопления подземных вод могут достигать 10—15 л/сек и даже 75 л/сек (Разживин, 1958). В слабо трещиноватых разностях базальтов с коэффициентами фильтрации менее 0,5 м/сут дебиты скважин обычно не будут превышать 0,5—3 л/сек.

Режим вод сравнительно постоянный, особенно для водонесенных горизонтов, залегающих ниже местных базисов эрозии. По химическому составу воды базальтов гидрокарбонатные шелочноземельные. Минерализации вод слабая (50—250 мг/л). Более глубокие водонесенные горизонты с водами более замедленной циркуляции имеют минерализацию большую по сравнению с верхними водонесенными горизонтами. На побережье Татарского пролива, волнист пос. Ильинецкий, в береговой полосе шириной 200—800 м можно ожидать при интенсивной эксплуатации водонесенных горизонтов в базальтах подсоса морских соленных вод. Водонесенный комплекс в базальтах плиоцен-четвертичного возраста имеет большое значение как источник водоснабжения. Запасы подземных вод можно ориентировочно оценить в 20—25 тыс. м³/сек. Эти цифры говорят о возможности базирования на подземных водах базальтов плиоцен-четвертичного возраста купленного водоснабжения.

Воды аллювиальных отложений могут иметь большое значение как источник водоснабжения в наиболее крученых речных долинах. (Коппи, Ботчи, Мулита, Иолли, Топты, Коппи, Май, Бол. Хадя, Билоти, Дякома). Водовмещающие породы представлены преимущественно галечниками с хородими фильтрационными свойствами. Для аллювиальных отложений средний коэффициент фильтрации порядка 100 м/секки. Глубина залегания зеркала грунтовых вод невелика и обычно не превышает 3 м. Мощность водонесенного горизонта невелика, порядка 3—10 м.

Водонесенный горизонт тесно связан с водами рек. Питается за счет атмосферных осадков, трещинно-грунтовых, трещинно-жильных и трещиннопластовых вод, разружающихся в долины, и водами рек в периоды польма уровня. Разгружается в реки. Обладая хорошими фильтрационными свойствами, водонесенный горизонт, несмотря на незначительную площадь распространения и сравнительно небольшую мощность содержит купальные запасы воды. Ожидаемые дебиты совершенных скважин порядка 2—20 л/сек. Режим переменный. Дебиты скважин в зимнее время обычно падают в два и даже более раза по сравнению с летним временем. Воды гидрокарбонатные шелочноземельные с минерализацией чаще до 100 мг/л. При организации водоснабжения следует учитывать возможность загрязнения грунтовых вод с поверхности.

ЛИТЕРАТУРА

Опубликованная

Арсеньев В. К. «В горах Сихотэ-Алиня». «Сквозь тайгу». Гослитиздат, 1958.

Быковская Е. В. «Стратиграфия и петрология верхнемезозойских и кайнозойских вулканогенных образований Ольго-Петюхинского района. ВСЕГИ, 1960.

Вдовин Ю. М. О кайнозойском вулканизме восточного склона Северного Сихотэ-Алиня. Изв. выс. уч. завед. «Геология и разведка», 1958, № 4.

Кропоткин П. Н. Краткий очерк тектоники и палеогеографии южной части Советского Дальнего Востока. Вопросы геологии Азии, т. I. Издво АН СССР, 1954.

Малеев Е. Ф. Ботчинское месторождение трепетов и опок. Вестник дальневосточного филиала АН СССР, № 22, 1937.

Овсянников Н. В. Каменные строительные материалы, т. I. 1938. Паголь Н. И., Сazonova M. D. Геологическая карта и карта полезных ископаемых м-ба 1 : 200 000. Серия Сихотэ-Алинская. Лист М-54-ХХХI и объяснительная записка к нему. Госгеотехиздат, 1958.

Плахотник В. Г. Строение и возраст совгансской свиты к северу от широты бухты Кхуцини. Изв. АН СССР, сер. геол., № 2, 1959.

Плахотник В. Г. Стратиграфия верхнемеловых и кайнозойских вулканических образований северо-восточного Сихотэ-Алиня. «Советская геология», № 3, 1962.

Разживин А. Б. (при участии Дулькис Э. К.). Геологическая карта и карта полезных ископаемых м-ба 1 : 200 000. Серия Сихотэ-Алинская. Лист М-54-ХХХVII и объяснительная записка к нему. Госгеотехиздат, 1959.

Решение международного совещания по разработке унифицированных стратиграфических схем для Дальнего Востока. Госгеотехиздат, 1958.

Салуц С. А. Геология формации складчатых областей. Изв. АН СССР, сер. геол., № 7, 1957.

Салун С. А., Плахотник В. Г. О границе меловой и палеогеновой систем в Сихотэ-Алине. Международный геологический конгресс, XXI сессия (1960). Проблема 5. Изд-во АН СССР, 1960.

Фаворская М. А. Верхнемеловой и кайнозойскиймагматизм Восточного склона Сихотэ-Алия. Тр. ИГЕМ, вып. 7, 1956. Фаворская М. А., Рубль М. Г., Кигай К. А. Магматизм Сихотэ-Алия и Приханкайского района и его металлогенические особенности. Тр. ИГЕМ, вып. 45, 1961.

Эдельштейн Я. С. Северный и Средний Сихотэ-Алинь. Изд. ПРГО, т. 41, вып. 2, 1905.

Фондовая

Булатов В. А. Геологические исследования в бассейне р. Колпи. Предварительный отчет за 1931 г. Фонды ДВГУ.

Вейман И. И. Курляшов В. Г. Отчет о работах Дальневосточной аэромагнитной партии 8155 в Хабаровском крае и на о. Сахалин. Контора Востокнефтегеофизика, Иркутск, 1956.

Головева А. А., Кузнецов А. К. Геологическое строение Бугагинского междуречья. Фонды ДВГУ, 1954.

Изюх Э. П., Кунев И. А., Русс В. В., Наговская Г. И., Мещеряков В. В., Савченко А. И. Металлогения северного Сихотэ-Алия и прилегающей территории левобережья р. Амур. ВСЕГЕИ, 1961.

Кириллов Л. Б., Далько Е. К. Геологическое строение бассейнов рек Богчи и Нейма, 1948.

Круглов Н. К. Отчет о результатах поисково-разведочных работ в бассейне р. Колпи за 1953—1955 гг. (Котлинская партия № 531), 1956.

Наседкин В. В., Гриневич Б. В., Наседкина В. Н. Отчет о геолого-поисковых работах на пиво-кварц-бассейнах среднего течения р. Анто и Котти.

Плахотник В. Г. Дулькин Э. К. Стратиграфия кайнозойских вулканогенных образований восточного склона Сихотэ-Алиня к северу от широты Кхуцини. 4 ГУ, 1957.

Плахотник В. Г., Тишина А. С. Геологическая карта и карта полезных ископаемых м-ба 1 : 200 000. Серия Сихотэ-Алинская. Лист М-54-ХХХVII и объяснительная записка к нему. 4 ГУ, 1960.

Плахотник В. Г., Тишина А. С., Ахметьев М. А. Геологическая карта и карта полезных ископаемых м-ба 1 : 200 000. Серия Сихотэ-Алинская. Лист М-54-ХХХVII и объяснительная записка к нему. 4 ГУ, 1960.

Плотников И. А. Отчет о попутных поисках, проведенных партией № 400 за 1952 г. ДВГУ, 1953.

Разживин А. Б., Михалина Е. Т. и др. Геология, гидрогеология и полезные ископаемые бассейнов среднего и нижнего течения р. Колпи и Ботчи. 4 ГУ, 1954.

Ривош Л. А., Добин М. А., Гривенский Г. З. Отчет Дальневосточной аэромагнитной партии за 1957 г. Зап. Геофиз. Треста, 1958.

Чемеков Ю. Ф. Отчет о геолого-съемочных работах в бассейне р. Колпи. ДВГУ, 1950.

Шпилькер А. Г. Отчет о результатах поисково-разведочных работ в бассейне р. Колпи. ДВГУ, 1953.

Шуршилина В. А., Шевченко В. К. Геологическая карта и карта полезных ископаемых м-ба 1 : 200 000. Серия Сихотэ-Алинская. Лист М-54-ХХХVII и объяснительная записка к нему. 4 ГУ, 1962.

**СПИСОК МАТЕРИАЛОВ, ИСПОЛЬЗОВАННЫХ ДЛЯ СОСТАВЛЕНИЯ
КАРТЫ ПОЛЕЗНЫХ ИСКОПАЕМЫХ**

ПРИЛОЖЕНИЕ 1

**СПИСОК ПРОМЫШЛЕННЫХ МЕСТОРОЖДЕНИЙ ПОЛЕЗНЫХ
ИСКОПАЕМЫХ, ПОКАЗАННЫХ НА ЛИСТЕ М-54-ХХII КАРТЫ
ПОЛЕЗНЫХ ИСКОПАЕМЫХ М-БА 1 : 200 000**

ПРИЛОЖЕНИЕ 2

№ п/п	Фамилия и инициалы автора	Название работы	Год состав- ления или издания	Описания и трепела				
				№ по карте	Индекс клетки на карте	Наименование месторождения и вид полезного ископаемого	Состояние эксплуатации	Тип месторожде- ния (К—коренное, р—россыпное)
1	Ахметьев М. А., Ботылева Л. П., Столяров И. С.	Информационный от- чет о результатах редак- ционно-увязочных работ в междуречье Копыл и Ботчи	1963	Фонды 2ГГУ, 4021с				
2	Булатов В. А.	Геологические исследо- вания в бассейне р. Кои- ги	1932	Фонды ДВГУ, 4028	32	IV-2	Ботчинское	Не рекрустается
3	Головнева А. А., Кузнецов А. И.	Геологическое строение Буга-Коплинского меж- дуручья	1954	Фонды ДВГУ, 06117				
4	Криницкий Л. Б., Дашко Е. К.	Геологическое строе- ние бассейнов рек Бог- чи и Нельма	1948	Фонды ДВГУ, 02160				
5	Круглов Н. К.	Отчет о результатах поисково-разведочных работ в бассейне реки Копы за 1953—1955 гг. (Коплинская партия № 531)	1956	Фонды ДВГУ, 05012				
6	Матеев Е. Ф.	Ботчинское месторож- дение трепелов и опок	1937	Бестн. Л. В. Фил. АК. Наук СССР, № 22 Москва				K 6, 7
7	Овсянников Н. В.	Каменные строитель- ные материалы, т. 1	1938					
8	Плотников И. А.	Отчет о поисковых по- исках, проведенных пар- тией № 400 за 1952 г.	1953	Фонды ДВГУ, 6090				
9	Разживин А. Е., Михалина Е. Т.	Геология, гидрогеоло- гия и полезные ископае- мые бассейнов среднего и нижнего течения рр. Копы и Ботчи	1954	Фонды 4 ГУ, № 257сс				
10	Чемеков Ю. Ф.	Отчет о геолого-съе- мочных работах в бас- сейне р. Копы	1950	Фонды ДВГУ, 02515				
11	Эдельштейн Я. С.	Северный и средний Сийотэ-Алгин	1905	Изл. ПГО, т. 41, вып. 2, Санкт-Петербург				

ПРИЛОЖЕНИЕ 3

СПИСОК НЕПРОМЫШЛЕННЫХ МЕСТОРОЖДЕНИЙ ПОЛЕЗНЫХ ИСКОПАЕМЫХ, ПОКАЗАННЫХ НА ЛИСТЕ М-54-XXXII-XXXIII КАРТЫ ПОЛЕЗНЫХ ИСКОПАЕМЫХ МАСШТАБА 1 : 200 000

СПИСОК ПРОЯВЛЕНИЙ ПОЛЕЗНЫХ ИСКОПАЕМЫХ, ПОКАЗАННЫХ НА ЛИСТЕ М-54-XXXII КАРТЫ ПОЛЕЗНЫХ ИСКОПАЕМЫХ М-БА 1 : 200 000

№ по карте	Индекс клетки на карте	Наименование месторождения и вид полезного ископаемого	Состояние эксплуатации	Тип место- рождения (К—корен- ное, Р—рас- сыпаное)	
				№ исполь- зованного материала по списку	№ исполь- зованного материала по списку
Торф					
33	IV-2	Ботчинское	Не эксплуати- руется	K	9
21	I-5	Нижнеколпинское	То же	K	9
25	I-5	Среднеколпинское	" "	K	9
Олово					
8	I-1	Низовья правого ниж- него притока р. Инды	" "	R	1
Глины					
19	I-4	В левом борту р. Кол- пи близ становища Уль- ма	" "	K	9
26	II-5	В 1 км западнее оз. Сикта-Дуя-Кисса	" "	K	9
20	I-4	В 6,5 км ниже устья р. Топты	" "	K	9
17	I-3	В 4 км западнее устья р. Топты	" "	K	9
Металлические ископаемые					
7	I-1	В 1 км выше слияния рр. Инды и Колпи	Магнетитовые руды	Bурый уголь	Горючий бурый уголь
28	IV-1	Правобережье р. Ботчи	С в и н е ц	Правобережье р. Ботчи	Горючий бурый уголь
2	I-1	Междуречье р. Тебаха- ши — Сланьку	Лебаха- шан	Кварцевые прокладки с магнетитом (до 2%)	Кварцевые прокладки с магнетитом (до 1%)
Полиметаллические руды					
6	I-1	Перевальная	Минерализованные зо- ны вулканических брек- чий с галенитом, сфале- ритом и др.	Бурый уголь	Горючий бурый уголь
12	I-2	Правобережье р. Кол- пи, в 28 км выше устья р. Бэйнга	Содержание Pb — 0,24%; Zn — 0,16%	Кварцевая жила мощ- ностью 0,2—0,5 км с пред- кой вкрапленностью пи- рита, халькопирита, га- ленита, асбестопирита	Кварцевые прожилки с халькопиритом и галенитом
36	IV-3	Верховье р. Мишунин Ключ	5, 8	5, 8	9

Продолжение прил. 4

№ по карте	Индекс клярки на карте	Название (местонахождение) проявления и вид полезного ископаемого	Характеристика проявления	№ используемого материала по списку	
				№ по карте	Индекс клярки на карте
14	I-2	Устье р. Суако	Кварцевая жила длиной около 100 м мощностью от 0,1 до 0,7 м с тонкой вкрапленностью галенита, сфalerита, арсенопирита, халькопирита	2, 5, 8, 10 11	

№ по карте	Индекс клярки на карте	Название (местонахождение) проявления и вид полезного ископаемого	Характеристика проявления	№ используемого материала по списку	
				№ по карте	Индекс клярки на карте
1	I-1	Нижнее течение р. Инда	Металлоизометрический ореол рассеянный Содержание Sn и Mo — 0,01%	1	

№ по карте	Индекс клярки на карте	Название (местонахождение) проявления и вид полезного ископаемого	Характеристика проявления	№ используемого материала по списку	
				№ по карте	Индекс клярки на карте
1	I-1	Безымянный приток р. Иделы	Шлиховой ореол. В 15 шлихах кассiterит находился в количестве от 1—2 знаков до первых лесяточных знаков	1	

№ по карте	Индекс клярки на карте	Название (местонахождение) проявления и вид полезного ископаемого	Характеристика проявления	№ используемого материала по списку	
				№ по карте	Индекс клярки на карте
11	I-2	Безымянnyй приток р. Коппаки, 3 км ниже р. Итепаку	Шлиховой ореол. В 21 шлихах обнаружены единичные знаки кассiterита, в редких случаях — высмутания	3,9	

№ по карте	Индекс клярки на карте	Название (местонахождение) проявления и вид полезного ископаемого	Характеристика проявления	№ используемого материала по списку	
				№ по карте	Индекс клярки на карте
27	III, IV-V-I	Р. Кукша	Шлиховой ореол. В 23 шлихах кассiterит находился в количестве от 1 до 69 знаков	9	

№ по карте	Индекс клярки на карте	Название (местонахождение) проявления и вид полезного ископаемого	Характеристика проявления	№ используемого материала по списку	
				№ по карте	Индекс клярки на карте
31	IV-V-I	Верховье	Шлиховой ореол. В 17 шлихах кассiterит находился в количестве от 1 до 11 знаков	9	

№ по карте	Индекс клярки на карте	Название (местонахождение) проявления и вид полезного ископаемого	Характеристика проявления	№ используемого материала по списку	
				№ по карте	Индекс клярки на карте
24	II-2	Верховье правого притока р. Дьякома	В глыбах жильного кварца узлобленные кольцами (размером до 2,5 см) волframита. Рудная жила сопровождается оторочкой слюдяного грейзена с выделениями мелкочешуйчатого молибдита	1	

№ по карте	Индекс клярки на карте	Название (местонахождение) проявления и вид полезного ископаемого	Характеристика проявления	№ используемого материала по списку	
				№ по карте	Индекс клярки на карте
16	I-3	В I км ниже устья р. Санкы	В грейзенизованных гранитах, тонкая вкрапленность молибдита	1	

№ по карте	Индекс клярки на карте	Название (местонахождение) проявления и вид полезного ископаемого	Характеристика проявления	№ используемого материала по списку	
				№ по карте	Индекс клярки на карте
9	I-1	Устье р. Инда	В песчаниках кварцевые прожилки мощностью 2,5—3 см с чешуйками молибдита диаметром до 2 см	1	

№ по карте	Индекс клярки на карте	Название (местонахождение) проявления и вид полезного ископаемого	Характеристика проявления	№ используемого материала по списку	
				№ по карте	Индекс клярки на карте
4	I-1	Нижнее течение р. Инда	Штиховой ореол. В 20 шлихах касситерит находится в количестве от 1—2 до 17 знаков	1	

Благородные металлы

№ по карте	Индекс клярки на карте	Название (местонахождение) проявления и вид полезного ископаемого	Характеристика проявления	№ используемого материала по списку	
				№ по карте	Индекс клярки на карте
10	I-1	Правобережье р. Копыт в 0,5 км выше устья р. Суако	В кварцевой жиле с галенитом и пиритом установлены незапечатываемые вкрапленности золота	2, 10, 11	

№ по карте	Индекс клярки на карте	Название (местонахождение) проявления и вид полезного ископаемого	Характеристика проявления	№ используемого материала по списку	
				№ по карте	Индекс клярки на карте

Редкие металлы

№ по карте	Индекс клярки на карте	Название (местонахождение) проявления и вид полезного ископаемого	Характеристика проявления	№ используемого материала по списку	
				№ по карте	Индекс клярки на карте
5	I-1	Нижнее течение р. Инда	Обломки эжильного кварца с касситеритом размером до 2—3 см. Содержание касситерита до 220 знаков	1	

Продолжение прил. № 4

№ по карте	Индекс клетки на карте	Название (местонахождение) проявления и вид полезного ископаемого	Характеристика проявления	<i>Продолжение прил. № 4</i>	
				№ используемого материала по списку	
22	II-1	Устье р. Дякомы	В зоне дробления молибдена 1 м прожилки крупношершавчатого молибдена (диаметр чешуек до 5 см)	1	
13	I-2	В 0,5 км ниже устья р. Бияполи	В зоне дробления молибдена до 1 м выделены крупношершавчатые прожилки молибдена (до 3—5 см в диаметре)	1	
29	IV-1	Низовье р. Угарный Ключ	В роговиках по трещинам волносильные прожилки мелкоточеччатого молибдена	1	
30	IV-1	Верховье р. Монсеев Ключ	Металлографический профиль рассеяния, содержания Mo 0,01%	36	
15	I-3	В 1 км ниже устья р. Санку	Металлографический профиль рассеяния, содержание Mo до 0,1%	47	

СОДЕРЖАНИЕ

Введение	3
Стратиграфия	5
Интрузивные образования	27
Тектоника	36
Геоморфология	47
Полезные ископаемые	50
Подземные воды	59
Литература	61
Приложения	64

Стр.

Редактор издательства *И. Е. Дмитриева*

Технический редактор *В. В. Романова*

Корректор *Т. М. Кушнер*

Подписано к печати 9/IV 1968 г.

Печ. л. 4,5

Угл.-13 л. л. 7,5
Заказ № 04004

Формат 60×90¹/16.
Тираж 100 экз.

Издательство «Недра»
Ленинградская картфабрика ВАГТ